госстрои ссер

НАУЧНО-ИССЛЕДОВАТЕЛЬСКИЙ ИНСТИТУТ БЕТОНА И ЖЕЛЕЗОБЕТОНА (НИИЖБ)

ЦЕНТРАЛЬНЫЙ НАУЧНО-ИССЛЕДОВАТЕЛЬСКИЙ ИНСТИТУТ СТРОИТЕЛЬНЫХ КОНСТРУКЦИЙ (ЦНИИСК)

Кандидаты технических наук М. Я. КРИВИЦКИЙ, Н. И. ЛЕВИН, В. В. МАКАРИЧЕВ

ЯЧЕИСТЫЕ БЕТОНЫ

(технология, свойства и конструкции)



В книге описан отечественный и зарубежный опыт применения в строительстве авток. ланых ячеистых бетонов, производство которых быстро увеличивается за последние 10—20 лет во миогих странах. Изложены технологические основы и некоторые практические данные производства изделий и ячеистых бетонов. Приведены важнейшие физико-мечанические свойства ячеистых бетонов, необходимые для проектирования конструкций из них. Описываются конструкции, примененые в отечественной практике и за рубежом, дается сравнительный анализ и изложены перспективы их применения.

Книга предпазначена для инженерно-технических работников предприятий по производству изделий и конструкций из ячеистых бетэнов, строительных проектных и научно-исследовательских организаций. Табл. 34, рис. 64, библ. 93 назв.

3-2-8

ниижь, цнииск

Кривицкий Михаил Яковлевич, Левин Наум Исааколич, Макаричев Виктор Валерианович

Ячеистые бетоны (технология, свойства и конструкции)

Стройиздит Москва, К-31, Кузнецкий мост, д. 9

Редактор издательства Р. Л. Серкинская Внешнее оформление художника В. А. Семина Технический редактор В. М. Родионова Корректор Г. Г. Морозовская

Слано в набор 3/11-1972 г. Подписано к печати 28/1V-1972 г. Т-08526 Формат $84\times1081/_{22}$ д. л. — 2,125 бум. л. 7,14 усл. печ. л. (уч.-изд. 7,59 л.) Тираж 6500 экз. Изд № А. V1—1439 Зак. № 150 Цена 38 коп.

Владимирская типография Главполиграфпрома Комитета по печати при Совете Министров СССР Гор. Владимир, ул. Победы, д. 18-б. В Директивах XXIV съезда КПСС по плану развития народного хозяйства СССР на 1971—1975 гг. предусматривается дальнейший значительный рост капитального строительства жилых и производственных зданий в городе и ча селе. Это ставит перед строителями задачу использования и внедрения в строительство новых эффективных материалов и коиструкций. При этом требуется существенное снижение веса конструкций, трудоемкости их изготовления и монтажа и в конечном счете снижение стоимости строительства. Особенно важно выполнение этих требований при применении бетонных и железсостонных конструкций, которые являются основой современного массо-

вого строительства. Одним из эффективных видов бетона, применение которого отвечает перечисленным выще требованиям снижения веса и стоимости
конструкций, является автоклавиый яченстый бетон. Этот вид бетона имеет малый объемный вес и относительно высокую прочность,
что позволяет применять его в легких эффективных ограждающих
конструкциях. Для изготовления яченстых бетонов имеются разнообразные сырьевые ресурсы. Поэтому за последиие 10—20 лет производство и применение яченстых бетонов быстро возрастало во
многих странах (особенно в европейских). В СССР производится
около 4 млн. м³ яченстого бетона в год, что превышает производство
в любой другой стране. Планируется дальнейшее увеличение его
производства.

Настоящая книга написана с целью ознакомления широких кругов строителей с имеющимся опытом производства и применения ячеистых бетонов в отечественной и зарубежной практике, а также с результатами экспериментальных и теоретических исследований н разработок, выполненных в НИИЖБ, ЦНИИСК им. В. А. Кучеренко и в ряде других институтов.

Глава I написана канд. техн. наук М. Я. Кривицким, глава II— канд. техн. иаук Н. И. Левиным, глава III— канд. техн. наук В. В. Макаричевым.

Авторы выражают благодарность рецензентам книги кандидатам технических наук Г. Я. Амханицкому и И. Л. Жодзищскому за полезные советы, которые помогли им в работе над книгой.

Яченстый бетон представляет ссбой искусственный камень с равномерно распределенными порами в виде сферических ячеек, диаметр которых обычно составляет 1—3 мм. Этот вид бетона изготовляется из вяжущего, тонкодисперсного кремнеземистого компонента, порообразователя и воды.

Тепловлажностная обработка яченстых бетонов осуществляется обычно в автоклавах в воздушно-наровой среде с высокой влажностью при давлении нара в пределах 8—12 ат (изб.). (Безавтоклавные ячеистые бетоны в данной книге не рассматриваются.)

Пористая структура яченстых бетонов образуется путем введения в суспензию затворенных материалов газообразующих добавок (чаще всего алюминиевой пудры) или пены, приготовленной с помощью различных пенообразователей

В качестве вяжущего для производства яченстых бетонов применяют цементы, известь и смесь извести с цементом (смещанное вяжущее), в качестве кремнеземистых компонентов — нески, золы (угольные и сланцевые). Наличие этих дешевых местных материалов в больших количествах в различных районах страны обеспечивает возможность организации широкого (почти повсеместного) производства ячеистых бетонов.

Бетоны, в которых используются газообразователь, пода, цемент и несок, цемент и зола, шлак и песок, называют (соответственно): газобетон, газозолобетон и газошлакобетон. Аналогичные бетоны, в которых используется известь (с добавкой цемента или без нее), песок, зола и шлак, называют соответственно: газосиликат, газозолосиликат и газошлакосиликат. Имеется еще и газошлакозолобетон, состоящий из шлака, золы и песка. Особое название — газокукермит — присвоено разновидности газозолобетона, в которой роль вяжущих выполняет сланцевая зола. Этот бетон с у:пехом применяется в Эстонской ССР.

Разновидности ячеистых бетонов, в которых пористая структура создается с помощью пенообразователей, носят пазвания: пенобетон, пенозолобетон, пеносиликат, пеношлакобетон и т. д.

Если примерно 15 лет назад подавляющее большинство отечественных цехов и заводов ячеистого бетона выпускало различные пенобетоны, то теперь они составляют только примерно 15% общего производства ячеистых бетонов. Остальное составляют различные газобетоны, что обусловлено рядом их преимуществ, выявившихся при массовом изготовлении изделий, особенно крупнсразмерных. Поверхности изделий из газобетона не имеют отслоений («корочек»), которые часто получаются на поверхностях изделий из пенобетонов. Для затворения газобетопных смесси можно применять более горячую воду, не боясь их осадки. Применение горячей воды уско ряет процесс газовыделения и обеспечивает температуру газобетонной смеси порядка 60°C к моменту окончания вспучивания. В результате смесь схватывается быстрее и время выдержки газобетонных изделий перед автоклавной обработкой может быть сокращено с 10 (при пенобетонных изделиях) до 3-4 ч. При повышенной температуре изделий, поступающих на автоклавную обработку, уменьшаются деструктивные явления.

В дальнейшем доля пенобетонных изделий в общем объеме производства будет еще меньше, так как все новые заводы проектируются и строятся только в расчете на выпуск газобетонных изделий.

Следует подчеркнуть, что на строительство заводов ячеистого бетона требуются меньшие капитальные вложения, чем на строительство заводов, производящих изделия и конструкции из различных легких бетонов (бетонов на легких пористых заполнителях). Для ячеистых бетонов не требуется организации специального производства легких заполнителей, ни крупных, ни мелких (типа, например, керамзитового или перлитового песка).

В процессе автоклавной обработки кремнеземистые компоненты — молотые пески, золы — вступают в химическое взаимодействие с основными вяжущими (цементом и известью) и приобретают частично свойства вяжущих веществ, благодаря чему обеспечивается повышенная относительная прочность ячеистого бетома. Так, современные наиболее распространенные отечественные ячеистые бетоны имеют при объемном весе

700 кг/м3 (в сухом состоянии) контрольную прочность 50 кгс/см² (на сжатие в кубах размером 10×10×10 см в высушенном состоянии). Указанную прочность при таком объемном весе не имеют другие бетопы, включая легкие типа керамзитобетона и перлитобетона. Таким образом, ячеистые бетоны являются наиболее эффективными бетонами для различных ограждающих конструкций.

На основе опыта передовых отечественных заводов ячеистого бетона и большинства зарубежных заводов вполне можно достичь при объемном весе 600 и 500 ке/м³ контрольную прочность (соответственно) 40 и

Сочетание таких прочностных показателей и объемпого веса позволило создать ряд эффективных отечественных конструкций из яченстого бетона, совмещающих в себе функции теплоизоляционных и несущих элементов. Это папели паружных стен полосовой разрезки с размером 1,2×6 м для промышленных и жилых зданий и панели высотой на этаж (около 3 м), длиной на один или два архитектурно-планировочных модуля (на одно или два окна) для жилых зданий; ребристые и плоские илиты с размером 1,5 \times 6 м для покрытий промышленных зданий и крупноразмерные плиты для чердачных и бесчердачных покрытий жилых зданий.

Степы из яченстобетопных напелей на 20-40% легче и дешевле других крупнопанельных стен из легкобетонных или трехслойных панелей. Еще более эффективны панели из яченстых бетонов в покрытиях жилых зда-

ний, особенно в бесчердачных.

Сопоставление отечественных конструкций из ячеистых бетонов с зарубежными показывает, что отечественные конструкции более индустриа гоны. Большинство применяемых за рубежом конструкций имеет значительно меньшие размеры.

Благодаря эффективным свойствам ячеистых бетонов памечается значительный рост их производства и при-

менения в строительстве.

Глава I основы технологии производства изделий из ячеистых бетонов

1. ОБРАЗОВАНИЕ ПОР В ГАЗОБЕТОННЫХ смесях и их устойчивость

К числу важных вопросов технологии ячеистого бетона относится получение устойчивых смесей с определенной пористостью в зависимости от заданного объемпого веса.

Рассмотрим, как протекает процесс вспучивания раствора при введении в его состав алюминиевой пудры и какие факторы влияют на устойчивость вспученной газобетонной смеси. При смешивании раствора с алюминиевой пудрой в результате взаимодействия алюминия с гидратом окиси кальция выделяется водород. Известно, что растворимость водорода в воде незначительна. В 1 л воды при температуре 20° С растворяется 18,19 см³ водорода, раствор быстро пересыщается и в результате частички алюминиевой пудры становятся центрами образования пузырьков. Эти мельчайшие пузырьки водорода при дальнейшем газовыделении увеличиваются в размере. Таким образом, вспучивание смеси следует рассматривать как процесс возникновения и роста газообразных сферондальных ячеек, рассредоточенных по всему объему раствора.

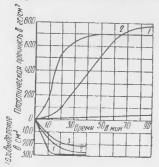
На газообразующую способность смеси влияет ряд факторов. Основные из них — начальная вязкость, текучесть смеси, ее температура, скорость образования структуры с определенными механическими свойствами, дисперсность алюминиевой пудры и ее количество, химичес-

кий состав среды.

Объемный вес газобетона зависит от несущей способности смеси, которая определяется ее структурномеханическими свойствами. Если после окончания

вспучивания смесь не будет обладать определенной песущей способностью, произойдет ее осадка. В случае, если смесь затвердеет до того, как завершился процесс газообразования, не будет достигнут заданный объемный вес газобетона.

Известны различные методы определения структурно-механических свойств дисперсных систем. Газобетонную смесь можно отнести к пластично-вязким системам;



ее структурно-механические свойства целесообразно оценивать, используя метод конического пластометра, предложенный акад. П. Л. Ребиндером [66]. Этот ме-

Рис, 1. Изменение пластической прочности газобетопных смесей и газовыделения

1— газобетон на извести-кипелке и псске;
2— то же на известково-цементиом вяжущем;
4— то же, на цементе

год позполяет определять степень парастания пластической прочности газобетонной смеси г процессе вспучивания, а также прочность структуры госле того, как процесс закончился и, следовательно, устанавливать несущую способность вспученной газобетонной смеси. Пластическая прочность характеризуется сопротивлением, которое смесь оказывает прониканию колуса (пластометра) при постоянной нагрузке.

Результаты измерения пластической прочности газобетонных смесей объемным весом 700 $\kappa e/m^3$ и газовыде-

ления с течением времени приведены на рис. 1.

Наиболее интенсивное газовыделение и нарастание пластической прочности наблюдается в смесях, состоящих из извести, а также известково-цементного вяжущего. Через 90 мин после затворения пластическая прочность этих смесей составляет соответственно 700 и 750 гс/см². За это время пластическая прочность газобетонной смеси на цементе не превышает 50 гс/см².

Высокая пластическая прочность газобетонной смеси и се питенсивное нарастание благоприятно сказываются на устойчивости смеси и сроках выдержки отформованных изделий до автоклавной обработки.

Помимо установления параметров текучести и тем-

пературы смеси для получения заданного объемного веса необходимо также определить ее несущую способность с учетом высоты формы, в которой формуется изделие.

Если из вспученной смеси вырезать призму высотой H, то слой газобетонной смеси у основания призмы будет испытывать давление

P = v H (1)

$$P = \gamma_{\rm cm} H, \tag{1}$$

где P — давление у основания призмы в $\mathit{cc/cm^2}$; γ_{cm} — объемный вес газобетониой смеси в $\mathit{c/cm^3}$; H — высота призмы в cm .

Чтобы не произошло разрушения структуры (осадки) газобетонной смеси у основания призмы, пластическая прочность т должна отвечать следующему условию:

$$\tau \geqslant a \gamma_{\rm cM} H,$$
 (2)

где $a - \kappa$ оэффициент, учитывающий давление от образовавшейся при вспучивании «горбушки» и допустимые отклонения в объемном весе газобетона в пределах до +5%.

Для определения пластической прочности использу-

ется пластометр П. А. Ребиндера.

Схема пластометра приведена на рис. 2. Рычаг с копусом пластометра устанавливают в строго горизонтальпос положение, перемещая подвижные грузы в правой части рычага, до тех пор, пока указательная стрелка не совместится с нулевым давлением шкалы отсчета. После этого стакан, заполненный газобетонной смесью и помещенный в теплоизолирующий сосуд, ставят на подъемный столик и, медленно вращая, устанавливают его таким образом, чтобы «зеркало» газобетонной смеси коснулось вершины конуса. Для измерения температуры в исследуемую газобетонную смесь погружают термобатлон манометрического термометра, который установлен на пластометре. На подвешенную справа от конуса тарель в определенной последовательности ставят гирьки весов с таким расчетом, чтобы обеспечить плавное погружение конуса на глубину 15 мм. Глубину погружения конуса определяют индикатором часового типа с ценэй деления 0,01 мм. При принятых в приборе соотношениях плеч (10:1) между конусом и индикатором погружение конуса определяют с точностью до 0,1 мм.

Величину пластической прочности определяют по фор-

муле

$$\tau = \frac{k_1 P}{2h^2} \,. \tag{3}$$

где P — вес гирь в ε ; h — глубина погружения конуса в $c \kappa$; k_1 — коэффициент, зависящий от угла раствора конуса (при $\alpha=60^\circ$ $k_1=0,956$).

Определять величину пластической прочности для каждого состава необходимо три раза и по полученным данным вычислять средние значения.

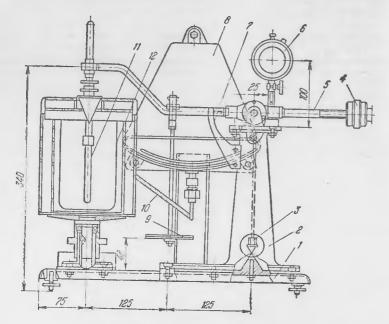


Рис. 2. Пластометр

I— станина, 2— стойка; 3— отвес; 4— подвижный груз; 5— балансирующий рычаг; 6— индикатор часового типа с ценой деления 0.01 мм; 7— указательная шкала; 8— термометр манометрический; 9— тарель для уста новки гирь; 10— соединительный гибкий планг; 11— термобаллон манометрического термометра; 12— стеклянный стакан для газобетонной смеси

Если значение пластической прочности, устанавливаемое пластометром, ниже требуемого, то вводят ускорители схватывания, новышают температуру воды затворения, изменяют текучесть или используют другие возможные способы и, таким образом, подбирают необходимые нараметры для получения газобетонной смеси, обладающей нужной несущей способностью.

При вспучивании газобетонной смеси иногда наблюдается явление, напоминающее «кипение»; крунные пузырьки водорода поднимаются к поверхности вначале в отдельных местах, затем скапливаются по всей площади, и смесь начинает «кипеть». Это приводит к разрушению образовавшейся ячеистой структуры и полной или частичной осадке вспученной смеси. В заводских условиях кипение чаще всего наблюдается при применении неко-

торых цементов, характеризующихся длительными сроками схватывания.

При малых значениях вязкости и пластической прочности смеси в процессе вспучивания газовыс пузырьки вначале сливаются, а затем, достигнув определенной величины, всплывают и вызывают кипение. Эти явления сравинтельно мало изучены и требуют специальных исследований.

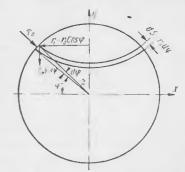


Рис 3 Распределение усилий при всилывании пузырька подорода

Можно доказать, что всплывание пузырька водо-

рода зависит не только от его размера, по и от пластической прочности смеси. Для этого определим подъемную силу пузырька и сопротивление среды при его всплывании.

Величину подъемной силы пузырька определяют по формуле

$$P = \frac{4}{3} \pi r^3 \gamma_{\rm cM} \alpha, \tag{4}$$

где P — подъемная сила; r — радиус пузырька; $\gamma_{\text{см}}$ — объемный вес газобетонной смеси, α — переходной коэффициент от объемного веса идеальной жидкости к газобетонной смеси.

Всплыванию пузырька будет пренятствовать сопротивление среды, характеризуемое величиной пластической прочности газобетонной смеси.

Для вычисления силы F необходимо суммировать действие элементарных сил сопротивления по половине шаровой поверхности пузырьков (рис. 3), т. е.

$$F = \int_{0}^{-7/2} \tau \cos \varphi \sin \varphi \, 2\pi r^2 \, d\varphi = \pi r^2 \tau. \tag{5}$$

Чтобы создать условие, при котором пузырек не бу-

дет всилывать, величина подъемной силы должна быть уравновещена силой сопротивления среды, т. е.

$$\frac{4}{3} \pi r^3 \gamma_{\text{cM}} \alpha \leqslant \pi r^2 \tau. \tag{6}$$

Из последнего выражения следует, что для предотвращения всплывания пузырьков во юрода нужно повы-

сить пластическую прочность газобетонной смеси.

По данным П. Р. Таубе, одним из факторов, препятствующих слиянию пузырьков, а следовательно, увеличению их размеров, является создание упругих пленок на поверхности воздушных пузырьков путем введения в раствор поверхностно-активных веществ.

2. ПРОЧНОСТЬ И ФАЗОВЫЙ СОСТАВ АВТОКЛАВНОГО ЯЧЕИСТОГО БЕТОНА НА ОСНОВЕ РАЗЛИЧНЫХ ВЯЖУЩИХ

В отечественной и зарубежной литературе приводятся различные данные по прочностным показателям яченстых бетопов одного и того же объемного веса. Это може

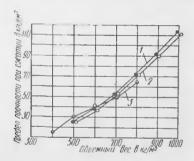


Рис. 4. Прочность газобетона в зависимости от объемного веса

I — на известково-цементном вяжущем (данные НИИЖБ); 2 — на цементе (данные НИИЖБ); 3 — то же (по каталогу фирмы «Сипорекс»)

но объяснить тем, что исследования проводились с применением неодинакового сырья при разном соотношении вяжущего и кремнеземистого компонента и различных условиях автоклавной обработки образдов. Кроме того, отсутствуют данные о методчке испытаний образдов.

На рис. 4 представлены усредненные показатели прочности газобетона в зависимости от его объемного веса. Эти данные отпосятся к газобетонным образцам разме-

ром 10×10×10 см, испытанным после автоклавной обработки при давлении 8 ат (изб.) и высушенным до постоянного веса в сушильном шкафу при температуре 105° С. Образцы изготовляли с применением портлаид-

цемента Белгородского завода, который относится к алитовым цементам, и молотой извести-кипелки Гжельско го завода с 85%-ным содержанием CaO. Песок, содержавший до 95% кремнезема, был размолот до удельной поверхности $2500~cm^2/\epsilon$.

Для сравнения на рис. 4 приведены показатели прочности газобетона, взятые из каталога шведской фирмы

«Сипорекс». Прочность газобетона на цементе и известковоцементном вяжущем практически одинакова.

При оптимальных технолопических параметрах прочностные показатели газобегона, изготовленного в НИИЖБ и в других институтах, не отличались от показателей шведских ячеистых бетонов. Такие же данные по прочности (с небольними отклонениями) были получены на ряде газобетонных заводов: Ворониловградском, Ленинградском, Новосибирском и др.

В НИИЖБ проводили также исследования по установлению зависимости между прочностью газобетона разного объемного веса и расходом известково-цементного вяжущего. Аналогичная работа была

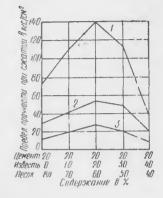


Рис. 5. Прочность газобетона различного объемного веса на известково-цементном вяжущем в зависимости от соотношения вяжущего и песка

/ — объемный вес 900 кг/м³; 2 — то же. 700 кг/м³; 3 — то же. 500 кг/м³

проведена для газобетона на портландцементе [54].

При исследовании газобетона на известково-цементном вяжущем количество извести и песка изменяли в широких пределах. Анализ результатов определения прочности при сжатии (рис. 5) показал, что состав, содержащий 20% молотой извести-кипелки, 20% портландцемента и 60% молотого песка, является оптимальным. В этом случае прочностные показатели газобетона объемного веса 500, 700 и 900 кг/м³ соответственно равны 30, 55, 140 кгс/см².

С увеличением количества молотой извести-кипелки и уменьшением содержания песка прочность газобетона снижается. Резкое снижение прочности (до 70%) наблю-

далось при составе: 20% портланциемента, 40% молотой извести-кипелки и 40% песка.

Было также установлено, что прочность газобетона разного объемного веса на портландцементе меняется в зависимости от содержания тонкомолотого

(рис. 6). При составах без добавки песка, т. е. на чистом портландцементе, была получена наименьшая прочность. Замена части цемента песком увеличивает прочность. Максимума она достигает при соотношении цемента с песком 1:0,6, т.е. при 60% вяжущего и 40% песка. При объемном весе

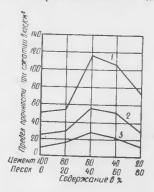


Рис. 6. Прочность газобетона на цементе в зависимости от соотношения цемента и песка 1. 2. 3 — то же, что на рис. 5

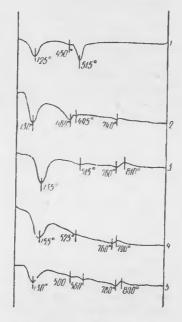


Рис. 7. Кривые ДТА газобетона на цемеите в зависимости от соотношения цемсита и песка соответственно

I
 — 100 и 0%; 2 — 80 и 20%; 3 — 6 и 40%; 4 — 40 и 60%; 5 — 20 и 80%

500, 700 и 900 $\kappa e/m^3$ прочность газобетона составляет соответственно 28, 56 и 116 кас/см². Дальнейшее увеличение содержания песка и уменьшение голичества вяжущего снижают прочностные показатели. Так, прочность газобетона состава 20% вяжущего и 80% кремнеземистой добавки на 60% инже максимальной.

В исследованиях определяли также изменение прочпости конструктивного газобетона объемного веса 1000 и 1200 к. из при различном соотпошении вяжущего и

кремнеземистого комлонента (табл. 1). Наименьшая прочность газобетона наблюдалась как на составах с малым расходом вяжущего, так и на тех составах, в которых расход вяжущего превышал оптимальный.

Таким образом, максимальная прочность газобетс, а достигается только при определенных соотношениях ья-

жущего и кремнеземистого компонента.

Прочность газобетона объемного веса 1000 и 1200 кг/м³ на смешанном вяжущем состава 20% цемента, 20% молотой извести-кипелки и 60% песка (1:1:3) была равна соответственно 215 и 340 кгс/см2. Такие же прочностные показатели газобетона можно получить на составе: 60% цемента и 40% песка (1:0,6). Однако если при смешанном вяжущем расход цемента и молотой извести-кипелки, например, для газобетона объемного геса 700 кг/ $м^3$ составляет соответственно 115 и 115 кг на 1 M^3 , то при использовании одного портландцемента для получения аналогичной прочности требуется увеличить расход его до 315 кг на 1 м3. Учитывая, что свойства газобетона на смешанном вяжущем мало отличаются от свойств газобетона на портландцементе, совершенно очевидно, что для изготовления автоклавных ячеистых бетонов применение портландцемента как основного вяжущего экономически неоправданно.

Наряду с изучением прочностных характеристик определяли новообразования, возникающие в результате автоклавной обработки газобетона при различном соотношении вяжущего и кремнеземистого компонента.

Для установления зависимости фазового состава газобетона объемного веса 700 кг/м³ на портландцементе при различном соотношении вяжущего и молотого песка были взяты соответствующие пробы, подвергнутые дифференциальному термическому и рентгеноструктурному анализам. Одновременно был проведен химический апализ для определения свободной извести (табл. 2).

Результаты исследований показали, что фазовый состав автоклавного газобетона меняется в зависимости от содержания вяжущего и кремнеземистой добавки (рис. 7

и 8).

Кривая ДТА образца газобетона, изготовленного на одном портландцементе без добавки песка, характеризуется тремя эндотермическими эффектами. Эндотермический эффект при 125—130° С связан с удалением адсорбплонной и гигроскопической влаги из продуктов гидратации. Впадина на термограмме при температуре 450-465°С и линии на рентгенограмме 3,25; 1,91; 1,78; 1,68 Å характеризуют присутствие в образце двухосновного гидросиликата кальция C₂SH(A). Значительный эндотерми-

Таблица 1 Прочность конструктивного газобетона при различном соотношении вяжущего и кремнеземистого компонента

Таблица 2 Содержание свободной извести в автоклавном газобетоне разного состава

			o content	ло компонента	-			состава
Ce	став	в %	I	1	Сост	ав по ве	сув %	
цемент	ИЗВЕСТЬ	Песок	Объемнын Вес в ке/м!	Асж в высу- шениом сос- тоянии, при веденный к расчетному объемному весу, в	Lew. III	молотая известь- кипелка	молотый песок	Свободная
20 20 20	10 20 20	70 60 50	1000 1000 1000	158 215 208	100 80 60	_	20 40	9,67 1,91 1,2
20 20 20	40 10 20	40 70 60	1000 1200 1200	155 325 340	40 20 20	10	60 80 70	1,06 0,71 1,14
20 20	30 40	50 40	1200 1200	310 180	20 20 20	20 30 40	60 50 40	1,86 2,83 4,52
					1	1	1	

ческий эффект при 515°C, а также линии на рентгенограмме 4,88; 3,1 и 2,66Å свидетельствуют о наличии в исследуемом образце Са (ОН) 2. По данным химического анализа, количество свободной извести в этом образце составляет 9,67%.

Термограмма образца газобетона, состоящего из 80% портландцемента и 20% песка, показала изменение фазового состава продуктов гидратации. Эндотермический эффект при 460°C несколько увеличивается — повысилось количество двухосновного гипросиликата кальция C₂SH(A), по-видимому, вследствие взаимодействия извести, образовавшейся при гидратации цемента с песком. Липии па рентгенограмме (рис. 8) 3,52; 3,25; 2,4; 1,91 и 1,77А епидетельствуют о наличин и исследуемом образце C2SH(A).

При 495° С эндотермический эффект резко уменьинетси, что связяно с уменьшением количества окиси кальция. Это подтверждается также данными химического апалила Количество спободной изпести по срявнению 16

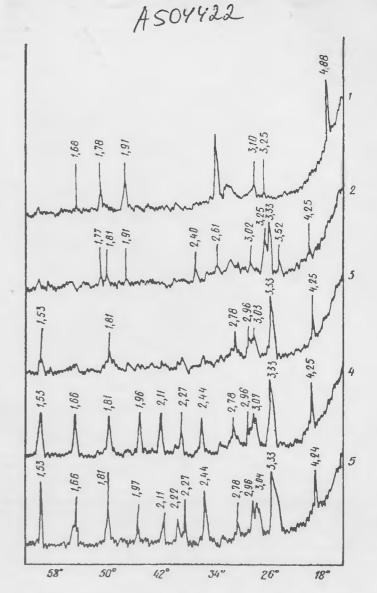


Рис. 8. Рентенограммы газобетона на цементе в зависимости от соотпошения цемента и песка

1, 2, 3, 4, 5 -- то же, что на рис. 7

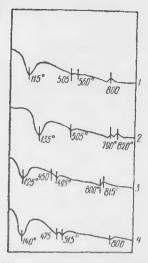


Рис. 9. Кривые ДТА газобетона на известково-пементном вяжущем в зависимости от соотношения цемента, извести и песка соответственно 1 -- 20, 10 п 70%; 2 -- 20, 20 п 60%; 3 -- 29, 30 п 50%; 4 -- 20, 40 и 40%

с содержанием ее в предыдущем образце снизилось с 9,67 до 1,91%. На термограмме исследуемого образца отмечается небольшой эндотермический эффект при температуре 740° С, обусловленный, вероятно, разложением CaCO₃.

Существенно изменяется фазовый состав образца газобетона, состоящего из 60% портландиемента и 40% песка.

Как уже было указано, газобетон на этом составе имел наибольшую прочность. На кривой ДТА (см. рис. 7) эндотермический эффект при 450°С полностью исчезает, что говорит об отсутствии в данном случае C₂SH(A). Еле заметный эффект при 515°С свидетельствует о значительном уменьшении количества Са(OH)₂. Содержание свободной извести составляет 1,2%. Одновременно при 810°С на термограмме появляется новый экзотермический эффект.

При добавке 40% неска происходит почти полное связывание $Ca(OH)_2$ и образование вместо двухосновного гидросиликата $C_2SH(A)$ низкоосновного гидросиликата CSH(B). Последний обнаруживается на рентгенограм-

ме — линин 3,02; 2,78 и 1,81А. При увеличении добавки кремнезема до 60% существенных изменений на кривой ДТА и рентгенограмме по сравнению с образцом, состоящим из 60% цемента и 40% песка, не наблюдается. Химическим анализом обнаружено спижение содержания свободной извести до 1,06%. Прочность образцов по сравнению с образцами, содержащими 40% мологого неска, снизилась незначительно.

Фазовый состав газобегона на смешациом вяжущем при различных соотношениях вяжущего и кремнеземистого компонента меняется следующим образом.

Кривая ДТЛ газобетона, содержащего 20% цемента, 10% молотой извести-кипелки и 70% молотого песка, характеризуется незначительными эндотермическими эффектами при 505 и 560°С (рис. 9). Первый эффект объясняется дегидратацией Са(ОН)2, второй — модификационными превращениями кварца. Экзотермический эффект при температуре 800°С вызван присутствием одноосновного гидросиликата кальция СSH(В). Это подтверждается также наличием на рентгенограмме линий 3,02 и 1,81 $\mathring{\Lambda}$ (рис. 10).

Термограмма образца газобетона, в составе которого содержится до 20% извести, показывает увеличение эндотермического эффекта при 505° С за счет дегидратации Са(OH)₂. Количество свободной извести возрастает незначительно и составляет 1.86%.

Экзотермический эффект на кривой ДТА при 820° С и линии 3,02 и 1,81Å свидетельствуют о наличии одноосновного гидросиликата кальция CSH(B). На рентгенограмме обнаруживается присутствие C_2 SH(A) — линии 4,25; 2,40 и 1,92Å и CSH(B) — линии 3,01 и 1,80Å.

Прочность газобетона, содержащего 30% извести, снижается при всех значениях объемного веса. При увеличении количества извести до 40% на термограмме становятся более выраженными эндотермические эффекты при 475 и 515° С — повышается содержание C_2 SH(A) и $Ca(OH)_2$.

Наличие $C_2SH(A)$ подтверждается на рентгенограмме линиями 3,52; 3,25; 2,51; 2,46 и 1,77Å. Отсутствует экзотермический эффект одноосновного гидросиликата кальция. Эндотермический эффект при 800° C связан с разложением $CaCO_3$. Количество свободной извести, то данным химического анализа, достигает 4,52%.

Снижение прочности газобетона при введении 40% извести, как видно из рис. 6, достигает 70% по сравнению с составом, содержащим 20% молотой извести-кинслки.

Газобетоны оптимальных составов характеризуются высокими ноказателями морозостойкости. Газобетон на смешанном вяжущем по морозостойкости практически не уступает газобетону на цементе. Опыты, проведенные с газобетоном объемного веса 700 кг/м³, как на портландцементе, так и на смешанном вяжущем, показали,

что после 100 циклов замораживания снижение прочности не превышает 20%. После 150 никлов попеременного

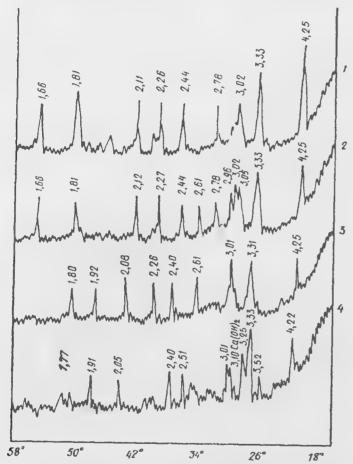


Рис. 10. Рентгенограммы газобетона на известково-цементном вяжущем в зависимости от соотношения вяжущего и песка 1. 2. 3. 4—то же, что на рис. 9

замораживания и оттаивания синжение прочности достигает 30%, а после 200-50%.

Исследуя влияние расхода цемента на стойкость ячеистого бетона при карбонизации, А. Т. Баранов и К. П. Бахтияров [6], Е. С. Силаенков и Г. В. Тихомиров [72] установили, что прочность изменяется в зависимости от расхода вяжущего. При малом содержании цемента в бетоне в период карбонизации прочность значительно снижается. С увеличением расхода вяжущего синжение прочности становится меньшим. Авторы рекомендуют для повышения долговечности расход цемента для ячеистого бетона объемного веса 700 кг/м³ доводить до 350 кг/м³. Это соответствует составу, содержащему примерно 55% портландцемента и 45% молотого песка.

Таким образом, как по прочности, так и по долговечности оптимальным будет являться такой состав газобетона, при котором отношение цемента к молотому пес-

ку приближается к 1:1.

В Московском инженерно-строигельном институте им. В. В. Куйбышева под руководством д-ра техн. наук проф. А. В. Волженского проводятся общирные исследовательские работы пс использованию металлургических шлаков для получения различных видов бетонов автоклавного твердения [20]. Установлено, что прочность газобетона на шлакозольных цементах в значительной степени зависит от тонкости их помола и состава. При увеличении удельной поверхности шлакового вяжущего с 3500 до 6500 см²/г прочность возрастает на 50—60%. Наибольшая прочность достигается только при определенном соотношении между шлаковым вяжущим и тонкомолотым кремнеземистым компонентом (песком, золой или их смесью). В зависимости от свойств сырьевых материалов состав колеблется от 1:0,5 до 1:1,2.

В НИИЖБ на протяжении ряда лет [69] проводятся исследования технологии и свойств газошлакобетона с использованием различных шлаков. Наилучшие результаты достигаются при использовании гранулированных шлаков, основных и нейтральных, с модулем активности не менес 0.2. Прочность газошлакобетона объемного веса 700—800 $\kappa z/m^3$ составляет 70—80 $\kappa z c/cm^2$, а объемного веса 1000—1200 кг/м³ — до 300 кгс/см². Состав смеси в %: гранулированный шлак 40--60; зола или молотый песок 30—40; известь-кипелка 5—8 и двуводный гипс 5. При исследовании фазового состава газошлакобетона было установлено, что высокая прочность его наблюдается при содержании 30-40% тоберморита, в котором SiO₂ частично замещен А12О3. Изучая различные составы газонлакобетона, авторы пришли к выводу, что увеличение количества одноосновных гидросиликатов и гидрогранатов свыше 40% приводит к снижению прочности, увеличению усадочных деформаций и трещиностойкости бетона.

В Институте строительства и строительных материалов Госстроя Эстоиской ССР Ф. П. Кивисельг и Э. Г. Оямаа [60] разработали технологию и изучили свойства разновидности ячеистого бетона—газокукермита. Этот вид ячеистого бетона изготавливаєтся на основе циклонной золы, получаемой при пылевидном сжигании горючего сланца-кукермита, и кварцевого песка. Циклонная зола является полиминеральным вяжущим и содержит около 20% клинкерных минералов—в основном β-С₂S и около 20% свободной СаО, а также стекловидную фазу. Установлено, что на оптимальном составе при соотношении циклонной золы и неска в пределах 1:0,7; 1:1 прочность газокукермита при объемном весе 700—800 кг/м³ составляет 45—60 кгс/см², а при объемном весе 1000—1200 кг/м³—105—175 кгс/см².

Авторы отмечают, что в результате автоклавной обработки происходит взаимодействие между клинкерными минералами и свободной известью, с одной стороны, и кремнеземом золы и песка, с другой. При оптимальном составе образуются гидросиликаты, в основном типа

CSH(B).

Обширные исследовательские работы по комплексному использованию зол ТЭЦ для производства строительных магериалов, а также для автоклавных яченстых бе-

тонов были проведены И. Л. Ивановым [32].

А. Т. Барановым, Б. А. Новиковым и Ю. Б. Кузнецовым в НИИЖБ проводились исследования газозолосиликата, в результате которых установлено большое влияине активности известково-зольной смеси на его прочпость Как при уменьшении, так и при увеличении активпости смеси против оптимальных значений прочность, а также другие физико-технические свойства газозолосиликата спижаются. Этот вид ячеистого бетона внедрен на Ступписком заводе Главмособлстройматериалов. При использовании золы-уноса Ступинско і ТЭЦ, которая имеет следующий состав в %: SiO₂ 39—52; Al₂O₃ 17—26; Fe₂O₃ 19 28: CaO 1,6 6,7; MgO 0,7 2,3 и п.п.и. 1,1—3,6, лучине показатели по прочности были получены при активпости известково-зольной смеси 18% с добавкой 4% гинса 11а оптимальных составах прочность газололосиликата следующая: при объемном весе $500-600~\kappa e/m^3$ 2030 кгс/см², а при объемном весе 700—800 кг/м³ 55—85 кгс/см² [57, 58]. Исследования, проведенные во ВНИИСтроме С. А. Кржеминским и Б. Б. Крыжановским [36] по технологии газосиликата, показали, что при использовании сырья хорошего качества и выдерживания определенных технологических параметров можно получить ячеистый бетон, обладающий высокими показателями. Известь рекомендуется размалывать до удельней поверхности 6000—7000 см²/г. Сроки ее гашения должны находиться в пределах 15—25 мин. Расход извести устанавливается с таким расчетом, чтобы содержание актизной окиси кальция в смеси составляло 18—20% по весу. Для изготовления газосиликатных изделий рекомендуется применять кварцевые пески.

По данным Ю. М. Бутта, А. А. Майера, Н. С. Мануйловой [15], при взаимодействии калиевого или натриевого полевого шпата с известью в результате автоклавной обработки образуются главным образом гидросиликаты типа C₂SH(A). Такой фазовый состав приводит к пониженным прочностным показателям. В молотом полевошпатовом песке наряду с полевошпатовыми минералами находится кварц; известь реагирует с ним, образуя гидросиликаты кальция, основность которых зависит от содержания извести в исходной смеси, дисперсности песка

и длительности автоклавной обработки.

А. В. Волженский [18, 19] отмечает, что прочность автоклавных бетонов зависит не только от состава гидросиликатов, но и от толщины цементирующей пленки между зернами кварца. Чем тоньше пленка цементирующей связки, тем прочнее бетон при прочих равных условиях. На толщипу пленки влияют главным образом состав смеси, водовяжущее отношение (считая и кремпеземистый компонент) и дисперсность вяжущего

3. ИЗГОТОВЛЕНИЕ ИЗДЕЛИИ ИЗ ЯЧЕИСТЫХ БЕТОНОВ

Материалы и требования к ним

Для изготовления яченстого бегона необходимы следующие основные материалы: вяжущее, кремнеземистый компонент, газообразователь или пенообразователь, добавка гипса и вода.

В качестве вяжущего применяют гледующие материалы: портландцементы, молотую известь-кипелку, известь-кипелку с добавкой портландцемента (смешанное вяжущее), молотые доменные шлаки с активизаторами в виде молотой извести-кипелки и гипса (известково-шлаковый цемент) и нефелиновый цемент.

Применение портландцемента в качестве одного основного вяжущего для изготовления автоклавных ячеистых бетонов, как уже отмечалось ранее, экономически неоправданно. Тем не менее отдельные отечественные заводы и некоторые зарубежные фирмы применяют портландцемент, что связано с определенными местными условиями. При использовании портландцемента в производстве крупноразмерных изделий предпочтение следует отдавать алитовым и малоалюминатным цементам с содержанием в клинкере трехкальциевого алюмината не более 6%. Начало схватывания цемента — от 1 до 2 ч и конец схватывания --- не позднее 4 ч. Удельная поверхность цемента, определяемая на приборе ПСХ-2, должна быть в пределах 2500—3000 см²/г для конструктивного и конструктивно-теплоизоляционного и 3000—4000 см²/г для теплоизоляционного ячеистого бетона. В остальном цемент должен удовлетворять гребованиям 10178—62.

Использование в качестве основного вяжущего для производства различных видов автоклавных изделий известково-шлакового и нефелинового цементов позволяет без применения портландцемента пслучать газобетон высокого качества. Это стало возможным в результате целого ряда исследовательских работ, проведенных П. И. Боженовым, Л. В. Волженским, Л. Ь. Саталкиным и др. [12, 20, 74].

Из известково-шлаковых цементов рекомендуется применять в первую очередь те, которые приготовлены на грапулированных шлаках (основных, пейтральных и кислых). Могут быть также применены известково-шлаковые цементы, приготовленные на отвальных шлаках при условии, что величина их модуля основности составляет не менее 0,6 и величина модуля активности не менее 0,4. Начало схватывания известково-шлакового цемента должно быть не позднее 2 ч; его удельная поверхность — не менее 4000 см²/г (по прибору ПСХ-2); количество активной СаО — не менее 10% (по весу).

Пефельновый цемент должен иметь удельную поверх-

ность $3000-3500~cm^2/s$ и следующие сроки схватываный начало— не ранее 30~mun и не позднее 1,5~u, конец— не позднее чем через 6~u [13]. Суммарное содержание щелочей (K_2O+Na_2O) в нефелиновом цементе не должно превышать 2%. Цемент должен обладать равномерностью изменения объема. Рекомендуются следующие составы нефелинового цемента (в %):

І-й состав		2-й состав	
Нефелиновый шлам	85—90	Нефелиновый шлам	80
Известь	10—15	Портландиемент- ный клинкер	20
Гипсовый камень .	5	Гипсовый камень.	5 (от веса вяжуще- го)

Молотая известь-кипелка должна удовлетворять требованиям ГОСТ 9179—70 «Известь строительная». При изготовлении крупных изделий предусматривается применение молотой извести-кипелки не ниже второго сорга, содержащей не более 3% окиси магния. Содержание в извести активных СаО и MgO должно быть не менее 70%, количество «пережога»—не более 2%; скорость гаше-

ния должна составлять от 5 до 25 мин.

Известь-кипелку измельчают в двухкамерных шаровых мельницах до получения очень тонкого порошка. Для предупреждения при помоле комкования частичек извести целесообразен совместный ее помол с немолотым сухим песком при соотношении 1:0,2 (известь: песок). При изготовлении крупных изделий тонкость помола извести должна быть такой, чтобы при полном прохождении через сито 02 остаток на сите 009 был не более 15%. При определении прибором ПСХ-2 (Товарова) удельная поверхность молотой извести-кипелки должиа составлять не менее 3500—4000 гм²/г. Степень измельчения завилит от количества материала, подаваемого для размола в мельницу, и продолжительности помола. Для получения материала с постоянной тонкостью помола необходимо обеспечить нормальный режим работы мельницы, подобрать вес и размер мелющих тел, догружая их по мере износа через каждые 10—15 дней.

Наиболее распространенным кремнеземистым компонентом при изготовлении автоклавных ячеистых бетонов является несок. От качества песка в значительной степени зависит получение крупных изделий без трещин. Ис-

Характеристика алюминиевой пудры

ходя из этого целесообразиес всего применять чистые кварцевые пески, содержащие не менее 90% кремнезема. Можно использовать пески, в гом числе и барханные, с меньшим содержанием кремнезема, если изделия, полученные из этих песков, будут надлежащего качества, без трещин.

Следует учитывагь, что примеси, встречающиеся в неске, гакже существенно влияют на качество ячеистого бетона. Особо отрицательное влияние оказывают илистые примеси и глины. Их содержание не должно превышать более 3%. Если глинистые частицы содержат минералы типа монтмориллопита, го их количество не должно превышагь 1%. В остальном песок должен удовлетворять требованиям ГОСТ 8736—67.

Песок перед употреблением нодвергают помолу. Размалывают песок по мокрому способу. При этом отпадает необходимость сушить песок в специальных сушильных барабанах и значительно улучшаются санитарно-гигиенические условия в помольном отделении. По удельной поверхности (на приборе Товарова) тонкость помола песка должиа быть в пределах 2500—3000 см²/г. При помоле песка в мельницу подается вода до получения шлама объемного веса 2000—2500 кг/м²

Количество неска и воды, содержащихся в шламе, в зависимости от объемного веса определяют по формулам:

$$II = 1,606/L/(\gamma_{mn} - 1);$$
 (7)

$$B = III \gamma_{m_1} - \Pi, \tag{8}$$

гце Π — количество песка в κz ; III — количество шлама в Λ ; $\gamma_{\rm шл}$ — объемный всс шлама в $\kappa z/\Lambda$; B — количество воды, содержащейся в шламе, в Λ .

11. Р. Таубе для ускорення процесса помола и получения шлама с пластичными свойствами рекомендует вводить ПАВ.

Взамен мологого песка в качестве кремнеземистого компонента можно применять золу-унос. Зола-унос от сжигания бурых и каменных углей должна содержать стекловидных и онлавленных частиц не менее 50%, потери при прокаливании для бурых углей не выше 3% и для каменных—не более 5%, удельная новерхность золы, определенная на ПСХ-2, должна быть в пределах 3000—5000 см²/г, набухание в воде не выше 5% [58]. Золу-унос обычно применяют непосредственно от элек-

	Остаток в % пр	и просеивании	тчерез сито	,,
Марка	(5100 oms/cm²)	(1005.3 (10085 ome/cm²)	(15 000 (15 000 oma/cm²)	Количество активного АГв %
ПАК-1	4		_	90
ПАК-2	1,5		_	87
ПАК-3	1	1	1	82
ПАК-4	Без остатка	0,3	0,5	82

трофильтров ТЭЦ (по опыту Ступинского завода ячеистого бетона). Зола-унос в отвалах не однородна по составу и загрязнена различными примесями, поэтому в ячеистых бетонах она применяется очень редко.

Чтобы окончательно установить пригодность вяжущето и кремнеземистого компонента для производства ячеистых бетонов, в каждом отдельном случае необходимо изготовить опытную партию изделий В качестве газооб. разователя применяют алюминиевую пудру. В СССР выпускают алюминиезую пудру четырех марок (ГССТ 5494—50). Характеристика пудры различных марок приведена в табл. 3. Для производства газобетона целесосбразнее всего применять пудру марки ПАК-3 или ПАК-2. Алюминиевую пудру необходимо предварительно обработать для удаления жировой пленки (парафина), которой она покрывается в процессе изготовления на заводах. Парафинированные частицы алюминиевой нудры имсют гидрофобные, не смачиваемые водой поверхности. При перемешивании с раствором такую пудру не удается равпомерно распределить по всей смеси, что ухудшает структуру газобетона. Кроме того, пленка парафина замедляет процесс выделения водорода. В связи с этим для удаления пленки алюминиевую пудру предварительно прокаливают в электрических печах при температуре 200-250°C в течение 4 ч. Для предотвращения взрыва при воспламенении эту работу проводят в специально отведенных помещениях.

В НИИЖБ Л. М. Розенфельдом [68], а на ленинградском Автовском ДСК Е. Г. Григорьевым была доказана возможность использования чепрокаленной пудры путем придания ей гидрофильных свойств (смачиваемости) предварительной обработкой в водном растворе поверхностно-активного вещества малой концентрации. Это предложение было с успехом реализовано на газобетонных заводах в Леншиграде, Инжиен Тагиле, Новосибирске и др. Для приготовления гидрофильной водноалюминиевой суспензии в сосуд емкостью 15 л засыпают необходимое количество алюминиевой пудры из расчета на один замес, затем заливают поверхностно-активное вещество ГК, ССБ, канифольное масло и др. в количестве 5% (из расчета на сухое вещество) от веса алюминиевой пудры и 10 л воды. После тщательного перемешивания в течение 2 мин гидрофильна водно-алюминиевая суспензия считается готовой; ее можно приготовить для работы на одну-две смены.

На зарубежных заводах ячеистого бетона широко применяют газообразователь на основе алюминиевой пудры в виде пасты. Это улучшает санитарно-гигиенические ус-

ловия в смесительном отделении.

Двуводный гипс, добавляемый для замедления гашения извести-кипелки, должен иметь тонкость помола, характеризуемую остатком на сите 02 не более 3%, и удовлетворять требованиям ГОСТ 4013—61 «Камень гипсовый для производства вяжущих веществ». Допускается применение полуводного гипса (ГОСТ 125—57) совместно с добавкой поташа (ГОСТ 4221—65). В качестве ускорителя схватывания цементных смесей применяется жидкое стекло (ГОСТ 13079—67).

Для приготовления газобетона применяется вода, пригодная для питья. Сточные и болотные воды, а также воды, загрязненные вредными для цемента примесями, имеющие более 1% сульфатов от веса воды (в пересчете на SO_3), нельзя использовать для затворения газобе-

гонной смеси

Приготовление газобетонной смеси и формование изделий

Получение газобетонной смеси заданного объемного веса и прочности — один из важных переделов технологического процесса производства.

Метод подбора объемного веса ячеистых бетонов на основе пенообразователей и газообразователя с применением различных вяжущих и кремнеземистых компонентов изложен подробно в «Инструкции по технологии изготовления изделий из ячеистых бетонов» (СН 277-70)

Здесь рассмотрим в общих чертах, как производится подбор объемного веса и оптимального состава газобетона на основе смешанного вяжущего, широко применяе-

мого при производстве газобетонных изделий.

Прежде всего опытным путем устанавливают текучесть и температуру газобетонной смеси с таким расчетом, чтобы при определенном расходе алюминиевой пудры получить газобетон заданного объемного веса с равномерной структурой.

Расход алюминиевой пудры определяют по формуле

$$A = \frac{V - \left(-\frac{II}{d_{II}} + \frac{H}{d_{II}} + \frac{\Pi}{d_{II}} + B\right)}{k\alpha},\tag{9}$$

где A — количество алюминиевой пудры в z; V — объем газобетсь ной смесн для заполнения форм, увеличенный на 3-5% с учетом образования «горбушки», в Λ ; \mathcal{U} — количество цемента в κz ; \mathcal{U} — количество извести в κz ; \mathcal{U} — количество песка в κz ; \mathcal{U} — количество воды в Λ ; \mathcal{U} — удельный вес в $\kappa z/\Lambda$; k — количестьо газа, получаемого из 1 z алюминиевой пудры при температуре $38-40^\circ$ С, равное 1,4 Λ ; α — коэффициент использования алюминиевой пудры, принимаемый равным, в зависимостн от объемного веса газобетона, 0.7—0.9.

Для определения оптимальных значений текучести и температуры смеси в лабораторных условиях на принятом составе изготовляют пробные замесы, которые на ±2 см отличаются от исходных значений по текучести и на ±3°С по температуре смеси. Исходные значения текучести и температуры смеси в зависимости от заданного объ-

емного веса устанавливают

по табл. 4.

Исходные значения текучести и температуры смеси для подбора объемного веса газобетона

Таблица 🗜

Объемный вес газобето- на в кг/м³	Теку- честь в см	Темпера- тура сме- си в °C
400 500 600 700 800 900 1000	34 30 26 22 18 15	43 42 41 40 39 38 37

Так, например, при исходных значениях текучести 26 см и температуре смеси 41° С для пробных замесов за-

данного состава принимают: по текучести —24, 26 и 28 см; по температуре —38, 41 и 44° С.

Для принятого состава необходимо изготовить девять пробных замесов. Различные значения по текучести достигаются изменением количества воды затворения.

Газобетонную смесь из каждого пробного замеса заливают в стаканы объемом не менее 500 см³. Число изготовленных образцов для каждого замеса должно быть не менее 3. Через 1 ч после оконыния вспучивания определяют объемный вес газобетонной смеси. Пересчитывают объемный вес газобетонной смеси на объемный вес газобетона в сухом состоянии по формуле

$$\gamma_{\text{cvx}} = \frac{\gamma_{\text{cM}}}{k\left(1 + B/T\right)} , \qquad (10)$$

где $\gamma_{\rm CS}$, - объемный вес газобетона в сухом состоянии в кг/м³; $\gamma_{\rm CM}$ объемный вес газобетонной смеси в кг/м³; k — коэффициент, учитывающии гидратную воду, принимаемый равным 0,85 иля газобетона объемного веса 400-600 кг/м³ и 0,9 — для газобетона объемного веса 700 и 800 кг/и³; B/Γ — отношение веса воды к весу вяжущих и молотого цеска

Таблица 5 Составы для пробных замесов

		.,	
Замес	Цемент	Н., весть	Пе- сок
1 2 3 4 5	20 25 15 20 20	20 20 20 20 25 15	60 55 65 55 65

Текучесть газобегонной смеси определяют на приборе Суттарда по диаметру расплыва смеси с точностью до 5 мм. Для этого производят четыре отсчета показапий шкалы в противоположных концах двух взаимно перпендикулярных диаметров измерительного диска. Среднее арифметическое из этих четырех пока-

заний и будет характеризовать текучесть газобетонной смеси.

Чтобы установить оптимальное соотношение вяжущих и кремнеземистого компонента, подбирают состав с таким расчегом, чтобы получить требуемую прочность газобетона при наименьшем расходе вяжущего. Так, для газобетона на смешаниом (известково-цементном) вяжущем изготовляют пробные замесы, составы которых приведены в табл. 5.

Для получения оптимального состава необходимо наготовить иять пробимх замесов. Из каждого замеса изготовляют по шесть образцов-кубов размером $10 \times 10 \times$ ≿10 см. После автоклавной обработки и высушивания
до постоянного веса определяют их объемный вес и предел прочности при сжатии. На основании полученных результатов устанавливают состав смеси.

Газобетонную смесь приготовляют в специальных смесительных механизмах — газобетономешалках. От точности дозировки отдельных составляющих зависит каче-

ство и однородность газобетонной смеси.

Крупноразмерные газобетонные изделия формуют в металлических формах, которые должны иметь строго определенные размеры, с тем чтобы получать изделия с установленными допусками. Формы должны быть достаточно жесткими, чтобы предотвратить образование грещин в отформованных изделиях при погрузке их на вагонетки и при транспортировании в автоклавы. Нельзя крепить траверсы к бортам открывающихся форм, так как это приводит к увеличению зазоров в месте примыкания бортов друг к другу и к поддонам Если в формах есть зазоры, то при заполнении их газобетонной смесью в этих местах смесь вытечет и нарушатся геометрические размеры пзделий. Скобы для траверс приваривают к поддонам. Толщина скобы должна быть не менее 12 мм.

При подготовке форм псобходимо соблюдать следующие правила. При раскладке их в заливочном отделении, а также при штабелировании необходимо следить за тем, чтобы формы опирались на четыре точки во избежание искривления. До заполнения форм газобетонной смесью их очищают, смазывают внутреннюю поверхность и собирают. Для очистки форм применяют металлические приводные скребки, щетки и сжатый воздух.

Для смазки используют петролатумно-керосиновую смесь (1:2 или 1:3), солидоло-керосиновую смесь (1:1), автол, веретенное и другие машинные масла в смеси с керосином (1:1). Смазывают формы пневматическими распылителями. Толщина слоя должна быть 0,2—0,4 мм. Петролатум разогревают до температуры 60—80° С в ванне с паровой рубаникой до капельно-жидкого состояния и при легком помешивании вливают керосин.

При сборке форм устанавливают гребуемые закладные детали и арматурные каркасы в соответствии с просктом на изделия. Перед укладкой в формы арматурные каркасы и закладные детали покрывают антикоррознонными обмазками в соответствии с инструкцией СН 277-70. По опыту свердловского завода «Стройдеталь-70»

целесообразно антикоррозионное у ементно-битумное покрытие наносить на арматурные каркасы с помощью краскораспылителей в электростатическом поле высокого напряжения. Нанесение осуществляется в специальной камере, в которую подаются арматурные каркасы в подвешенном состоянии. Электростатическое поле в камере создается генератором марки ЭРГ-150. Из камеры электроокраски арматурные каркасы поступают в сушильную камеру, где производится их сушка при температуре 40—50° С.

Подготовленные под заливку формы устанавливают в формовочном отделении с обеих сторон по пути движения газобетономешалки. Формы заполняют газобетонной смесью на определенную высоту с таким расчетом, чтобы после окончания вспучивания они были заполнены полностью. Высота заполнения форм смесью зависит от объемного веса газобетона. При изготовлении изделий малого объемного веса требуется заполнить формы смесью на меньшую высоту и наоборот.

Высоту заполнения формы газобегонной смесью опре-

деляют по формуле

$$h = 1.2 h_0 \frac{\gamma_{\rm CM}}{\gamma_{\rm P}} \,, \tag{11}$$

где h — высота заливки газобетонной смеси в форму в c m; h_0 — высота формы в c m; $\gamma_{\rm CM}$ — объемный вес газобетонной смеси в $\kappa z/m^3$; $\gamma_{\rm p}$ — объемный вес раствора без газообразователя в $\kappa z/m^3$.

Для того чтобы вспучивание смеси протекало нормально, температура окружающей среды должна быть не ниже 20°С. С этой целью помимо установки отопительных приборов в формовочном отделении прокладывают тепловые регистры в местах раскладки форм под заливку. При таких условиях продолжительность выдерживания форм, заполненных газобетонной смесью до срезания «горбушки», составляет 3—4 ч. После окончания срока созревания газобетона срезают «горбушку» и формы укладывают на вагонетки. Вагонетки с изделиями перемещают в автоклав плавно, без толчков. Для этого рельсовые пути должны быть тщательно очищены, стыки рельсов подогнаны и выверены.

В настоящее время на заподах яченетого бетона, особенно в зарубежных странах, инпроко применяется резагельная гехнология формования изделий. По этой технотогии на заполах используются формы одного размера,

например, в зарубежной практике чаще всего формы размером 0,6×1,5×6 м. Отформованный в них ячеистый бетон, обладающий в первые часы схватывания и твердения небольшой прочностью, разрезается до автоклавно? обработки на изделия нужных размеров. Для разрезки чаще всего используются проволоки (струны). При вертикальной разрезке получаются плиты шириной 0,6 л и длиной 6 м и различной толщины в зависимости от шага струн. При горизонтальной разрезке получаются плиты шириной 1,5 м и длиной 6 м различной толщины. При разрезке отливки шириной 1,5 м и длиной 6 м различной толщины вертикальными струнами вдоль и поперек получаются мелкие блоки (камни) длиной, равной высоте (толщине) отливки. Для разрезки применяются резательные машины различных систем. В последнее время применяются машины, способные разрезать отливки высотон 1,2 м и более.

При резательной технологии обеспечивается высокая точность размеров и прямолинейность граней изделий; поверхности изделий получаются ровными без маслянис тых пятен; заполнение автоклава повышается, снижается металлоемкость производства, резко уменьшается количество ручных операций.

В СССР разработана новая технология получения газобетона с применением комплексной вибрации на стадиях приготовления ячеистой смеси и формования. Технология предложена и разработана ВНИИСтромом, ВНИИЖелезобетоном, ВЗИСИ, МИСИ им. В. В. Куйбышева и Рижским политехническим институтом. По этой технологии осуществляется вибрирование смеси в процессе ее приготовления в вибросмесителях, а также после заливки в формах на специальных виброплощадках. Исследованиями, проведенными в указанных научно-исследовательских институтах [23, 40, 45], определены оптимальные технологические параметры по вибрационной технологии для получения крупноразмерных газобетонных изделий с применением различных вяжущих и кремнеземистых компонентов. Установлено, что вибрационное воздействие при изготовлении ячеистых смесей способствует увеличению поверхности взаимодействия частиц сырьевых компонентов, интенсифицирует процессы гидратации вяжущего и сокращает длительность газовыделения.

Особенности структурообразования в ячеистых смесях при вибротехнологии позволили в производственных усло-

виях значительно сократить длительность вызревания отформованных изделий, и наряду с этим стало возможным осуществить перемещение форм сразу же после окончания вспучивания. Изготовление изделий по этой технологии позволяет приготавливать смеси с пониженным количеством воды затворения и получать газобетон с улучшенными физико-техническими свойствами.

К преимуществам этой технологии следует также отнести значительное сокращение времени выдержки изделий до автоклавной обработки, возможность применения конвейера при формовании излелий, что уменьшает потребность в производственных площадях формовочного

отделения.

Автоклавная обработка изделий

Тепловлажностная обработка завершает технологический процесс производства изделий из ячеистого бетона. Установление оптимального режима запаривания — важнейшая задача, так как мощность заводов определяется в значительной степени производительностью автоклавов. С. А. Мироповым и другими авторами установлено, что при назначении оптимальных режимов запаривания газобетонных изделий необходимо также учитывать физические процессы, которые происходят на отдельных стадиях автоклавной обработки [22, 37, 46, 53, 54].

По А. В. Волженскому, автоклавная обработка проис-

ходит в три стадии.

В первой стадии запаривания, при повышении температуры в автоклаве, отформованное изделие, обладающее незначительной прочностью, подвергается воздействию ряда физических процессов, которые при известных условиях могут привести к нарушению структуры и пони-

жению прочности газобетона.

В начале запаривания, при пуске пара, одновременно с повышением температуры происходит дополнительное пасыщение газобетона влагой за счет конденсации насыщенного пара при соприкосновении его с поверхностью изделия, температура которого значительно ниже. В дальпейшем, при температуре среды автоклава выше 100° С прогрев изделия значительно ускоряется, что сопровождается упеличением влажности газобетона и перспада температур по сечению изделия.

Повышение температуры приводит к нарастанию линейных деформаций, которые стабилилируются в начале

изотермической выдержки. Прочность газобетона на этой стадии запаривания незначительна и не превышает 5--10% конечных значений.

Форсированный подъем давления пара в автоклаве с предварительным удалением из него воздуха, а также уменьшение общей продолжительности первой стадии запаривания предотвращают развитие деструктивных процессов, способствуют ускорению прогрева изделий и приводят к уменьшению суммарных деформаций газобетона.

Во второй стадии происходит выравнивание температур по сечению изделия. Решающим фактором, влияющим на ускорение этого процесса, является продолжительность подъема давления пара в первой стадии запаривания (табл. 6).

Когда температура газобетона достигает максимальных значений (не менее 174° С), происходит интенсивное взаимодействие вяжущего кремнеземистым компо-

Таблица 6 Продолжительность прогрева газобетонных изделий объемного веса 750 кг/м3 в процессе запаривания

ремя подъе- ма темпера- туры в авто- клаве до	пуска за ко полн	Время в 4 с момента пуска пара в автоклав за которое происходит полный прогрев изделия толщиной в мм							
180° C B ¥	100	300							
1 2 4 6 8	2 2,5 4,5 6,5 8,5	5 5,5 7 8,5 10	6,5 7 8,5 10 11,5	9,5 10,5 12 13 14,5					

нентом с образованием гидросиликатов кальция и других цементирующих новообразований. В результате прочность газобетона возрастает. При этом наружные и близлежащие к ним слои вследствие более быстрого прогрева по сравнению с центральными слоями газобетона значительно раньше приобретают максимальную прочность.

Через определенное время после полного прогрева изделня в зависимости от вида применяемого вяжущего газобетон приобретает примерно одинаковую прочность по всему сечению. На этой стадии автоклавной обработки деформации расширения от воздействия температуры стабилизируются, несмотря на наличие градиента температур и продолжающийся прогрев изделия.

Наружные слои, которые уже к началу изотермической выдержки приобрели значительно большую прочность, продолжающую интенсивно нарастать со значительным опережением прочности внутренних слоев, как бы обжимают ядро изделия. Благодаря этому суммарные деформации в больших образцах имеют меньшие значения. Определенное влияние на уменьшение деформаций оказывает также форсированный подъем температуры в первой стадии запаривания. На второй стадии автоклавной обработки происходит также изменение веса газобетона за счет испарения свободной воды. Этот процесс особенно интенсивно протекает в первые часы изотермической выдержки, когда происходит прогрев бетона по всему сечению. Воздух, заполняющий поры газобетона, при нагревании расширяется, увеличивается в объеме и создает избыточное давление по отношению к среде автоклава.

Для получения изделий с максимальной и одинаковой прочностью газобетона по всему сечению необходимо продолжительность изотермической выдержки устанавливать в зависимости от толщины изделия, объемного веса газобетона и вида вяжущего, а также длительности первой

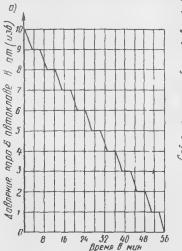
стадии запаривания.

Для уменьшения влажности ячеистого бетона рекомендуется в процессе изотермической выдержки применять иасыщенный пар в сочетании с перегретым. Перегретый пар с температурой до 350° С подается в автоклав за 3—4 и до окончания продолжительности изотермической выдержки. При этом соблюдается условие, чтобы давление пара в автоклаве не повышалось, для чего производится по мере необходимости частичный перепуск пара в другой автоклав.

На третьей стадии запаривания, при снижении давления и температуры в автоклаве, изделие продолжает подвергаться сложным воздействиям среды, физические свойства которой непрерывно изменяются. При снижении давления размеры образцов уменьшаются, приближаясь к первопачальным. Одновременно влага, находящаяся в порах газобетона, оказывается перегретой. Вследствие этого возникает перепад давления и по всему объему изделия начинается интенсивное испарение воды

В производстве изделий из газобетона очень важно установить оптимальные нараметры снижения давления пара. Для увеличения оборачиваем сти автоклавов и форм целесвобразно, чтобы эта стадия запаривания завершалась в возможно более короткий срок. Вместе с тем

вследствие образования большого количества пара, перемещающегося по порам и капиллярам бетона, быстрое снижение давления в автоклаве может привести к возникновению напряжений, превышающих прочность бетона. Чтобы предотвратить образование трещин на этой стадии, К. Э. Горяйнов и И. Б. Заседателев [24] рекомендуют снижать давление таким образом, чтобы объем пара, выходящего из изделия, в течение всего периода был одинаковым. Необходимо учитывать, что если І кг испаряющейся влаги при давлении 8 ат (изб.) занимает объем около 0,23 м³, то при давлении пара 1,5 ат (изб.) объем



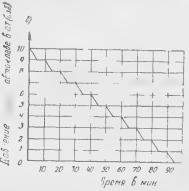


Рис. 11. Графнки снижения давления пара по ступенчатому режиму

a — для крупноразмерных изделий толщиной 200—240 мм; δ — то же, толщиной 300 мм

составляет уже около 1,3 м³, т.е. почти в 6 раз больше. Следовательно, наиболее опасна конечная стадия удаления пара из автоклава. Учитывая, что испарение происходит не с открытой поверхности, а по всей толщине изделия и что паропроводность ячеистого бетона невысока, при непрерывном уменьшении давления в автоклаве пар будет постепенно накапливаться в изделии, создавая перепад давления, который по мере снижения давления в автоклаве будет возрастать. При определенных условиях напор пара в изделии вызовет большие напряжения растяжения, способные разрушить структуру газобетона. Это происходит в заводской практике при автоклавной обработке крупноразмерных изделий голщиной 240—

Таблица 7 Оптимальные режимы запаривания изделий из ячеистого бетона

		Про сол	жительн	ость пері	тода в ч	0 39
II отелия	Толщина в мм	полъем давления до 10 <i>ат</i> (н36.)	вылержка при 10 см (н36.)	сиижение давления до атмосферного по ступенчатому режи- му	вакуумирование автоклава	Общая продолжитель» ность запаривания в ч
Панели объемного веса 600-800 кг/м³ степ жилых и промышленных зданий , , ,	200 240 300		8	1 1 1,5	I 1 1	10 11 13,5
Теплонзоляционные из- делня объемного всел 400—500 кг/м ³	100 200 300	l 1 I	5 6 8	0,5 1,5	1	7,5 9 11,5

Примечания: 1. Для автоклавов с давлением пара 8 $a\tau$ продолжительность изотермической выдержки увеличивается на 1 u, а с давлением пара 12 $a\tau$ уменьшается на 1 u. Для газошлакобетона продолжительность изотермической выдержки увеличивается на 2 u.

2. Графики синжения давления по ступеичатому режиму за 1 и 1,5 ч при-

ведены на рис. 11.

300 мм, если не соблюдается режим снижения давления

пара.

Для резкого сокращения продолжительности третьей стадин автоклавной обработки применяется ступенчатый режим снижения давления пара в автоклаве. Продолжительность сброса на одну ступень, равную 1 ат, устанавливается с учетом объемного веса и размера изделия. Перед каждым последующим снижением на 1 ат производится выдержка, за время которой перепад давления, возникающий по сечению изделия, уменьшается или имеет тенденцию к значительному снижению. При таких условиях снижение давления на каждой последующей ступени не вызывает увеличения критического перепада давления и образования внутри газобетона напора пара, снособного нарушить структуру газобетона.

При назначении ступенчатого режима снижения давления нара (рис. 11) для круппоразмерных изделий толщиной 200—300 мм из газобетона объемного веса 600—800 $\kappa s/m^3$ необходимо, чтобы критический перепад давления (КПД) удовлетворял условию: КПД \leqslant 1,2 $\alpha \tau$. Для аналогичных изделий из конструктивного газобетона объемного веса 900—1000 $\kappa s/m^3$ КПД \leqslant 1,5 $\alpha \tau$.

После снижения давления производится вакуумирование автоклава по способу МИИТа до остаточного давления 150 мм. рт. ст. — при этом влажность ячеистого бегона уменьшается на 7-5%, температура снижается до 60° С.

Рекомендуемые оптимальные режимы автоклавной обработки различных изделий из ячеистого бетона приведены в табл. 7. После автоклавной обработки изделия извлекаются из форм и подвергаются соответствующей отделке согласно рекомендациям СН 277-70.

4. ДЕИСТВУЮЩИЕ ПРЕДПРИЯТИЯ И ПРОЕКТЫ ТИПОВЫХ ЗАВОДОВ ЯЧЕИСТОГО БЕТОНА

Начиная с 1960 г. в нашей стране получили развитие заводы по производству изделий преимущественно из газобетона взамен пенобетона. Первым большим предприятием по выпуску крупноразмерных изделий из газобетона явился Новосибирский завод мощностью 40 тыс м³ в год.

В основу производственного процесса положена технологическая схема изготовления газобетопных изделий на смешанном вяжущем (цемент и молотая известь-кипелка). Полученный в мельнице шлам перекачивается пневматическими камерными насосами СМ-550 по трубопроводам в нижние бассейны емкостью 28 м³ каждый. В бассейнах установлены шламмешалки и подведен сжатый воздух, который способствует получению смеси постоянного объемного веса. Из этих нижних бассейнов шлам перекачивается в верхние (расходные). На каждый смесительный агрегат имеется по два бассейна, используемых поочередно; пока из одного бассейна расходуется шлам, в другом производится его корректировка в соответствии с заданными объемным весом и температурой. Подача шлама в газобетономешалку регулируется объемным дозатором. На этом же дозаторе смонтирована пропеллерная мешалка смкостью 20 л для приготовления

водной суспензин алюминиевой пудры, которая по отдельному трубопроводу поступает в газобетономешалку.

Цемент со склада подается пневмотранспортом в рас-

ходные бункера смесительного отделения.

Комовая известь поступает на прередьсовый склад завода и оттуда по подземной галерее—в цех помола извести. Здесь ее дробят, а затем измельчают в шаровой мельнице CM-14 совместно с песком (соотношение 1:0.25).

Молотая известь-кипелка системой шнеков и элеваторов направляется в расходный бункер смесительного отделения. Цемент и молотая известь-кипелка из автоматического весового дозатора ДП-1200 поступают через сборную воронку в газобетономещалку. Туда же дозируется двуводный гипс для регулирования газоудерживающей способности смеси. Смесь приготовляется в передвижной газобетономещалке емкостью 4,5 м³.

В пол формовочного отделения вмонтированы регистры, по которым проходит подогретая вода. Выдерживание форм на теплом полу улучшает условия вспучивания и схватывания газобетонной смеси. В каждом пролете формовочного отделения имеется мостовой кран грузсподъемностью 5 т. Он используется для установки форм под заливку. Этот же кран комплектует составы вагонеток с формами для последующей автоклавной обработки пзделий.

Выдержка отформованных газобетонных изделий перед автоклавной обработкой длится 4 ч. После этого составы из трех вагонеток (по четыре формы на каждой) при помощи реверсивного толкателя подаются на электропередаточный мост СМ-546 для загрузки в автоклавы. На заводе установлено семь непроходных автоклавов СМ-545 диаметром 2,6 и длиной 19,1 м с быстрооткрывающимися крышками. После тепловлажностной обработки изделия паправляют на склад готовой продукции, где производят распалубку форм и отделку папслей.

В главном производственном корпусе находятся помольное, смесительное, формовочное и автоклавное отделения. К нему примыкает крытый склад готовой продукции с номещением для нанесения антикоррозионной обмалки на армагурные каркасы, для распалубки и отделки изделии. Известково-помольное отделение и склад комонон и вести расположены отдельно вблизи главного корнуса.

Предприятие размещено на территории действующего завода железобетонных изделий. Это позволяет пользоваться для хранения цемента и песка имеющимися складами, а также коммуникациями, снабжающими производство паром, водой и электроэнергией.

Трестом Тагилстрой построен газобетонный завод, технологическая схема которого представлена на рис. 12.

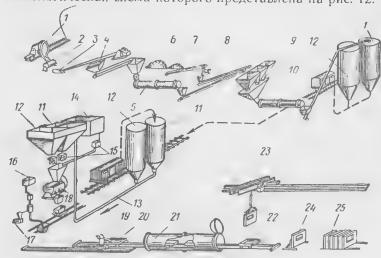


Рис. 12. Технологическая схема изготовления стеновых панелей из автоклавного газошлакобетона

1— шлаковозный ковш; 2— грануляционный барабан; 3— скреперная установка; 4— бункер с решеткой; 5— сушильный барабан; 6— известь; 7— гипс; 8— дробилка для извести и гнпса (щековая); 9— тарельчатые питатели; 10— мельница; 11— известко-о-шлаковый порошок; 12— зола ТЭЦ; 13— пневмотрубопровод; 14— вода; 15— дозаторы; 16— сульфитно-спиртовая барда; 17— весы для алюминневой пудры; 18— растворомещалка; 19— мешалка раздатчик; 20— вагонетка с формой; 21— автоклав; 22— место распалубки изделий; 23— мостовой кран; 24— участок отделки изделий; 25— склад готовой продукции

Изделия изготовляют из газоплакозолобетона без применения клинкерного цемента. Исходными материалами для получения газошлакозолобетона являются: известково-шлаковый порошок, зола-упос, газообразователь п вода.

Состав известково-шлакового порошка в %: гранулированного доменного шлака 85; извести-кинелки 10; гипса двуводного 5. Химический состав используемых доменных шлаков и золы-уноса приведен в габл, 8.

Таблица 8

Химический состав доменного шлака Нижне-Тагильского металлургического комбината и применяемой золы-унос в %

Мате- рилл	SiO,	AI ₂ O ₃	Fe ₂ O ₂	C-10	MgO	МпО	FeO	S	SO ₃	Мо- дуль ос- пов- ности	П.п.
Домен- ный шлак	37, 18	15,85		.18, 16	6,21	0,7	0, 11	0, 181		0,837	
Зола- унос	53,08	28,75	9,73	3,66	2,46	_	-	_	0,9		1,11

11 звестково-шлаковый порошок размалывают до тонкости помола, характеризующейся остатками на сите 0,2—0%, а на сите 008—12%. Начало схватывания 1 ч 40 мин, а конец схватывания — 5 ч 5 мин.

В процессе освоения производства, которое осуществлялось НИИЖБ в содружестве с трестом Тагилстрой, был установлен следующий расход материалов на 1 м³ газозолошлакобетона (табл. 9).

Таблица 9 Расход материалов на 1 м³ газозолошлакобетона в кг

Материал	Объемный в	ес газошлакобетопа в кг/м³
	800	1000
Доменный молотый шлак	50 16 270	493 58 25 397 0,34

На этих составах изготавливают различные виды изделий, в том числе папели для жилищного строительства размером «на компату».

В 1965 г. вступили в строй 10 круппых заводов ячеистого бетона, технологическое оборудование для которых ноставлено из Польской Народной Республики. Проектная производительность каждого завода 185 тыс. м³ в год. Несмотря на то, что заводы в основном предназначались

для изготовления мелких блоков, был освоен выпуск гапелей стен промышленных зданий размером $6 \times 1,5$ м и различных крупноразмерных изделий для ограждающих конструкций жилых и промышленных зданий. Ча этих заводах предусмотрено изготовление изделий по различным технологическим схемам.

На рис. 13 показан завод ячеистого бетона, предназначенный для выпуска газозолосиликатных изделий.

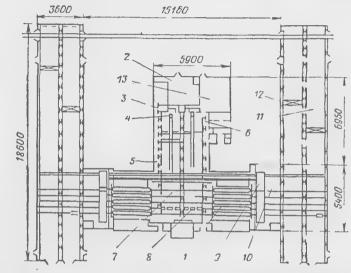


Рис. 13. Завод ячеистого бетоиа производительностью 185 тыс. M^3 в год

I— автоклавы; 2— шаровые мельницы; 3— приготовление эмульсии; 4— самоходные газомещалки-раздатчики; 5— посты формовки; 6— пере работка отходов; 7— реалегльные машины; 8— автоклавные тележки; 9— электропередаточные тележки; 10— разгрузочное отделение; 11— склады готовой продукции; 12— мостовые краны; 13— арматурное огделение

Золу-унос из электрофильтров ТЭЦ перекачивают по пневмозолопроводу на расстояние 800 м на завод ячеистого бетона. Примерно 1/3 используемой золы размалывают в трехкамерных шаровых мельпицах вместе с негашеной известью. Первичная известково-зольная смесь содержит 24—28% активной извести. Удельная поверхность продукта помола колеблется от 5000 до 6000 см²/г. После перемешивания в гомогенизаторах с остальной частью немолотой золы получается смесь извести и золы

в соотношении 1:3 или 1:4 в зависимости от качества

сырья.

Яченстую смесь приготовляют в самоходной лопастной газобетономешалке вертикального типа полезной емкостью около 4,6 м³. Температура газозолосиликатной смеси при заливке составляет 40—50° С, диаметр расплыва смеси 16—18 см (в зависимости от свойств извести). Автоклавная обработка изделий производится при

давлении пара 12 ат (изб.).

Гипростромом с участием Гипростроммаша, Промстройпроекта и другими проектными огранизациями был разработан ряд типовых решений технологических линий, размещаемых в унифицированных пролетах размером 144× Х18 м. Из этих пролетов в зависимости от конкретных условий можно создавать как самостоятельные, так и сблокированные с производством железобетонных изделий цехи и заводы ячеистого бетона. Опыт привязки таких пролетов показал, что по технико-экономическим показателям они несколько уступают узкоспециализированным заводам. Для районов с большим сосредоточенным строительством Гипростромом в содружестве с научно-исследовательскими и специализированными машиностроительными институтами созданы типовые проекты заводов ячеистого бетона моглностью 120 (шифр 404-10-4/70) и 220 (шифр 409-10-9/70) тыс. M^3 в год. Проектами предусматривается изготовление стеновых папелей, мелких блоков, а также изделий из плотного силикатного бетона [14].

Продукция завода мощностью 120 тыс. $м^3$ в год может обеспечить крупными панелями наружных и внутренних стен ежегодно сгроительство жилых домов общей площадью около 100 тыс. $м^2$ или стеновыми панелями для возведения промышленных зданий производственной площадью до 500 тыс. m^2 в год. Главный корпус завода производительностью 120 тыс. m^3 размещен в трехпролет-

ном здании размером в плане 204 х 54 м.

Для завода производительностью 220 тыс. M^3 (рис. 14) принято пятипролетное здание размером в плане 192 \times 90 м. Помольное отделение сблокировано с главным производственным корпусом. Технология производства изделий из ячеистых бетонов базируется на применении комплексной вибрации при приготовлении смесей и формовании изделий. Для получения газобетона предусматривается использование трехкомпонентного вяжущего,

изготовляемого путем совместного помола извести, песка и цемента до удельной поверхности $5000~cm^2/a$ в двухкамерных шаровых мельницах размером $2 \times 10,5~m$. Из мельницы после помола вяжущее поступает для усреднения в гомогенизаторы, откуда камерными насосами подается в расходные бункера смесительного отделения. В качестве

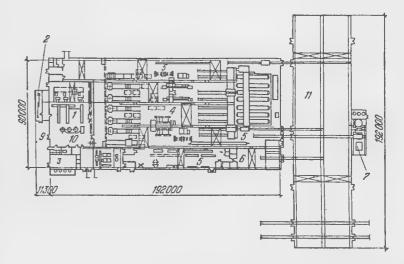


Рис. 14. План производственного корпуса типового завода (шифр $409 \cdot 10 \cdot 9/70$)

1 — помольное отделение;
 2 — отделение гомогенизации;
 3 — компрессорная;
 4 — формовочно-запарочное отделение;
 5 — отделение складирования панелей;
 6 — механическая мастерская;
 7 — арматурное отделение;
 8 - участок для нанесения антикоррозийной обмазки;
 9 — участок для приготовления эмульсионной смазки пля форм;
 10 — участок для приготовления эмульсионной смазки пля форм;
 11 — склад готовой продукции

кремнеземистого компонента применяется песок, который подвергается мокрому помолу до удельной поверхности 2000—2500 см²/г. Для стабилизации шлама при помоле песка вводится до 3% извести. Песчаный шлам подыт в шламбассейны, оборудованные соответствующими перемешивающими устройствами, и, после его корректировки, камерными насосами подают в расходные баки, установленные в смесительном отделении. В типовых проектах предусмотрена автоматизация процессов переработки сырья, гомогеннзации вяжущего и дозирования материалов. Алюминиевая суспензия с добавкой ПАВ приготов-

ляется в отдельном номещении и насосами перекачивается в соответствующие дозаторы смесительного отделения.

Для формования изделий в формах большой емкости приготовление газобетонной смеси осуществляется в виброгазобетономешалке емкостью 5 м³. Для загрузки компонентов Гипростромом разработаны специальные весовые дозаторы с большим объемом дозирования с тензометрическим устройством. Управление дозировочным узлом производится в автоматическом режиме с пульта управления, расположенного в отдельном помещении.

Изделия формуют в металлических формах емкостью до 5,4 M^3 , установленных на виброплощадках с горизонтально направленными колебаниями. При изготовлении мелких блоков отливка поступает на резательную машину конструкции ВНИИСтроммаша и Гипрострома, которая

выпускается Минстройдормашем.

Арматурный цех оснащен современным оборудованием. Собранные пространственные каркасы на горизонтальных и вертикальных установках покрывают цементно-полистирольной антикоррозийной обмазкой. Нанесение антикоррозийной обмазки на каркасы и их сушка производятся на установке, размещенной в изолированном вентилируемом помещении.

Автоклавная обработка изделий осуществляется в автоклавах диаметром 3,6 м при избыточном давлении

нара 10 ат (изб.) с автоматическим управлением.

Большое внимание в проектах уделено отделке панелей на специальной конвейерной линии. Отделочных конвейеров два: первый используется для затирки и оснащения панелей столярными изделиями, второй — для покраски и нанесения гидрофобного покрытия на их поверхность. Операции по перемещению форм на конвейере полностью механизпрованы и автоматизированы.

Глава II ФИЗИКО-МЕХАНИЧЕСКИЕ СВОЙСТВА ЯЧЕИСТЫХ БЕТОНОВ

1. ОБЩИЕ СВЕДЕНИЯ

Физико-механические характеристики ячеистых бетопов определяют область их целесообразного использования в практике строительства. При установлении физикомеханических свойств бетона используют методику ГОСТ 12852—67 [25].

Для испытания ячеистых бетонов из готовых изделий или контрольных неармированных блоков выпиливают или высверливают контрольные образцы: кубы, цилиндры, призмы. В случае необходимости можно испытывать контрольные блоки или изделия в натуральную величи-

ну [26—29].

Контрольные образцы вырезают из изделий или блоков не ближе 2 *см* от их граней. Если толщина изделия менее 24 *см*, контрольные образцы берут только из

средней части.

Прочность и деформации ячеистых бетонов при кратковременном и длительном действии нагрузки определяют на призмах размерами $10 \times 10 \times 30$; $15 \times 15 \times 60$ и $20 \times 20 \times 80$ см, выпиленных из неармированных блоков пли отформованных в металлических формах. Призмы $10 \times 10 \times 30$ см, как и контрольные кубы с ребром 10 см, неред испытаниями высушивают до постоянного веса, а призмы больших размеров испытывают при естественной влажности в возрасте 28 суток и более.

Сопротивление ячеистых бетонов осевому растяжению определяют испытанием кубов или цилиндров, высущенных до постоянного веса, либо специальных призм или «восьмерок», а сопротивление изгибу и срезу—соответственно испытанием балок и призм специальной

конфигурации.

2. ФИЗИЧЕСКИЕ СВЭЙСТВА ЯЧЕИСТЫХ БЕТОНОВ

Объемный вес ячеистого бетона является одной из важнейших его характеристик и в значительной мере определяет и другие физико-механические свойства. Объемный вес ячеистого бетона зависит от удельного веса строительного раствора межлоровых стенок, количества пор (пустот), образовавшихся в результате введения в строительный раствор пустогообразователя (пены или газа) и от водовяжущего отношения. Чем больше при изготовлении смеси введено газа (пены) и чем выше ее водовяжущее отношение, тем меньше объемный вес ячеистого бетона.

Для ограждающих конструкций зданий (наружных стен, покрытий), которые должны обеспечивать достаточную теплоизоляцию, целесообразно применять ячеистые бетоны малого объемного веса, а для межквартирных перегородок и межэтажных перекрытий, где требуется повышенная звукоизоляция, — большего объемного веса.

В настоящее время ячеистые бетоны изготовляют объемным весом в сухом состоянии $\gamma_c = 300 \div 1200~\kappa e/m^3$. По области применения их подразделяют на следующие группы:

теплоизоляционные — объемным весом от 300 до $400~\kappa s/m^3$;

конструк гивно-тенлоизоляционные — объемным весом от 500 до 900 $\kappa z/m^3$;

конструктивные — объемным зесом от 1000 до $1200~\kappa s/m^3$.

Приведенные значения объемного веса γ_c являются средними, отклонения от этих значений не должны превышать $\pm 50~\kappa s/m^3$.

В пормативных документах кроме средних значений γ_c яченстых бетонов (иногда необоснованно называемых максимальными) приведены необходимые для проектирования зданий нормативные значения объемного веса γ_n , учитывающие естественную влажность бетона в момент отпуска с завода, которая достигает 15—25% и более, и ориентировочный вес арматуры в изделиях.

Кроме того, яченстые бетоны делятся на классы A и Б. К классу A относятся яченстые бетоны автоклавного

твердения, а к классу Б — безавтоклавного, а также автоклавного твердения, но изготовленные на заводах, где технология производства недостаточно освоена. Подразделение ячеистых бетонов на классы определяется кубиковой прочностью бетона при заданном объемном весе (см. ниже).

Нормативные значения объемного веса ячеистых бетонов, используемые для определения собственного веса конструкций при их расчете на прочность и жесткость, приведены в табл. 10.

Таблица 10 Нормативные значения объемного веса ячеистых бетонов ь конструкциях

Конструкции	H	Нормативные значения объемного веса $\gamma_{\rm H}$ в $\kappa z/M^3$ при среднем объемном весе $\gamma_{\rm C}$ в $\kappa z/M^3$										
	300	400	500	600	700	800	900	1000	1100	1200		
Бетонные: класса А » Б	350 400	450 550	600 700	700 850	850 950	950 1100	1100 1200	1200 1300	1300 1450	1450		
Железобетон- ные: класса А » Б	-	_	650 800	800 950	950 1050	1050 1200	1200 1300	1300 1400	1400 1550	1550		

Удельный вес межпоровой стенки ячеистых бетонов γ_y меняется в зависимости от исходных материалов в пределах от 2000 до 2700 $\kappa z/m^3$. Для отечественных ячеистых бетонов на золе $\gamma_y = 2000 \ \kappa z/m^3$, а на кварцевом песке — 2700 $\kappa z/m^3$ [30, 49]; для шведских ячеистых бетонов $\gamma_y = 2500 \ \kappa z/m^3$ [88]; для венгерских $\gamma_y = 2350 \div 2650 \ \kappa z/m^3$ [70].

Плотность, пористость и структура. Строительные свойства ячеистых бетонов в значительной степени определяются относительной плотностью или пористостью материала.

Под относительной плотностью бетона d_n понимают отношение объемного веса в сухом состоянии γ_c к удельному весу γ_v . У пористых материалов, к которым относятся яченстые бетоны, всличина относительной плогности d_n меньше единицы, так как $\gamma_c < \gamma_v$.

Пористость количественно определяется объемом пор в единице объема ячеистого бетона.

Показатель истинной (общей) пористости $\Pi_{\mathbf{H}}$ характеризуется полным объемом открытых и закрытых пор в единице объема; эту величину вычисляют по формуле

$$\Pi_{\rm H} = \left(1 - \frac{\gamma_{\rm c}}{\gamma_{\rm y}}\right) 100\%. \tag{12}$$

Показатели истинной пористости $\Pi_{\rm H}$ ячеистого бетона в зависимости от объемного и удельного весов приведены в табл. 11.

Таблица 11 Показатели истинной пористости ячеистого бетона

Яченстый бетон]	Пстинная пористость в % при объемном весс бетона в кг/м3									Лнтера- турн≡й источник
	300	400	500	600	700	800	900	1000	1100	1200	Лнтер турн≡ источ
На кварцевом песке, үу= = 2500 кг/м³	88	84	80	76	72	38	64	60	56	52	[49]
То же, $\gamma_y = 2700 \ \kappa \epsilon / M^3$	89	85	82	78	74	70	67	63	59	55	[30]
На золе, γ _y = =2000 кг/м ³ На цементе н	85	80	75	70	65	60	55	50	45	40	[49]
кварцевом песке, уу= = 2650 кг/м ³ На извести и кварцевом	89	85	81	77	74	70	66	62	59	55	[70]
песке, уу= = 2350 кг/м ³	87	88	79	74	70	รร	62	58	53	49	[70]

Показатель минмой (открытой; пористости $\Pi_{\rm M}$ яченстого бетона характеризуется суммарным объемом открытых пор в единице объема материала. Этот показатель устанавливают путем насыщения сухого яченстого бетона водой и значение его вычисляют по формуле

$$\Pi_{\rm M} = \frac{G_{\rm B} - G_{\rm c}}{V} 100\%, \tag{13}$$

т те G_n — нес обраща после насыщения подой и e; V_{-} объем образильного до постоянного веся, в e; V_{-} объем образильного v

Показатели мнимой пористости зависят от способа насыщения ячеистого бетона водой (погружение в холодную воду, кипячение в воде и т. д.).

Для данного вида ячеистого бетона показатель открытой пористости по величине всегда меньше истинной пористости $\Pi_{\rm M} < \Pi_{\rm H}$.

Замкнутая пористость может быть определена как разность истинной и открытой пористости:

$$\Pi_{\rm s} = \Pi_{\rm H} - \Pi_{\rm M}. \tag{14}$$

Структура ячеистого бетона не однородна. Затвердевший ячеистый бетон состоит из замкнутых или открытых макропор и межпоровых стенок, содержащих в свою очередь микропоры и микрокапилляры. На строительные свойства ячеистого бетона оказывают большое влияние размеры пор и их однородность, толщина и свойства межпоровых стенок.

В структуре отечественных ячеистых бетонов макропоры имеют круглую и эллиптическую неправильную форму с рваными краями; часто встречаются цепочки из 2—3 пор длиной 5—6 мм [49]. Структура шведских ячеистых бетонов состоит из круглых закрытых макропор диаметром 0,5—1,55 мм, разделенных межпоровыми стенками; межпоровые стенки пронизаны микропорами, имеющими диаметры, меньшие, чем макропоры [88]. Микропоры, как правило, являются открытыми и обеспечивают связь между макропорами.

Исследования показали, что прочность бетона зависит не только от численной величины пористости, но и от равномерности распределения пор по сечению, толщины и прочности межпоровых степок, одпородности пор п степок. Можно полагать, что прочность яченсгого бетона при сжатии выше у тех образцов, у которых структура более равномерная.

Размеры макропор некоторых видов ячеистых бетонов приведены в табл. 12; в исй средние днаметры макропор $d_{\rm cp}$, средние квадратические отклонения в размерах макропор σ_d и коэффициенты вариации (изменчиюсти) размеров макропор C_n^d вычислены по формулам:

$$d_{\rm cp} = \frac{\sum n_l \, d_l}{n};\tag{15}$$

12
0
Ħ
22,
F,
V
EQ.
[

	Размеры макропор яченстых бетонов и показатели их изменчивости	пор ячеистых	бетонов и по	казатели их	с изменчив	ости	Габлица	ипа 12
Матервал	Шифр образца	Yc, Ke/Ms	Rc' Kec/cm ²	дмин, жи	d _{MRH} , MM d _{Make} , aM dep, MM	dcp, M.M	Од, жж	C_v^d
	(ПБ-14	475	39.2	0,2	4,	0,364	0,246	0.7
Пенобетон .	IIB-26	1040	107	0,1	0,5	0,188	0,141	0,75
Пеносилнкат .	ПС-18	490	37,6	0,2	8,0	0,275	0,133	99'0
	(TB-15	815	83,4	0,2	2,2	0,607	0,468	0,77
Газобетон "	(rb-11	1000	84,1	0,2	1.2	0,435	0,294	0,55
	, rc-201	006	50,8	0,2	2,2	0,556	0,493	0,88
	rc-210	1185	105,8	0,2	1,2	0,503	0,267	0,55
І азосиликат	rc-20	1085	180,7	0,2	1,4	0,326	0,156	0,48
	(rc-42	400	22,3	0,2	2,2	0,736	0,437	9,0
Газозолосиликат,	F3C-4	400	15	0,2	1,6	0,65	0,476	0;73

$$\sigma_d = \sqrt{\frac{\sum n_l (d_l - d_{\rm cp})^2}{n}}; \tag{16}$$

$$C_v^d = \frac{\sigma_d}{d_{\rm cp}} \,, \tag{17}$$

где n — общее число пор; d_t — среднее значение днаметра пор по группе; n_t — число пор, входящих в данную группу.

Из приведенных данных видно, что нельзя установить четкой зависимости между прочностью при сжатии контрольных образцов-кубов и средним размером макропор $d_{\mathbf{cp}}$. В наших образцах размеры макропор колебались от 0,188 до 0,736 мм, причем меньшему размеру макропор не всегда соответствовала большая прочность при сжатии.

Основной причиной, из-за которой не было выявлено влияние размера макропор на прочность контрольных образцов-кубов при сжатии, по нашему мнению, следует считать неравнопрочность межпоровых стенок.

Коэффициент изменчивости C_v^d в наших опытах для отдельных образцов колебался от 0,48 до 0,88, составляя в среднем 0,67. Хотя меньшим значениям C_v^d , как это видно из табл. 12, в ряде случаев соответствуют большие значения прочности, все же установить четкой зависимости между C_v^d и R_c не удалось. Так, были случаи, когда при близких величинах C_v^d значения R_c резко отличались.

Ячеистые бетоны, изготовленные по вибротехнологии, имеют более равномерное распределение пор. Г. Я. Куннос [40] установил, что уменьшение C_v^d для вибрированного газобетона в 1,75 раза, по сравнению с обычным газобетоном, приводит к повышению прочности при сматии вибрированного бетона примерно в 2 раза.

По данным А. П. Меркина и А. П. Филина, коэффициент изменчивости диаметра пор C_v^d вибрированного газосиликата в 1,6 раза меньше, чем обычного, поэтому прочность при сжатии вибрированного газосиликата в 1,5 раза больше. А. П. Филин установил также, что с увеличением диаметра и изменчивости размеров макропор уменьшается прочность при сжатии ячеистого бетона.

Большинство работ, проведенных в области исследования структуры ячеистого бетона, было направлено на выявление размера и однородности макропор и их

влияния на прочность этого материала. Однако макропоры не оказывают решающего влияния на несущую способность яченстого бетона, и в связи с этим в последние годы больше внимания начали уделять прочности и деформативности межпоровых стенок-мембран, которые воспринимают все внешние воздействия (усилия).

Исследования В. А. Пинскера [61] показали, что прочность при сжатин яченстого бетога не зависит от днаметра пор, но связана с равномерностью их распределения; он также указывает на влияние сопротивления растяжению межпоровой стенки на прочностные показатели яченстого бетона.

А. Т. Барановым и Қ. И. Бахтияровым показано, что прочность яченстого бетона зависит от качества межпустотного материала и пористой структуры ячеистого бетона [6].

К. Э. Горяйнов [23] отмечает большое влияние межпоровых стенок-мембран на показатели прочности ячеистого бетона.

В ЦНИИСК и НИИЖБ для выбранных 10 образцов (см. табл. 12) были вычислены линейным способом толщины межпоровых стенок $\delta_{\rm cr}$ и величины изменчивости их размеров. Значения толщин межпоровых стенок, их средних квадратических отклопений $\sigma_{\delta_{\rm cr}}$ и коэффициентов вариации $C_v^{\delta_{\rm cr}}$, вычисленных по формулам, аналогичным формулам (15) — (17), приведены в табл 13. Как видно из этих данных, толщины межпоровых стенок в среднем колеблются от 0,16 до 0,6 мм; в отдельных образцах межпоровые стенки имели толщины от 0,05 до 1,8 мм.

Коэффициент изменчивости толщин межпоровых стенок колебался от 0,5 до 0,89, составляя в среднем $C^{\delta_{\rm CT}}_{\nu_{\rm BP}} = 0,71$. Вычисления показали, что максимальную прочность имеют те ячеистые бетоны, которые характеризуются минимальными $C^{\delta_{\rm CT}}_{\nu_{\rm BP}}$.

Из проведенного анализа макроструктуры некоторых видов яченстых бетонов следует, что предлагаемые разпиными исследователями модели рабочей структуры яченстого бетона с порами сферической, сотовой или иной формы при одинаковом размере макропор и межнороных степок несьма условны и значительно отличаются от действительной макроструктуры. Действительная

Q	размены толнии межпоровых стенок и показатели их изменчивости	межпоровых	: стенок и по	азатели и	х изменчи	вости		
Материал	Шифр образца	yc, Ke/M3	Rc, Kec/cm	ст.мнн,	6ст.макс.	oct.cp.	σ _{δcr} , мм	Cocr
	(IIB-14	475	39,2	0,05	9,0	0,363	0,298	0,8
Пенобетон	TIB-26	1040	107	60,0	0,3	0,158	960'0	0,61
Пеносиликат	ПС-18	490	37,6	0,05	9'0	0,289	0,232	0,8
	(FB-15	815	83,4	0,05	6.0	0,39	0,248	0,632
Газобетон	rb-11	1000	84,1	0,05		0,483	0,295	0,61
	IC-201	006	50,8	0,05	1.1	0,312	0,264	0,85
	CC-210	1185	105,8	0,2	1,3	0,577	0,348	9,0
Газосиликат		1085	180,7	0,05	1,2	0,358	0,179	0,5
	C-42	400	22,3	0,05	1,8	0,592	0,506	0,85
Газозолосиликат.	F3C-4	400	15	0,05	1,4	0,467	0,414	0,89
5				_				

Расчетная установившаяся (средняя) влажность ячеистых бетонов

	Расчетная у	устансэнвша (W _{р-Б}) в 9	яся средня (по весу)	я влажность
Яченстын бетон	для стен	для п	окрытий	для чердач-
	н между- этажных пс- рекрытий	вентили- руемых	иевснти- лируемых	ных перекрытий при вентилируемых чердаках
На заполнителях из кварцевого песка . Ил зольном заполни-	8	12	16	6
теле	15	1,)	25	10

форма макропор очень далека от сферической, сотовой или какой-либо другой правильной геометрической формы. Практически макропоры имеют разнообразную форму и размеры, которые не описываются геометриче-

Таблина 15

Водопоглощение ячеистых бетонов

£3	W,	%		4000
yc, Kel.	по 06ъе- му	по	л _и , %	Степень заполне- ния пор
300 400 500	21 23 26	70 57 52	88 84 80	24 27 32
600 700 800	28 30 33	47 43 41	76 72 68	37 41 48
900 1000 1100 1200	35 38 40 42	39 38 36 35	64 60 56 52	55 63 71 81
	400 500 600 700 800 900 1000 1100	300 21 400 23 500 26 600 28 700 30 800 33 900 35 1000 38 1100 40	300 21 70 400 23 57 500 26 52 600 28 47 700 30 43 800 33 41 900 35 39 1000 38 38 1100 40 36	300 21 70 88 400 23 57 84 500 26 52 80 600 28 47 76 700 30 43 72 800 33 41 68 900 35 39 64 1000 38 38 60 1100 40 36 56

скими фигурами правильной формы; это же относится и к межпоровым стенкам, толщина которых также непостоянна.

Влажность ячеистых бетонов оказывает большое влияние на их прочность, теплопроводность и другие свойства.

В зависимости от вида ячеистого бетона, его объемного веса и технологии изготовления влажность после автоклавной обработки колеблется в значительных пределах: от 20 до 40% (по весу). Применсние вибротехнологии позволяет снизить влажность бетона до 15—25% [23, 40].

В процессе эксплуатации элементы конструкций из иченстых бетонов постепенно высыхают. Через 1—2 года эксплуатации в нормальных условиях в ограждающих ячеистобетонных конструкциях устанавливается постоянная равионесная плажность, которая в среднем не превы-

шает значений, приведенных в табл. 14. Эту установившуюся влажность принимают за расчетную, которую надлежит учитывать при статических и теплотехнических расчетах.

Водопоглощение ячеистого бетона обусловливается его большой пористостью. Величину водопоглоще-

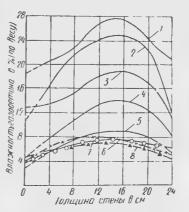


Рис. 15. Динамика изменения влажности в наружной стене на газобетона

1 — перед отправкой на монтаж;
 2 — через 1 месяц;
 3 — через 7 мссяцев;
 4 — через 10 месяцев;
 5 — через 18 месяцев;
 6 — через 5 лет;
 7 — через 6 лет;
 7 — через 7 лет

ния определяют по тем же формулам, что и влажность [25]. Показатели водопоглощения ячеистых бетонов приведены в табл. 15.

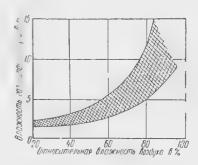


Рис. 16. Равновесная остаточная влажность газобетона при обычной температуре воздуха

Сорбционное увлажнение ячеистого бетона зависит в первую очередь от его структуры, вида, величины и расположения пор, а также от температурновлажностных условий окружающей среды. Подробно методика определения сорбционных свойств ячеистых бетонов описана в [25].

На рис. 15 показан характер изменения влажности наружной стены из газобетона в процессе эксплуатации жилого дома в Ленинграде [30], а на рис. 16 — диаграмма увлажняемости шведского газобетона в зависимости от относительной влажности воздуха [88].

Средние опытные значения сорбционной влажности яченстых бетонов в зависимости от их объемного веса и отпосительной влажности среды приведены в табл. 16.

Данные о сорбционной влажности разные исследователи приводят как в процентах по весу, так и по объему.

ү _с , ке/м³	W _{c.0} B %	6 по объему	у при относ: воздуха в %	ительной вл о	ажност
	40	60	80	97	100
300	0,7	1,1	1,5	2	3,
400	0,8	1,2	2	5	7,
500	1,4	1,8	2,9	6,2	9,
600	1,7	2,2	3,2	7,5	10,
700	2	2,6	4	8,5	12
800	2,4	3	4,5	10	14,
900	2,8	3,4	5,2	12	16
1000	3,2	3,8	6	13	18
1100	3,4	4,2	6,5	14	20
1200	3,5	4,5	7	15	22

Для перехода от влажности по объему $W_{\rm c.o}$ к влажности по весу $W_{\rm c.s}$ пользуются известной формулой

$$W_{\text{c.B}} = \frac{1000 \, W_{\text{c.o}}}{\gamma_{\text{c}}} \,. \tag{18}$$

Так как относительная влажность воздуха влияет на влажность ячеистого бетона, применение изделий из этого бетона в зданиях с повышенной влажностью воздуха следует ограничить.

Капилляриый подсос происходит через микрокапилляры в межноровых стенках; всасывающая способность самих макропор невслика. Величина капиллярного подсоса определяет степень увлажнения ограждающей ячеистобетонной конструкции под дождем и скорость испарения влаги в процессе эксплуатации. Исследования П. Неренста [56] ноказали, что капиллярный подсос и водопроницаемость газобетона ниже, чем у кирпича. К аналогичному выводу пришел О. Граф [86]. Результаты его пснытаний по опредсленно капиллярности разных материалов приведены в табл. 17.

На графике (рис. 17) показаьс увлажнение газобетона при каниллярном подсосе. Псиытания были проведены по следующей методике. Образцы размером 50×50× ×100 мм покрывали водонепроницаемой мастикой, а открытой торцовой поверхностью погружали и воду на 3 − 6 мм [30].

		Содержа	ние вод % по о	ы в обр бъему	азце'
Материал	Объемный вес в кг/м ³	непосред-		через	
		ственио после по- гружения	3 4	24 4	10 су- ток
Сплошной обожженный кирпич.	1570	0,15	18	26,8	29,2
Пустотелый обожжен- ный кирпич Газобетон	660 620 480	0,4 7,2 3,2	53,5 13,1 12,1	55,4 17,5 18,4	58,3 17,8 22,1

 $^{^{1}}$ Образец $12 \times 6 \times 24$ см. погруженный в воду на глубину 3 см.

Морозостой кость яченстого бетона характеризуется его способностью в насыщенном водой состояний выдерживать требуемое по условиям долговечности или сроку службы конструкции определенное число циклов

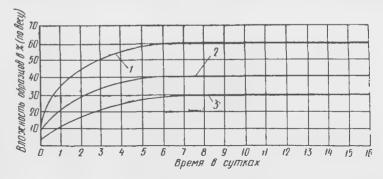


Рис. 17. Увлажнение автоклавного газобетона при капиллярном подсосе влаги

1, 2, 3 — объемиый вес соответственно 400, 700 и 1000 кг/м³

попеременного замораживания и оттаивания. При испытании на морозостойкость [25] прочность ячеистого бетона не должна снижаться более чем на 25%. Минимальная марка по морозостойкости для ограждающих конструкций из яченстых бетонов должна быть согласно пормам не менее Мрз 25. Такая морозостойкость должи обеспечиваться в паружных ограждающих конструкциях

зданий с сухим и нормальным режимом помещений; для зданий с влажным режимом помещений принимается Мрз 35 и выше; для внутренних конструкций бетон может иметь марку Мрз 15.

Относительно высокая морозостойкость ячеистых бетонов объясняется их высокой пористостью. При ув-

Таблица 18 Морозостойность автокланных яченстых беногов

Число циклов замора- живания и оттаи-	газобетоно	очности в о м объемно в кг/м³
вания	700	1000
5 10 15 20 25	3 3 !2 9 20	3 5 10 11 18

лажнении яченстого бетона в атмосферных условиях вотой заполняются в основном микрокапилляры за счет сорбшии из окружающего воздуха; крупные же поры и макрокапилляры заполняются водой не полностью, поэтому при замораживании в свободное пространство отжимается вода из микрокапилляров, не вызывая разрушений межпорозых стенок.

Опыт эксплуатации конструкций из ячеистых бето-

нов показал, что наибольшей морозостойкостью обладают бетоны на цементе, а наименьшей — на извести. При соблюдении требований технологии можно получить яченстый бетон на извести, удовлетворяющий требованиям по морозостойкости. Однако наблюдаются случаи недостаточной морозостойкости бетоьа, в частности, изготовленного на некондиционной извести. При усиленном увлажнении с последующим воздействием мороза такие конструкции при эксплуатации пс пвержены разрушению.

Результаты испытаний на морозостойкость автоклавных ячеистых бетонов приведены в табл. 18 [30]. Коэффициент морозостойкости $K_{\text{Mps}} = R_{\text{Mps}}$: R_{c} всегда выше 0.75, а в ряде случаев K_{Mps} близок к 1. Некоторые виды ячеистых бетонов, изготовленных на оптимальных составах, выдерживают 100 и даже 150 циклов попеременного замораживания и оттаилания [38, 49].

Усадка и набухание ячеистых бетонов оцениваются по различным методикам, поэтому результаты таких исследований трудно сравнивать. По данным отечественных и зарубежных исследований, деформации усадки автоклавных яченстых бетонов, изготовленных на основе цемента (шлака) и песка, достигают 0,5—0,7 мм/м

и более для бетонов, изготовленных на основе извести и золы, а безавтоклавных бетонов — $2 \, \text{мм/м}$ и более; деформации набухания зависят от условий хранения ячеи стого бетона и достигают $0.4-1.6 \, \text{мм/м}$.

В качестве примера на рис. 18 приведены графики изменения усадки ячеистых бетонов во времени по дакным советских и чехословацких исследователей [84]. На

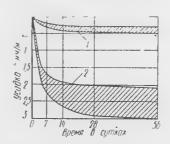


Рис. 18. Изменения деформаций усадки ячеистого бетона во времени

 1 — автоклавный;
 2 — безавтоклавный

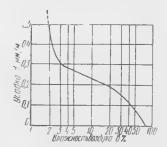


Рис. 19. Графики деформаций усадки ячеистых бетонов в зависимости от относительной влажности воздуха помещения

рис. 19 [88] приведены изменения усадки ячеистого бетона во времени по данным шведских исследователей, а на рис. 20 — деформации набухания при попеременном увлажнении и высушивании бетона [11].

Как правило, деформации усадки устанавливают на

образцах-призмах размером 40×40×160 мм.

В настоящее время разработана методика определения усадки ячеистых бетонов на индикаторном приборе конструкции НИИЖБ [25]. Величину линейной усадки определяют на трех призмах размером $40 \times 40 \times 160$ мм, выпиливаемых из изделия, подлежащего испытании. Образец измеряют с помощью прибора, показанного на рис. 21. Прибор состоит из стойки, кронштейна, нижней опоры с конусообразным выступом и индикатора с ценой деления 0,01 или 0,001 мм, позволяющего устанавливать изменение длины образца. Продольная ось образца при горизонтальном формовании должна быть перпендикулярна направлению вспучивания ячеистого бетона, а при вертикальном — параллельна направлению большей геометрической оси изделия. В середину торцовых

сторон образца заделывают для закреиления его в приборе металлические реперы. Образцы насыщают водой, погружая их в горизонтальном положении на глубину 5 мм. По истечении трех суток образцы вынимают из воды, устанавливают в прибор, делают отсчет по индикатору, принимая его за начальный. Затем образцы взвешивают и помещают в герметичную емкость (например,

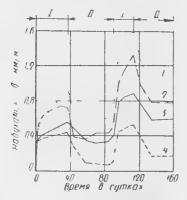
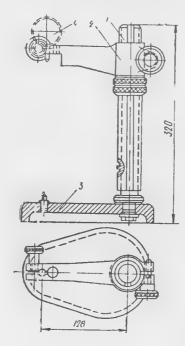


Рис. 20. Деформации набухания ячеистых бетонов

I — выдержка в воде: II — выдержка при относительной влажности 10%; I—I — кривые деформаций

Рис. 21. Прибор для определения усадки ячеистых бето-

Стопка. . -- кропитейн; 3 — ин-к пяя опора 1 -- ин шкатор



в женкатор) над безподным карбонатом калая (в колнчестве 200 г) при температуре 20±2°С. В этих условиях их выдерживают в течение 28 суток. Через каждые 7 суток проверяют длину и вес образцов, одновременно заменяя увлажиенный карбонат калия сухим.

После определения линейной усадки образцы высушивают до постоянного веса с целью определения их конечной и начальной влажности. По истечении 28 суток ыз каждой призмы вычисляют линейные изменения по формуле $\varepsilon_{\rm vc} = \frac{\Delta t}{t}$, (19)

где ε_{yc} — усадка в мм/м; Δl — разиость между конечными и начальным показателями индикатора в мм; l — длина призмы через 28 суток, измеренная штангенциркулем, в м.

Усадку и влажность вычисляют как среднее арифметическое результатов определения трех образцов; при этом учитывают начальную и конечную влажность призм.

Исследования усадки ячеистых бетонов по данной методике показали, что величина ε_{yc} для разных видов автоклавных яченстых бетонов меняется ог 0,1 до 1 мм/м и в ряде случаев значительно отличается от величин ε_{yc} , определенных по другим методикам.

Температурно-влажностные деформации. Изменение объема ячеистых бетонов происходит в результате попеременного увлажнения и высыхания, нагревания и остывания, замерзания и отгаивания. При этом уменьшение или увеличение размеров ячеистобетон ных элементов часто приводит к их расгрескиванию, что связано с развитием внутренних напряжений, превышающих сопротивление ячеистого бетона растяжению.

Изменения объема ячеистобетонных элементов в результате изменения температурно-влажностных условий окружающей среды характеризуются коэффициентом температурно-влажностного расширения бетона а.

Зависимость коэффициента с от изменения температуры и влажности выражается формулой, предложенной Г.И.Вейденбаумом [17]:

$$\alpha = [\alpha_0 + AW + BW^2 + (CW + DW^2)t] \cdot 10^{-6}, \quad (20)$$

где A,B,C и D — постоянные эмпирические коэффициенты; W — зесовая влажность в %; t — температура материала; α_0 — коэффициент температурного линейного распирения яченстого бетона.

Для огечественных и зарубежных ячеистых бетонов [88, 77] коэффициент линейного расширения как бетонных, так и железобетонных конструкций при их охлаждении и нагреве от 0 до 100° С принимают равным $\alpha_0 = 0.000008$.

Данные по деформации ячеистых бетонов при попеременном замораживании и оттаивании приведены в работе [17].

Паропроницаемость и воздухопроницаемость яченстых бетонов являются важными свойствами, которые необходимо учитывать при проектировании

Коэффициенты теплопроводности зарубежных яченстых бетонов

λ. ккал/м.ч.град бетона объемного веса в кг,м³ W, % (no Becy) Яченстый бетон 400 500 600 700 900 8 0.13 0.140.16 0.2 0,3 0,22 0,33 0,16 0,18 Газосиликат 12 0,15 0.19 0.36 0.21 0.25 18 0.18 0,21 0,25 0.33 8 0,14 0.17

0,15

0.17

ограждающих конструкций. Под паро- и воздухопроинцаемостью яченстых бетонов понимается способность материала пропускать через себя соответственно пар или воздух; методика определення эгих характеристик дана в [25]. Ориентировочные значения паро- и воздухопроницаемости отечественных яченстых бетонов [49] привелены в табл. 19

T	а	б	Л	Н	п	а	19

Коэффициенты парои воздухопроницаемости ячеистых бетонов

Коэффициенты теплопроводности отечественных яченстых

Таблина 20

				оетон	OB
у _с , кг/м³	Коэффи- циент па- ропроми- цаемостн	Коэффи- цнент воз- духопро- ницаемо-	1.2	n	онциент тепло- ооводиостн кал/ж.ч.град
	µ-10°, г/м-ч-мм рт. ст.	сти 1·103, кг/м·ч·мм вод. ст.	у ,, кг/м³	λ _c	х _в (W=8 % по весу)
300 400 500 600 700 800 900 1000 1100 1200	3,3 2,7 2,25 1,75 1,55 1,4 1,4 1,4	9 7 5 3,5 2,5 2 1,5 1 0,75 0,5	300 400 500 600 700 800 900 1000 1100 1200	0,08 0,09 0,1 0,12 0,14 0,17 0,2 0,22 0,26 0,3	0,13 0,15 0,16 0,19 0,21 0,24 0,27 0,29 0,32 0,37

Теплопроводность ячеистого бетона характеризуется коэффициентом теплопроводности, величина которого определяется в соответствии с рекомендациями ГОСТ 7076-66. Численные значения коэффициента теплопроводности ячеистого бетона в сухом состоянии λ_с и при некоторой влажности λ_в [49, 84] приведены в табл. 20 и 21.

Теплоемкость ячеистого бетона характеризуется коэффициентом удельной теплоем сости. Для ячеистых бетонов $v_c = 300 \div 1200 \ \kappa s/m^3 \ коэффициент удельной тепло$ емкости, но данным разных исследователей, меняется в пределах от 0.15 до 0.25 ккал/кг \cdot гса ∂ .

Звукоизоляционные свойства яченстых бегонов определяют способность ограждающих конструкций задерживать звук. В габл. 22 привелены значения звукоизоляции стен из ячеистых бетонов по данным зарубежных авторов [84].

0.19

0.22

0.24

0.28

0.29

0,34

0.39

0.46

Исследования звукоизоляции, проведенные на зданиях. построенных из газобетонных блоков [30], показали, что при объемном весс внутренних поперечных стен у =

=1000 → 1200 кг/м³ и толщине 24 см их звукоизолирующая способность составила 48 дб. что удовлетворяет требованиям СНиП; в этих зданиях вес 1 м² стены составляет 240-288 кг. Согласно нормам минимальный вес 1 м² стены, необходимый для обеспечения требуемой звукоизоляции, составляет 300 кг.

12

18

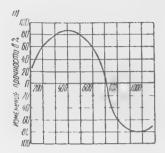
Газобетон

Огнестойкость, Ячеистый бетон огнестоек [39]. Испытания пенобетонных кубов показали, что пенобетон выдерживает одно-

Таблица 22 Звукоизоляциониые характеристики стен из ячеистых бетонов

Толщина стены в см	ляция	няя звун в <i>дб</i> пр м весе б в кг/м ^з	и объ
	500	700	900
8	34	36	38
16	38	41	42
19	40	42	43
24	41	43	45

стороннее возлействие огня (800°C) без особых разрушений в течение 4 ч. Огнестойкость пеносиликата оказалась более высокой: при $\gamma_c = 700 \div 800 \ \kappa z/{\it M}^3$ и толщине образца 8 см под действием огня (1270° C) пеносиликат не подвергся разрушению в течение 2 ч 38 мин. Под действием струи воды поверхность раскаленного образца разрушилась незначительно. Опытами установлено, что при нагревании до 100—150°С и последующем охлаждении прочность ненобегона возрастала на 10%; при нагревании до 200—300°С прочность оказалась такой же, как и до нагревания; при нагревании до 400—500°С прочность снизилась на 20%, а при нагревании до 550—800°С—на 50% по сравнению с прочностью до нагрева. Таким образом, огнестойкость ячеистых бетонов выше, чем обычных тяжелых бетонов.



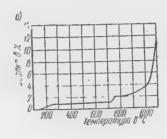


Рис. 22. Изменення предела прочностн при сжатии (a) и деформаций усадки (б) яченстых бетонов в зависимости от температуры

По шведским данным [88], при нагревации примерно до 1000° С яченстый бетон начинает спекаться. Для полного плавления его требуется нагревать до температуры 1100—1200° С.

На рис. 22 показаны графики деформации усадки и изменения предела прочности при сжатии в результате нагревания яченстых бетопов до различных темнератур [79].

Хрупкость. Яченстый бетон — это хрупкий материал, он легко разрушается от незначительных ударов, местных перенапряжений, поэтому с яченстобетонными изделнями следует обращаться осторожно, особенно при гранспортировании.

Обрабатываемость. Ячекстые бетоны и изделия из них легко пилятся, режутся, рубятся, строгаются, сверлятся, в них легко забиваются гвозди, скобы и штыри. Учитывая абразивность материала, для его обработки рекомендуется применять инструменты из твердых плавов.

Цвет. В зависимости от исходных материалов и способа тепловлажностной обработки цвет яченстых бетонов может быть белым, серо-белым, серо-синим, серокрасным и стальным [82].

3. МЕХАНИЧЕСКИЕ СВОЙСТВА ЯЧЕИСТЫХ БЕТОНОВ

Прочность бетона

Кубиковая прочность яченстого бетона просматии — одна из основных его характеристик. Определяют предел прочности при сжатии яченстых бетонси (контрольную характеристику) на образцах-цилиндрах диаметром и высотой 100 мм или образцах-кубах с размером ребра 100 мм. Для испытания берут шесть образцов. Их высушивают до постоянного веса и испытывают на сжатие после остывания.

Предел прочности при сжатии ячеистобетонных кон1рольных образцов зависит от направления сжимающей нагрузки относительно направления заливки ячеистобстонной смесью. Исследования [89] показали, что предел прочности при сжатии кубов при испытании нагрузкой. направленной перпендикулярно направлению заливки R^{\perp} . на 20-30% выше предела прочности при сжатии кубов, испытанных нагрузкой, направленной параллельно направлению заливки R^{\parallel} . В среднем можно принять $R^{\perp} \approx$ ≈1,25 R . Поэтому испытания образцов на сжатие проводят в положении, соответствующем работе изделия в конструкции. При горизонтальном формовании изделий сжимающая сила должна прилагаться перпендикулярно направленню заливки бетонной смеси, при вертикаль ном - - параллельно или перпендикулярно в зависимости от работы изделия в конструкции.

Опорные поверхности выпиленных или высверленных образцов перед испытанием должны быть отшлифованы. Образцы устанавливают одной из шлифованных граней на нижнюю опорную плиту пресса, центрально по его оси, пользуясь разметкой, нанесенной на плите. Под одной из опорных плит пресс должен иметь сферическую опору. Давление на образец должно возрастать равномерно со скоростью 2—3 кесlсм² в 1 сек до его разрушения

Предел прочности бетона при сжатии (контрольную характеристику вычисляют с точностью до 1 кгс/см² кгк

среднее арифметическое из результатов испытания шести образцов. Результаты испытаний, отличающиеся на $\pm 20\%$ от среднего значения (ис не более двух), отбрасывают.

Зависимость кубиковой прочности ячеистого бетона от его объемного веса может быть выражена эмпирическими формулами, связывающими средние величины $R_{\rm c}$ и $\gamma_{\rm c}$,

Например, в практике пользуются следующей зави-

симостью [49]:

$$R_{\rm c} = A \gamma_{\rm c}^2 \ \kappa ec/c m^2, \tag{21}$$

где A— конструктивный коэффициент, величина которого может меняться в значительных пределах. Так, например, для отечественных яченстых бетонов автоклавного твердения заводского изгоговления A равен 100, для бетонов лабораторного и полупроизводственного изготовления—140. Для отечественных бетонов безавтоклавного твердения A=75÷85. Для яченстых бетонов, выпускаемых в ПНР, A=140— при испытании кубов силой, перпендикулярной направленню заливки бетоной смеси в форму, и A=105— при испытании кубов силой, параллельной направленню заливки [89]. Для датских автоклавных яченстых бетонов [56] A=77 и для безавтоклавных A=28,5.

А. П. Меркин н А. П. Филин предлагают предел прочности при сжатии яченстых бетонов определять по формуле

$$R_{\rm c} = a\gamma_{\rm c} + b\sigma \ \kappa ec/c M^2, \tag{22}$$

где a и b — постоянные величины, зависящие от пористости бетона; σ — среднеквадратическое отклонение от средней прочности.

В. А. Пинскер [61] рекомендует прочность ячеистого бетона вычислять в зависимости от прочности бетона межпоровых стенок $R_{\rm M}$ по формуле

где Π — макропористость, определяемая в зависимости от объемного всси яченстого бетона γ_c и бетона межпоровой стенки $\gamma_{\rm M}$:

 $II = 1 - \frac{\gamma_{\rm c}}{\gamma_{\rm M}}.$

По К. И. Бахтиярову и Л. Т. Баранову [6, 7], зависимость между объемным весом и прочностью бетона выражается формулой

$$R_{\rm c} = R_{\rm M} \left(\frac{\gamma_{\rm c}}{\gamma_{\rm M}}\right)^3 \, \kappa ec/c M^2. \tag{24}$$

Формулы (22)—(24) могут быть использованы для вычисления кубиковой прочности при различных значсниях объемного веса и пористости ячеистого бетона.

Имеются и другие эмпирические формулы, выражающие зависимость между кубиковой прочностью и объемным весом ячеистых бетонов [89, 90, 91]. Одиако ин одиа из них не является универсальной, пригодной для всех видов отечественных и зарубежных бетонов. На рис. 23 приведены графики $R_{\rm c}-\gamma_{\rm c}$, построенные по формуле (21) при различных значениях коэффициента A, которые показывают, в каких пределах меняется прочность ячеистых бетонов отечественного производства при данном объемном весе.

По результатам работ шведских исследователей [88] предел прочности при сжатии контрольных кубов с ребром 150 мм при остаточной влажности $W \le 10\%$ для объемных весов 400, 500 и 650 кг/м³ соответственно равен 15, 30 и 65 кгс/см².

В табл. 23 приведены контрольные характеристики $R_{\rm c}$ для отечественных яченстых бетонов и соответствую щие им показатели $\gamma_{\rm c}$; в ней же даны величины проектной марки бетона R, являющиеся основным исходным показателем в пормативных документах.

Таблица 23 ъемный вес, контрольная характеристика и просктная марка

Объемный вес, контрольная характеристика и проектная марка ячеистых бетонов

Класс			Yc, A	кг/м³ при	$R_{\rm c}$ и R , κ	ec/cm²	
ячеистого бетона	25/15*	35/25	50/35	75/50	100/75	150/100	200/150
Α	500	600	700	900	1000	1100	1200
Б	600	700	800	1000	1100	1200	
	1	l		!]		'	

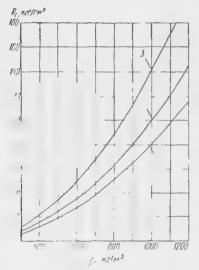
^{*} Слева от черты приведени показатели $R_{\mathbf{c}}$, справа — R

За проектную марку бетона R принимается временное сопротивление сжатию в $\kappa rc/cm^2$ кубов с ребром 200 κrA , непытанных при естественной влажности 8% (по весу) — для яченстых бетонов на кварцевом песке и 15% (по весу) — для яченстых бетонов на золе. Для перехода и контрольной характеристики R_c к проектной марке бетона R применяется переходный коэффициент K_n :

$$K_{\rm n} = R : R_{\rm c} = 0.7.$$
 (25)

Коэффициент перехода Кп представляет собой произвсдение поправочных коэффициентов, учитывающих влияние на прочность при сжатии размера образца и влажпости.

Влияние размера контрольных образцов на прочность при сжатии, по данным отечественных и зарубежных исследователей [49, 89], показано на рис. 24 влияние



15 P. SMED DEBDO KUDA B CM

Рис 23 Зависимость кубиковой прочности отечественных яченстых бетонов Rc от их объемного веса ус

$$I = R_{c} = 80\gamma_{c}^{2}, \quad 2 = R_{c} = 100\gamma_{c}^{2};$$
$$I = R_{c} = 140\gamma_{c}^{2}$$

Рис. 24. Зависимость прочности контрольных яченстобегонных кубов от величны ребра

/ — по данным ЦНИИСК; 2 — то же, •) Пурписа: 3 — то же, фирмы «Сп порекс»: 4 — то же, фирмы «Итонг»

влажности на механические свойства яченстого бетона будет рассмотрено далее.

Призмениая прочность. До последнего времени призменную прочность яченстых бетонов, как и других видов легких и тяжелых бетонов, устанавливали испытапием на сжатие призм размером 15×15×60 или $20 \times 20 \times 80$ см при влажности образца 8-15% по весу.

Эти призмы истыгывали по обычной методике, приня-

той для испытации бетопных призм на сжатие.

В последнее время в связи с введением ГОСТ 12852-67 [25] призменную прочность определяют испытанием на сжатие призм $10 \times 10 \times 30$ см, высущенных до постоянного веса. Призмы выпиливают из изделия таким образом, чтобы положение их при испытании соответствовало

работе изделия в конструкции. Для испытания берут шесть образцов и высущивают их до постоянного веса. Опорные плоскости призм отшлифовывают. После установки призмы центрируют при нагрузке, не превышающей 20% предполагаемой разрушающей, по индикаторам, размещенным по одному на каждой грани призмы. Отклонения показаний отдельных индикаторов не должны отличаться более чем на 10% от сред него значения.

Образец-призму ставят на опорную плиту пресса так, чтобы сжимающая сила была параллельна продольной оси образца призмы и чтобы вертакальная ось образца про-

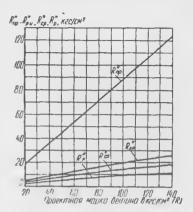


Рис. 25. Зависимость сопротивления отечественных ячеистых бе тонов при различных силовых воздействиях от проектной марки бетона

— призменная прочность; $R_{p,H}^{H}$ — сопротивление растяжению при изгибе: - сопротивление срезу; $R_{\mathbf{p}}^{\mathbf{H}}$ — сопро гивление растяжению

ходила через центр опорной плигы пресса. Средний предел прочности призм при сжатии вычисляют так же, как и при определении предела прочности при сжатии ячен стобетонных кубов.

Сравнение результатов испытаний на сжатие призм размером 10×10×30 см, высушенных до постоянного всса, с результатами испытаний призм 15×15×60 и 20× 20×80 см при естественной влажности показало, что коэффициенты призменной прочности

$$K_{\text{n.n}} = R_{\text{np.c}}^{\text{n}} : R_{\text{c}} \tag{26}$$

$$R_{\text{n.n.}}^{\prime} = R_{\text{np}}^{\text{n}} : R \tag{27}$$

практически равны.

Зависимость пормативной средней призменной прочности $R_{\rm np}^{\rm n}$ от кубиковой проектной марки бетона R (рис. 25) может быть выражена формулой

$$R_{\rm np}^{\rm ff} = 0.95R - 0.0005R^2 \kappa cc/cm^2$$
. (28)

Величниы пормативной призменной прочности для разных марок бетона приведены в табл. 24.

Таблица 24 Нормативная призменная прочность яченстых бетонов

Показатели	Пречность в кгс/см²						
Контрольная характеристика R_c	25	35	5()	75	100	150	200
Проектиая марка бетона R	15	25	35	50	75	100	150
Нормативная прочность R_{np}^{H} ,	14	23,5	32.5	46,5	68,5	90	131
$R_{\text{np}}^{\text{H}}; R_{\text{c}} \dots \dots R_{\text{np}}^{\text{H}}; R$	0,56	0,67	0,65 0,92	0,62	0,68	0,6 0,9	0,65 0,87

По данным Э. Пуринса [90], коэффициент призменпои прочности в среднем равен 0,95, а в ряде случаев олизок 1 (рис 26). По данным О. Графа [85], призмен-

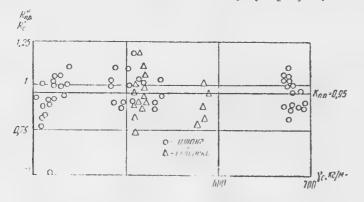


Рис. 26. Записимость $R_{\rm up}^{\rm u}$ от кубиковой прочности $R_{\rm c}$ для это учествения рестоион объемного воез от 400 до 600 кг/ $u^{\rm d}$

ная прочность ячеистых бетонов близка к кубиковой и $K_{n,n}=1$. Согласно Г. Шеффлеру [93], $K_{n,n}$ меняется ог 0,8 до 1,2, составляя в среднем 1.

Как видно из приведенных данных, ячеистые бетоны характеризуются высокими коэффициентами призменной прочности.

Сопротивление ячеистого бетона осевому растяжению определяют испытанием либо

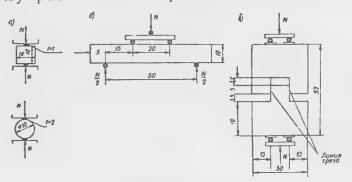


Рис. 27. Схема испытация ячеистых бетонов при различных силовых воздействиях

а - на расіяжение при раскалывания, б на пенб і на (размеры даны в см)

призм и восьмерок на растяжение, либо кубов и пилиндров на раскалывание. Для испытания на раскалывание используют гидравлический пресс со шкалой предельных нагрузок 5 и $10~\tau$, стальные полоски размером $10\times20\times110~\mu$ или $10\times10\times110~\mu$.

Прочность при растяжении находят из испытатий шести образцов-цилиндров диаметром и высотой 100 мм или образцов-кубов с размером ребер 100 мм, выпиленных или высверленных из изделия. Опорпые грани кубов или образующие цилиндров после выпиливания (высверливания) принилифовывают и образцы высушивают до ностоянного веса. Иснытания образцов проводят в положении, соответствующем работе изделий в коиструкции. Образец помещают между двумя стальными ирокладками, расположенными вдоль линии, соединяющей середины двух противоположных опорных плит пресса, как указано на рис. 27. Давление на образец должно возрастать равномерно со скоростью 2—3 кес/см² в 1 сек.

Испытание следует прервать в тот момент, когда образец полностью еще не расколот, но повазание на манометре пресса начинает падать.

Предел прочности на осевое растяжение ($R_p^{\rm H}$) для каждого образца вычисляют по следующим формулам: при испытании образцов-кубов

$$R_{\rm p}^{\rm H} = \frac{2P_{\rm MAKC}}{\pi \sigma^2} \, \kappa ec/c M^2, \tag{29}$$

где $P_{\text{макс}}$ — максимальная разрушающая нагрузка в κ еc; a — длина ребра куба в cм;

при испытании образцов-цилиндроь

$$R_{\rm p}^{\rm u} = \frac{2P_{\rm Make}}{\pi dt} \ \kappa ec/c M^2, \tag{30}$$

где d — диаметр цилиндра и c M; l — высота цилиндра в c M.

Предел прочности при растяжении определяют с точностью до 1 $\kappa sc/cm^2$ как среднее арифметическое из результатов испытания шести образцов. Результаты испытаний отдельных образцов, отличающиеся на $\pm 20\%$ от среднего значения (но не более двух), отбрасывают.

Испытания ячеистых бетонов на растяжение при раскалывании показали, что зависимость между нормативным сопротивлением осевому растяжению $R_p^{\rm H}$ и проектной маркой бетона R (см. рис. 25) может быть выражена формулой

$$R_{\rm p}^{\rm H} = 0.15 R - 0.0005 R^2 \kappa cc/cm^2$$
. (31)

Таблица 25 Нормативное сопротивление ячеистых бетонов осевому растяжению

Показатели	Прочность в кес/см²						
Контрольная характеристика Rc	25	35	50	75	100	150	200
Проектная марка бетона R	15	25	35	50	75	100	150
Нормативное сопротив- ление R_{p}^{H}	2	3,4	4,6	6,2	8,4.	.10	11,2
$R_{p}^{H}:R_{c}$	0,08	1,0	0,09	0,08	0,08	0,07	0,06
$R_{\rm p}^{\rm it}$ R	0,13	0,14	0,13	0,12	0,11	0,1	0,08

Величины нормативных сопротивлений ячеистого бетона растяжению $R_{\rm p}^{\rm u}$ для разных марок бетона приведены в табл. 25.

По данным [88], сопротивление ячеистых бетонов осевому растяжению в значительной степени зависит от методики испытаний; в среднем для шведских бетонов величина $R_p^{\rm H}$ составляет 1/6 предела прочности при сжатии R_c .

Э. Пуринс [90] установил, что сопротивление яченстых бетонов осевому растяжению может быть вычислено по формуле Гранхольма

$$R_{\rm p}^{\rm H} = 0.63 \sqrt[3]{R_{\rm c}^2} \ \kappa ec/c M^2.$$
 (32)

На рис. 28 приведены результаты испытаний шведских ячеистых бетонов на осевое растяжение.

Сопротивление бетона ячеистого растяжению при изгибе определяют испытанием балок размером 100×100×600 мм. Перед измеряют испытанием ширину и высоту образпа-балки в середине ее ллины с точностью до 1 мм. Испытания проводят двумя равными сосредоточенными грузами, располагаемыми симметрично по отношению к опорам; балки опираются на шарнирные опоры, причем одна из опор должна быть подвижной и допускать свободное перемещение балки вдоль оси, а другая — непод-

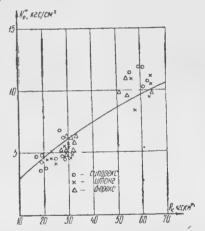


Рис. 28. Зависимость сопротивления растяжению $R_{\rm p}^{\rm H}$ от кубиковой прочности $R_{\rm c}$ для шведских ячеистых бетонов

вижной (см. рис. 27). Испытания проводят на прессе мощностью до 5 тс. Балку укладывают на опоры так, чтобы изгиб ее происходил в плоскости, перпендикулярной направлению заливки ячеистой массы в форму. Скорость загружения не должна превышать 25 кас в 1 сек. Предел прочности на растяжение при изгибе зычисляют по формуле

$$R_{\rm p,n}^{\rm H} = \frac{45N_{\rm p}}{bh^2} \ \kappa cc/c M^2,$$
 (33)

где $N_{\rm p}$ — разрушающая нагрузка и каст b — ширина балки, в c m; h — высота балки в см.

Предел прочности ячеистого бетона на растяжение при изгибе вычисляют с точностью до 1 кгс/см2 как среднее арифметическое из результатов испытания шести образцов. Результаты испытаний, отличающиеся от среднего более чем на $\pm 20\%$ (но не более двух), отбрасывают.

Опытами установлено, что сопротивление ячеистого бетона растяжению при изгибе $R_{p,\mu}^{\rm H}$ по величине R мо-

жет быть вычислено но формуле

$$R_{\rm p,n}^{\rm m} = 0.25R - 0.0005R^2 \kappa c c c m^2$$
. (34)

Величниы нормативных сопротивлений $R_{\mathrm{p,u}}^{\mathrm{n}}$ для бетонов разных марок приведены в табл. 26.

Таблица 26

Нормативное сопротивление ячеистых бетонов растяжению при изгибе

Показатели	Прочность в <i>кгс/см</i> ²						
Контрольная характеристика R _c	25	35	50	75	100	150	200
Проектная марка бетона R	15	25	35	50	75	100	150
Пормативиая прочность $R_{\mathrm{p,u}}^{\mathrm{H}}$	3,7	5,9	8,1	11,2	16	20	26,2
$R_{\mathrm{p,H}}^{\mathrm{H}}:R_{\mathrm{c}}$	0,15	0,17 0,24	0,16	0,15	0,16 0,21	0,13 0,2	0,13

Р. Валор [82] на основании опытов О. Графа и других исследователей приходит к выводу, что относительная величина $R_{p,u}^{H}$: R_{c} при изменении кубиковой прочности бетона от 35 до 190 кгс/см2 соответственно меняется от 0,5 до 0,25.

По данным [88], величина сопротивления растяжению при изгибе $R_{\rm p,u}^{\rm u}$ зависит от методики испытаний и в среднем составляет 20% величины кубиковой прочности.

Сопротивление ячеистого бетона срезу впределяют пспытанием призм размером $300 \times 500 \times$

×100 мм со специальными вырезами. Испытание проводят по схеме, приведенной на рис. 27.

Величину предела прочности ячеистого бетона при

срезе вычисляют по формуле

$$R_{\rm cp}^{\rm H} = \frac{N_{\rm p}}{F} \ \kappa ec/c M^2, \tag{35}$$

где $N_{\rm P}$ — разрушающая нагрузка в кгс; F — сечение среза в $c M^2$. Средний предел прочности при срезе вычисляют как среднее арифметическое из результатов испытания шести призм-близнецов. Результаты испытаний отдельных призм, отличающиеся от среднего более чем на $\pm 20\%$ (но не более двух), отбрасывают. Испытания показали, что сопротивление ячеистого бетона срезу по величине марки бетона можно вычислить по формуле

$$R_{\rm cp}^{\rm H} = 0.20R - 0.0005R^2 \ \kappa ec/cm^2$$
. (36)

Величины сопротивления ячеистого бетона срезу приведены в табл. 27.

Таблица 27

Нормативное сопротивление яченстых бетонов срезу

Показатели	Прочность в кгс/см²							
Контрольная характеристика R_{c}	25	35	50	75	100	150	200	
Проектная марка бетона $R \dots$	15	25	35	50	75	100	150	
$R_{\rm cp}^{\rm u}$	2,9	4,7	6,4	8,8	12,2	15	18,8	
$R_{\text{cp}}^{\text{H}}: R_{\text{c}} \dots \dots \dots R_{\text{cp}}^{\text{H}}: R \dots \dots \dots$	0,12	0,13	0,13 0,18	0,12	0,12	0,1 0,15	0,09 0,13	

По данным [88], сопротивление ячеистого бетона срезу в значительной мере зависит от методики испытагий. При испытании на чистый срез при помощи круглого штампа с расположением образца на основании, имеющем круглое отверстие, диаметр которого равен диаметру штампа, сопротивление срезу $R_{\rm cp}^{\rm H}$ составляет 25—30% кубиковой прочности. Если же отверстие в основании имеет больший диаметр, чем диаметр штампа, то при испытании на срез выкалывается конус под углом 45° и сопротивление срезу может составлять всего лишь 2-3% кубиковой прочности.

Показатели однородности. В ЦНИИСК и НИИЖБ была произведена статистическая обработка результатов испытаний контрольных образцов-кубов и цилиндров, изготовленных и испытанных на ряде отече-

ственных заводов яченстых бетонов.

Из данных, приведенных в табл. 28, видно, что коэффициенты изменчивости показателей объемного веса и прочности ячеистых бетонов, изготовляемых на восьми крупных заводах яченстых бетонов, достаточно велики. По объемному весу коэффициент изменчивости C_{τ} меняется от 3 до 8%, по прочности — от 14 до 23%.

Показатель однородности по прочности К, приведен-

ный в таблице, вычислен по формуле

$$K = \frac{R_{\rm cp}}{R_{\rm c}} (1 - 3C_R), \tag{37}$$

где $R_{\rm cp}$ — средняя статистическая кубиковая прочность в $\kappa ac/c m^2$; $R_{\mathbf{c}}$ — заданная данному заводу кубиковая прочность в $\kappa ec/cm^2$; C_R — изменчивость показателей прочности.

Для разных заводов яченстых бетснов величина Kменялась от 0,36 до 0,79, составляя в среднем для заводов, выпускающих бетопы автоклавного твердения, K==0,52, а для завода, выпускающего безавтоклавный золобетон, K = 0.39.

Таким образом, принятое в нормагненых документах значение коэффициента однородности по прочности K = 0.45 - для бетонов автоклавного гвердения и K ===0,4 -- для бетонов безавтоклавного твердения подтверждается результатами статистической обработки данных испытаний контрольных образцов на действующих заводах яченстого бетона мощностью 200 тыс. M^3 в год.

Статистическая обработка результатов испытаний образцов из ячеистых бетонов на растяжение, изгиб и срез показала, что показатели изменчивости ячеистых бетонов при этих воздействиях значительно выше, чем при сжатии, и составляют в среднем $C_R = 25\%$. Это обусловило установление величины коэффициента однородности при растяжении, изгибе и срезе, равной 0,25.

1800 Thic, M3 675 252 производительностью 100-200 770 266 725 Набереж-но-Челини-ский 710 775 069 605 Среднеквадратическое отклонение $\sigma_{oldsymbol{\gamma}}$

50 63

50

0,068

0,076

0,046

0,065

0,028

Коэффициент изменчивости показателей объемного веса C_{γ} .

Заданная кубиковая прочность Rc

20

22 61

36

28

Таблица

заводах

по однородности газобетона на

данные

Выборочные

Завод выпускает безавтоклавный яченстый бетон.

однородности по

-3CR

ности К

0,36

0,51

Деформации бетона при кратковременном действии нагрузки

Методика определения деформации. При кратковременных испытаниях на сжатие призмы из ячеистого бетона влажностью 8—15% загружают ступенями, равными 0,1 ожидаемой разрушающей нагрузки. Под нагрузкой на каждой ступени образец, как правило, выдерживают от 1 до 15 мин для распределения давления и снятия отсчетов по приборам. Отсчеты снимают сразу после установления нужной ступени нагрузки и через определенные интервалы времени — от 1 до 15 мин.

По этой методике можно установить значения упругих и пластических деформаций бетона на разных ступенях кратковременного загружения (обжатия)

$$\sigma_{\text{obs}}^{\text{K}} = \frac{\sigma_{\text{b}}^{\text{K}}}{R_{\text{np}}^{\text{H.}}}$$
,

где $\sigma_6^{\rm K}$ — напряжение в бетоне на данной ступени нагрузки; $R_{\rm pp}^{\rm H}$ призменная прочность (предел прочности пр. сжатии).

В отдельных случаях опытные образцы нагружают непрерывно до разрушения. При этом длительность испытання призм в зависимости от принятой методики увели-

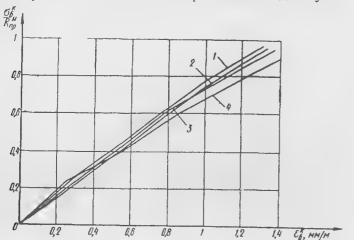


Рис. 29. Продольные деформации сжатия яченстых бетонов при выдержках

1 0 мин; 2 -- 1 мин, 3 -- 5 мин; 4 -- 15 мин

чивается от 10—15 сек до 2,5 ч; графики деформаций

ячеистобетонных призм приведены на рис. 29.

Испытания проводятся, как правило, на призмах размером от $10 \times 10 \times 30$ до $20 \times 20 \times 80$ см; за рубежом поперечное сечение призм составляет 7,5 х 7,5 см. До последнего времени призмы испытывали при влажности бетона 8—15%, однако ГОСТ 12852—67 [25] рекомендует для определения деформаций и прочности ячеистых бетонов

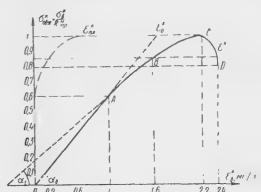


Рис. 30. Диаграмма сжатия ячеистых бетонов

испытывать призмы размером 10×10×30 см, высушенные до постоянного веса.

Кроме того, призмы из ячеистого бетона испытывают на сжатие с попеременными нагрузкой и разгрузкой на каждой ступени нагружения. Испытания призм по этой методике позволяют установить остаточные деформации при различных значениях $\sigma_{\text{обж}}^{\kappa}$ [21].

Деформации образцов из яченстого бетона при осевом растяжении определяют на призмах сечением от 25 до 100 см2 или на стандартных восьмерках либо при испытании кубов (или цилиндров) на раскалывание [25, 49, 90].

При испытаниях на сжатие и растяжение деформации измеряют при помощи индикаторов часового типа, тен-

зометров и тензодатчиков.

Продольные деформации сжатия. В результате многочисленных испытаний на сжатие яченстобетонных призм при кратковременной нагрузке [31, 41, 49, 62, 64, 83, 90] была уточнена диаграмма сжатия яченстых бетонов (рис. 30).

Из рассмотрения этой диаграммы следует, что до точки A продольные деформации $\varepsilon_6^{\kappa} = \varepsilon_0^{\kappa}$ пропорциональны напряжениям σ_6^{κ} ; точка A соответствует пределу упругости ячеистого бетона $\sigma_6^{\kappa} = 0,6~R_{\rm np}^{\rm H}$; при напряжениях $\sigma_6^{\kappa} < 0,6~R_{\rm np}^{\rm H}$ пластические деформации $\varepsilon_{\rm nn}^{\kappa}$ практически не отмечаются. С повышением напряжен я бетона кривая деформаций поднимается вверх до точки B, которой соответствует напряжение бетона $\sigma_6^{\kappa} = 0,85~R_{\rm np}^{\rm H}$. На участке AB с повышением напряжения деформации $\varepsilon_{\rm nn}^{\kappa}$ незначительно возрастают, что связано с развитием в бетоне микрогрещин; этот участок диаграммы характеризуется линией, угол наклона которой к оси абсцисс меньше угла наклона линин $OA(\alpha_1 < \alpha_0)$.

При дальнейшем повышении напряжения $\sigma_6^\kappa > 0,85 R_{\rm пр}^{\rm п}$ зависимость между деформациями и напряжениями выражается кривой линией, выпуклой кверху, деформации бетона растут значительно быстрее, чем напряжения. На участке BC наблюдаются значительные деформации, которые связаны с усиленным развитием в бетоне микротре-

щин, переходящих в макротрещины. Точка C соответствует наибольшему значению напряжений $\sigma_6^{\kappa} = R_{\text{пр}}^{\text{п}}$. При напряжении, соответствующем точке D, призма полностью разрушается — напряжения в бетоне ниже, чем $R_{\text{пр}}^{\text{н}}$. Развитие деформаций на этом участке связано с развитием необратимых макротрещин.

При кратковременных испытаниях призм значения предельных продольных относительных деформаций бетона ε_6^{κ} соответствуют нагрузкам, близким к разрушающим. Величина их колеблется в значительных пределах— от 0,9 до 3 mm/m. Установить четкую зависимость между кубиковой прочностью ячеистого бетона и его предельными деформациями ввиду большого разброса результатов испытаний не удалось.

Опыты показали, что наибольшие предельные деформации отмечаются в бетонах на известковом вяжущем, а наименьшие - - на цементном и плаковом.

На основании проведенных исследований зависимость между огносительными напряженнями $\sigma_{\text{обж}}^{\kappa} = \sigma_{6}^{\kappa} \colon R_{\text{пр}}^{\text{н}}$ и относительными деформациями сжатия ε_{6}^{κ} может быть выражена формулой вида.

$$\sigma_{\alpha\delta,\kappa}^{\kappa} = a\epsilon_{\delta}^{\kappa} - b\left(\epsilon_{\delta}^{\kappa}\right)^{2},$$
 (38)

где a и b — постоянные величины, зависящие от вида яченстого бетона, показателей его прочности и объемного веса.

На рис. 31 в качестве примера приведен график продольных деформаций сжатия шведских ячеистых бетонов, по данным испытаний А. Т. Дворядкина [31] и Э. Пуринса [90], которые весьма близки к диаграмме, изображенной на рис. 30.

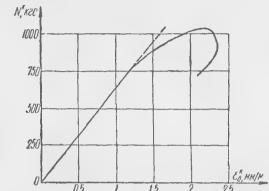


Рис. 31. Продольные деформации сжатия шведского газобетона при влажностн 7%

Момент появления первых микротрещин, невидимых на поверхности бетонного образца, может быть зафиксирован при помощи ультразвука. Такие исследования проводились на образцах из ячеистого бетона Г. А. Тетерсом [76], К. И. Бахтияровым [7] и др.

Испытания Г. А. Тетерса показали, что при нагрузке, равной примерно 0,5 разрушающей, скорость прохождения ультразвука через газобетопный образец, испытываемый на сжатие, начинает падать, что свидетельствует о нарушении структуры газобетона и появлении в нем микротрещин.

На рис. 32 приведены графики деформаций газобетонных призм, которые были испытаны по методике, предусматривавшей разгрузку призмы на каждой ступени предварительного нагружения. Разгрузку производили до начальной нагрузки, соответствовавшей напряжению $\sigma_6^{\kappa} \approx 0,055~R_{\rm np}^{\rm np}$, аналогично с рекомендациями Временной инструкции [21]. Из графика видно, как меняются упругие, пластические и остаточные деформации ячеистого бетона при испытании на сжатие со сбросом нагрузки.

Поперечные деформации растяжения при сжатии. При испытании бетонных призм на одно-

осное сжатие измеряют не только продольные, но и поперечные деформации. По величине этих деформаций можно судить о пластических свойства, бетона, а также определить момент появления в нем первых трещин.

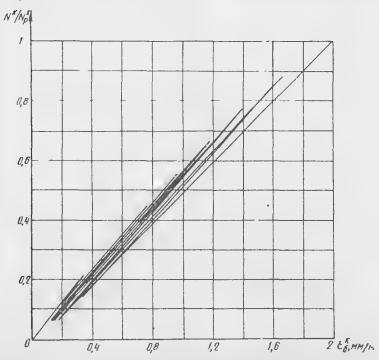


Рис. 32. Продольные деформации ячеистых бетонов при попеременном нагружении и разгружении

Поперечные относительные деформации характеризуются коэффициентами μ и ν :

$$\mu = \frac{\varepsilon_{6.\pi}^{\kappa}}{\varepsilon_{\blacksquare}^{\kappa}} , \qquad (39)$$

где $\epsilon_{6.\pi}^{\kappa}$ — поперечные полные относительные деформации; ϵ_{6}^{κ} — продольные полные относительные деформации;

$$v = \frac{\Delta \epsilon_{6.\pi}^{\kappa}}{\Delta \epsilon_{6}^{\kappa}} , \qquad (40)$$

где $\Delta \varepsilon_{6,n}^k$ — приращение полных поперечных деформаций; $\Delta \varepsilon_6^k$ — то же, продольных деформаций.

По величине коэффициента ν О. Я. Берг [9] определяет начальный момент появления микротрещин в тяжелом бетоне. В этом бетоне образование микротрещин наблюдается в тех случаях, когда $\nu > 0.5$, что следует из равенства, которое характеризует относительное изменение едличного объема ΔV твердого тела при осевом сжатии:

$$\Delta V = \varepsilon_0^{\kappa} (2\nu - 1). \tag{41}$$

Если v<0.5, объем образца уменьшается $\Lambda V<0$, если v=0.5, он не меняется $\Delta V=0$, если v>0.5, объем образ-

ца увеличивается $\Delta V > 0$.

Для тяжелых бетонов к моменту обнаружения разрывов величина относительной поперечной деформации составляла в среднем $\epsilon_{6.n}^{\kappa} = 0.1 \ \text{мм/м}$, что соответствует средним величинам предельной деформации тяжелого бе-

тона при осевом растяжении.

Дальнейшие исследования показали, что процесс появления микротрещин пельзя представлять мгновенным при достижении значения v более 0,5. Для тяжелого бетона различают верхнюю условную границу микротрещин и нижнюю границу микроразрушений [10]. При многочисленных испытаниях призм из ячеистых бетонов на одноосное сжатие первые видимые трещины на их поверхности наблюдались при напряжении $\sigma_6^{\kappa} = (0,8 \div 1)~R_{\rm пр}^{\rm H}$. Однако потрескивание, свидетельствующее о появлении невидимых микротрещин, отмечалось и при напряжениях $\sigma_6^{\kappa} \leq 0,5~R_{\rm пр}^{\rm H}$ [76].

Исследования поперечных деформаций, выполненные для различных видов ячеистых бетонов, показали, что при напряжении $\sigma_6^{\kappa} \leq 0.5~R_{\rm пp}^{\rm H}$ коэффициент поперечных деформаций μ меняется незначительно от 0,18 до 0,22, составляя в средием 0,2, что и принято в нормативных до-

кументах.

Представляют интерес исследования поперечных деформаций, выполненные Э. Пуринсом [90] в Швеции. График зависимости $\varepsilon_{6.\pi}^{\kappa}$ от N^{κ} (действующей нагрузки) для ячеистых бетонов приведен на рис. 33. Из него видно, что при действии сжимающей нагрузки диагр ε ма поперечных деформаций газобетона аналогична диаграмме продольных.

Попытка оценить момент появления первых микротрещин в ячеистом бетоне при помощи коэффициентов μ и ν , как это было сделано для тяжелого бетона, не увенчалась успехом.

Графики продольных и поперечных деформаций ячеистых бетонов [51] приведены на рис. 34, а характеристики μ , ν и ΔV — на рис. 35.

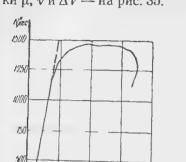


Рис. 33. Поперечиые деформации шведских ячеистых бетонов

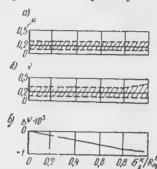


Рис. 35. Изменение характеристик поперечиых деформаций яченстых бетонов

$$a - \mu = \frac{\varepsilon_{\Pi}}{\varepsilon_{\Pi p}}; \quad \delta - \nu = \frac{\Delta \varepsilon_{\Pi}}{\Delta \varepsilon_{\Pi p}};$$

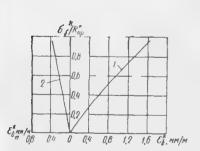


Рис. 34. Продольные *1* и поперечные *2* деформации яченстых бетонов

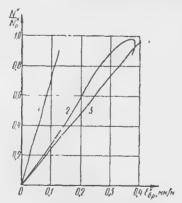


Рис. 36. Продольные деформации ячеистых бетонов при осевом растяжении
1, 3 — по данным ЦНИИСК; 2 — по данным Э. Пуринса

Исследования поперечных деформаций ячеистого бетона, проведенные в ЦНИИСК [41], НИИЖБ [51] и ЦНИИСМ ВНР [83], позволили сделать вывод, что ко эффициенты μ и ν , а также характер их изменения с повышением напряжения σ_6^{κ} значительно отличаются от аналогичных характеристик, полученных для обычного тяжелого бетона. Очевидно, это объясняется тем, что ячеистый бетон — пористый материал, в межпоровых стенках которого имеются микротрещины. При его сжатии предольные деформации могут развиваться за счет уплотнения материала, закрытия микротрещин, а также вследствие разрушения межпоровых стенок. Однако увеличения поперечных размеров (объема) образца даже при напряжениях, близких к пределу прочности бетона, не наблюдается.

Способ, нозволяющий определить момент появления микротрещии в ячеистом бетоне путем измерения скорости распространения ультразвука, требует дополнительной опытной проверки, так как не всегла удается по-

лучить положительный результат.

В итоге проведенных исследований были измерены поперечные деформации растяжения Ев, для различных видов ячеистых бетонов. Для отечественных ячеистых бетонов объемного веса 700—1200 кг/м³ на цементном и шлаковом вяжущем при напряжении $\sigma_6^{\kappa} = 0.5 \, R_{\rm np}^{\rm H}$ поперечные деформации составили в среднем 0,14 мм/м, а для бетонов на известковом вяжущем — 0,23 мм/м; при напряжениях, близких к пределу прочности, $\sigma_6^{\rm R} = 0.9 \ R_{\rm np}^{\rm H}$, поперечные деформации ячеистых бетонов на цементном и шлаковом вяжущем составили в среднем 0.3 мм/м, для бетонов на известковом вяжущем — 0,55 мм/м. Для шведских ячеистых бетонов на цементе (сипорекс на песке) $\gamma_c = 400 \div 650$ кг/м³ при $\sigma_0^{\kappa} = 0.5$ $R_{\rm np}^{\rm H}$ поперечные деформации составили в среднем 0,35 мм/м, а при $\sigma_6^{\kappa} =$ $=R_{nn}^{H}$ —0,74 мм/м. Для шведских яченстых бетонов на извести $\gamma_c = 650 \ \kappa z/m^3$ (итонг белый и голубой) поперечные деформации при $\sigma_6^{\kappa} = R_{np}^{\mu}$ в среднем были равны 0,83 мм/м. Для венгерских ячеистых бетонов на извести $\gamma_{\rm c} = 900 \div 1000 \; \kappa e/{\it M}^3 \;$ при $\sigma_{\rm 6}^{\kappa} = 0.5 \; R_{\rm np}^{\kappa} \;$ поперечные деформации были в среднем равны 0,18 мм/м, а при $\sigma_6^{\kappa} =$ $=R_{nn}^{H}-0.5 \, MM/M.$

Продольные деформации растяжения.

250

Исследования напряженного состояния тяжелого бетона при одноосном сжатии [9] показали, что сопротивление его отрыву играет основную роль в оценке прочности бетона. Поэтому изучение сопротивления отрыву, которое в основном определяется в опытах на одноосное растяжение, и установление деформаций $\mathcal{E}_{6,p}^{\kappa}$, развивающихся при испытании на растяжение, представляют значительный интерес.

Опытных данных по исследованию сопротивления ячеистых бетонов осевому растяжению сравнительно немного. Деформации ячеистых бетонов при осевом растяжении были исследованы в ЦНИИСК [41] и в Институте строительной техники в Гетеборге [31, 90]. Графики деформаций ячеистобетонных призм, по 36

ных исследователей, приведены на рис. 36.

Опыты показали, что предельная растяжимость отечественных ячеистых бетонов при $\sigma_{6,p}^{\kappa} = 0.8 \ R_p^n$ колеблется от 0,12 до 0,33 *мм/м*.

Предельные деформации при растяжении для отдельных видов шведского ячеистого бетона в среднем изменялись от 0.35 до 0.43 мм/м, а для некоторых образцов они колебались от 0.27 до 0.51 мм/м.

Сравнение предельных деформаций разрыва ячеистого бетона с предельными поперечными деформациями при осевом сжатии показало, что при напряжении $\sigma_6^{\kappa} \gg 0.5R_{\rm np}^{\rm H}$ поперечные деформации сжатых призм близки по своей величине к значениям предельных деформаций растяжения, полученных при осевом растяжении.

Начальный модуль деформации при сжатии. Значения начального модуля деформаций (упругости) ячеистых бетонов E_6^{κ} используют для расчета жесткости изгибаемых ячеистобетонных элементов конструкций, а также для вычисления деформаций сжатых элементов. Обычно начальный модуль деформаций определяют испытанием призм на сжатие по диаграмме сжатия $\sigma_6^{\kappa} - \epsilon_6^{\kappa}$, которая подробно рассмотрена выше.

Многочисленные исследования деформативности ячеистых бетонов при сжатии показали, что их модуль деформаций зависит от объемного веса и прочности на сжатие.

Для определення модуля деформаций яченстых бетонов выведен целый ряд эминрических формул. Их апалилу носвящено оольное количество отсчественных и зарубежных исследований [7, 49, 61, 90, 91]. Численные зиачения модуля деформаций, определенные по различным формулам, сравнивать трудно, так как они выведены по результатам испытания образцов из различных яченстых бетонов и, кроме того, опытные образцы имели различные размеры и влажность.

Формулы для определения модуля деформаций мож-

но разделить на три группы:

формулы, в которых модуль деформаций представлен как функция прочности бетона при сжатии.

$$E_6^{\kappa} = kR^n \ \kappa cc/c M^2 \,, \tag{42}$$

где k — эмпирический коэффициент, R — предел прочности гри сжатии ($R_{\bf c}$ или $R_{\bf np}^{\bf H}$); n — показатель степени, n = 0,5 \div 1;

формулы, в которых модуль деформаций представлен как функция объемного веса

$$E_6^{\kappa} = k \gamma_c^n \ \kappa ac/c M^2; \tag{43}$$

формулы, в которых модуль деформаций представлен в зависимости от прочности и объемного веса.

По данным наших исследований отечественных яченстых бетонов, модуль деформаций E_6^κ вполне удовлетворительно может быть определен по формуле

$$E_6^{\kappa} = k \gamma_c \sqrt{R_{\rm np}^{\rm H}} \kappa \varepsilon c / c M^2.$$
 (34)

Величина k равна 4 для безавтоклавных ячеистых бетонов, 5 — для бесцементных автоклавных ячеистых бетонов и 6 — для автоклавных цементных бетонов.

Для определения E_6^{κ} зарубежных ячеистых бетонов можно привести формулу Э. Пуринса [64], выведенную на основании многочисленных испытаний призм:

$$E_6^{\kappa} = k \sqrt{R_{\text{пр}}^{\text{H}} \kappa c c/c M^2}. \tag{45}$$

Величина k для различных видов ячеистого бетона меняется от 2000 до 4000.

Значения модулей деформаций, определенные на образцах-призмах размером $20 \times 20 \times 80$ c m, приведены в табл. 29. Величина E_6^{κ} в этой таблице вычислена по формуле

$$E_6^{\kappa} = \sigma_6^{\kappa} : \varepsilon_6^{\kappa}, \tag{46}$$

где $\sigma_0^{\rm K} = 0.2~R_{\rm пр}^{\rm H}$ н $e_0^{\rm K}$ — относительные деформации при этом папряжении.

Зависимость начального модуля деформаций E_6^{κ} от вида и марки яченстого бетона

Яченстый бетон	EK прн R, кес/с»									
	15	25	35	50	75	100	150			
Автоклавный на цементном вяжущем	12 000	17 000	25 000	38 000	50 200	7 5 000	100 000			
Автоклавный на бесцементном вяжущем и безавтоклавный на цементном вяжущем	10 000	14 000	20 000	30 000	40 000	60 000	80 000			

Модуль деформаций при растяжении. Исследования модуля деформаций ячеистых бетонов при растяжении проводили как в Советском Союзе [41], так и за рубежом [64, 90]. Как установлено проведенными исследованиями, модуль деформаций ячеистых бетонов при осевом растяжении $E_{6,p}^{\kappa}$ в среднем на 20—40% выше модуля леформаций при сжатии E_{6}^{κ} при одинаковом объемном весе и прочности.

Прочность и деформации яченстых бегонов при различной влажности. Прочность яченстых бегонов при сжагии, растяжении, изгибе и срезе зависит от свободного содержания в них влаги. С уменьшением количества воды прочность повышается. Зависимость между прочностью при сжатии $R_{\boldsymbol{w}}$ и содержанием влаги W (рис. 37) выражается следующими формулами [41, 89]:

$$R_w = R_c (0.001 W^2 - 0.04 W + 1);$$
 (47)

$$R_w = R_c (1 - 0.038 \sqrt[3]{W^2 + g}), \tag{48}$$

где g=-1.03 для цементных и g=-1.004 для известковых бетонов.

Влияние влажности ячеистых бетонов на прочность при сжагии, по дашным Э. Пурписа [90], показано на рис. 38.

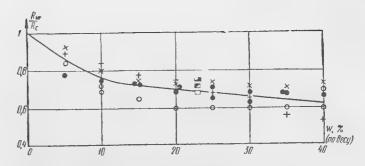


Рис. 37. Влияние влажности на прочность при сжатии отечественных яченстых бетонов объемного веса от 400 до $1200~\kappa z/m^3$

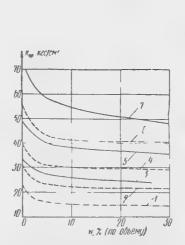
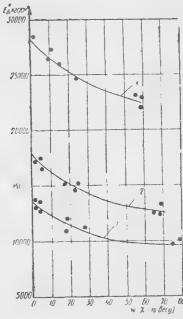


Рис. 38. Влияние влажности на прочность при сжатин шведских яченстых бегонов

f — фирмы «Сипорекс» на дементе и песке γ =500 кг/м³; 2, 4, 6 — то же, на шлаке, γ =400; 500 и 650 кг/м³; 3, 5, 7 — фирмы «Итонг» на извести и песке γ =400, 500 и 650 кг/м³



Ряс. 39. Влияние влажности на модуль деформаций отечественных яченстых бетонов

 2, 3 — объемный вес бетона соответственно 500, 600 и 700 кг/м³ При определении прочности на сжатие влажного ячеистого бетона рекомендуется вводить понижающие поправочные коэффициенты (табл. 30) для расчета сжатых элементов. В порядке первого приближения можно
распространить их также на расчет при растяжении, изгибе и срезе.

Таблица 30

Значения	K_{ω}	при	различной	влажности
----------	--------------	-----	-----------	-----------

Влажность W в % по весу	0	5	8	10	15	20	25 н более
Поправочные коэффици- енты K_w	1	0,9	0,84	0,8	0,75	0,7	0,65

При промежуточных значениях влажности поправочные коэффициенты определяют интерполяцией. Расчетные значения влажности яченстых бетонов для ограждающих конструкций (стен, перекрытий и покрытий) приведены ранее. Коэффициент размятчения ячеистого бетона после насыщения его водой равен 0,7—0,8 для цементных и 0,5—0,6 для других видов ячеистых бетонов.

Выше отмечалось, что деформации и модули деформаций ячеистых бетонов в ряде случаев определяют на высушенных образцах, однако известно, что в процессе эксплуатации конструкции работают при определенной влажности. Поэтому необходимо установить влияние влажности на деформации и модуль деформаций яченстого бетона. Такие исследования были проведены в Советском Союзе [33, 35], а также за рубежом [31, 81, 90].

По данным В. П. Клодченко [33], модуль деформаций отечественных ячеистых бетонов с увеличением влажности уменьшается, что отчетливо видно из рис. 39.

В опытах Э. Пуринса установлено влияние влажности на деформации бетона. Наибольшие предельные деформации имеют бетоны в высушенном состоянии. Увеличение влажности бетона до полного насыщения снижает его предельные деформации в среднем на 10—20%.

Модуль деформаций иченстого бетопа с увеличением влажности уменьшается. В качестве примера на рис. 40 припедены графики изменения модуля де формаций инведских яченстых бетонов с увеличением их влажности. Из этих графиков следует, что сухой материал обладает наиболее высоким модулем деформаций. С увеличением влажности модуль деформаций резко снижается; осо-

бенно ощутимо это снижение при возрастании влажности до 2—3% (по объему). При дальнейшем увеличении влажности модуль деформаций ячеистого бетона на цементном вяжущем практически не меняется. Кривые модуля деформаций ячеистого бетона на извести продол-

жают снижаться даже при влажности, превышающей 2—3% по объему. Общее снижение модуля деформаций при переходе от сухого бетона к насыщенному водой меняется для отдельных видов бетона в средием в пределах от 10 до 20%.

Исследования показали, что небольшое увеличение влажности бетона (от 2 до 3%) резко снижает прочность на сжатие; это снижение составляет 60-80% общего снижения прочности на сжатие, наблюдаемого при переходе от сухого бетона к насышенному водой. При переходе от прочности сухих образцов к прочности водонасыщенных отмечается общее снижение прочности ячеистого бетона на сжатие от 20 до 50%. Разность в прочности сухих

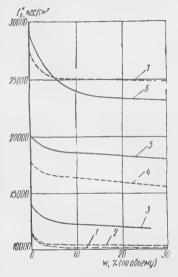


Рис. 40. Влияние влажности на модуль деформаций шведских ячеистых бетонов

I-7 — ячеистые бетоны объемным весом 400-650 кг/м³. Обозначения кривых те же, что и на рис. 38

и влажных материалов обычно объясняют изменениями в цементном геле ячеистого бетона, насыщенного водой.

Английские исследователи Бесси и Дилнот [81] считают, что основное влияние на прочностные характеристики ячеистого бетона оказывает вода, заполняющая гелевые поры; вода, заполняющая макропоры, на прочность при сжатии влияет незначительно. Снижение прочности на сжатие объясияется ослаблением цементного геля при адсорбции им воды.

Исследования [33, 35, 90] показали, что с увеличением влажности ячеистого бетона снижаются его прочность и деформации, однако прочность снижается в большей степени, что и приводит к уменьшению его модуля де-

формаций. Поэтому понижающие коэффициенты K_w следует учитывать при назначении не голько прочностных, но и деформативных характеристик иченстых бетонов.

Большие исследования по определению прочностных и деформативных свойств газосиликата при действии повышенной влажности выполнены Ю. В. Кореневым, который установил влияние влажности на прочность и деформации газосиликатов (при различных силовых воздействиях) [35].

Прочность и деформации бетона при длительном действии сжимающей нагрузки

Мстодика испытаний. Элементы из автоклавных яченстых бетонов широко применяют для наружных и внутренних стен, а также покрытий. Эти конструкции нодвергаются длительному действию нагрузки, поэтому исследования возникающих деформаций и прочности ячеистых бетонов представляют не только научный, но и практический интерес. Ниже приводятся результаты испытаний, выполненных в ЦНИИСК и НИИЖБ Госстроя СССР и в ряде других организаций.

Прочность и деформации ячеистых бетонов при длигельном действии нагрузок исследованы в значительно меньшен степени, чем при кратковременных. Данные по длигельным испытаниям яченстых бетонов объемного веса от 500 до 1200 кг/м³ с кубиковой прочностью (контрольной характеристикой) от 25 до 250 кгс/см² приведе-

ны в работах [42, 49].

Испытания ячеистобетонных призм размерами $15 \times 15 \times 60$ и $20 \times 20 \times 80$ см проводили по следующей методике. Опытные образцы испытывали по сериям. Каждая серия состояла из трех групп призм:

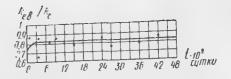
І группа — эталонные, испытывавшиеся в прессе при действии кратковременной нагрузки для определения призменной прочности $R_{\rm np}^{\rm s}$ перед началом испытаний при

длительной нагрузке;

И группа — основные, для определения $R_{\rm np}^{\rm o}$, испытывавшиеся в пружинных установках при длительной нагрузке (отпосительном длительном напряжении $\sigma_{\rm obs}^{\rm m} = -\sigma_6^{\rm m}: R_{\rm np}^{\rm h}$ от 0,2 до 0,85 ожидаемой разрушающей ($\sigma_6^{\rm a}$ — постоянное длительное напряжение в бетоне);

III группа — контрольные, для определения R_{np}^{κ} , на

Рис. 41. Изменение кубиковой прочности ячеистых бетонов во времени



которых измеряли температурные и усадочные деформации во времени.

При испытаниях деформации основных и контрольных призм измеряли периодически через 1, 3, 5, 10, 15 и 30 су-

ток, а затем один раз в месяц.

Изменение кубиковой и призменной прочности во времени. В ЦНИИСК и НИИЖБ были проведены испытания на сжатие контрольных кубог с ребром 10 см из автоклавных ячеистых бетонов на цементном и шлаковом вяжущих. Объемный вес бетона в сухом состоянии $\gamma_c = 1000 \div 1100 \ \kappa z/m^3$, кубиковая прочность $R_c = 100 \div 150 \ \kappa zc/cm^2$. Кубы хранили в лаборатории при температуре 18—22° С и относительной влажности воздуха 40—60%; испытывали на сжатие по три куба-близнеца при естественной влажности через 10, 20, 30, 60, 90, 180, 360 суток и далее через 1—3 года В результате испытаний устанавливали кубиковую прочность ячеисгого бетона в сухом состоянии R_c в возрасте до 30 суток и при естественной влажности R_c в возрасте до 30 суток и при естественной влажности R_c в различном возрасте.

Средние опытные данные испытаний кубов приведены

на рис. 41.

В течение первых грех месяцев кубиковая прочность увеличивается в среднем примерно на 25%, при этом влажность кубов из ячеистого бетона уменьшается с 15—20 (по весу) до 8—10%. После стабилизации влажности в пределах 8—10% кубиковая прочность практически пеменяется в течение 15 лет.

Кроме контрольных кубов испытывали эталонные и контрольные призмы при кратковременном сжатии и определяли коэффициенты призменной прочности $K_{\rm n,n} = R_{\rm np}^{\rm H}:R_{\rm c}$. Ячеистобетонные призмы были испытаны на сжатие в возрасте от 15 суток до 6,5 лет. Испытания показали, что коэффициенты призменной прочности образцов, испытанных как в возрасте 15—30 суток, так и более 6 лет, оказались практически одинаковыми: $K_{\rm n,n} = R_{\rm np}^{\rm n}:R_{\rm c}=0.7$.

Гаким образом, у эталонных и контрольных призм, выдержанных в лабораторных условиях без нагрузки в течение 6,5 лет, уменьшения прочности практически не произошло.

Изменение модуля деформаций. По деформациям призм ε_6^{κ} , измеренным при напряженин $\sigma_6^{\kappa} = -0.2R_{\rm пр}$, были вычислены начальные модули деформа-

ций (упругости) бетона: $E_6 = \sigma_6^{\kappa} : \varepsilon_6^{\kappa}$.

Сравнение начальных модулей деформаций, полученных при кратковременном действии нагрузок в прессе эталонных E_6° , основных E_6° и контрольных E_6^{κ} призм, находившихся 5—6 лет под длительным обжатием $\sigma_{\text{обж}}^{\pi} < 0.4$, показало, что они близки по величине: $E_6^{\circ} = E_6^{\kappa} = E_6^{\kappa}$.

К аналогичному выводу о постоянстве модуля упругости автоклавного газосиликата пришли В. И. Скатын-

ский и Ю. В. Крумелис [73].

Однако начальные модули деформации E_0° основных призм, загруженных 5—6 лет нагрузкой $\sigma_{\text{обж}}^{\text{д}} \geqslant 0,4$, меньше начальных модулей деформаций эталонных и контрольных призм.

Снижение начального модуля деформаций длительно загруженных основных призм, видимо, было вызвано развитием в иих микротрещин. Наличие же микротрещин может привести не только к спижению прочности при сжатин ячеистого бетона, но и к значительному повышению его деформативности.

Длительная прочность ячеистого бетона определяется максимальным напряжением σ_6^{π} , которое может воспринять бетон при длительном действии

статической пагрузки.

В опытах ЦНЙИСК длительную прочность ячеистого бегона устанавливали по величине обжатия основных призм σ_6^{π} , при котором они разрушались в пружинных установках. Для оценки длительной прочности ячеистобетонных призм введен коэффициент длительной прочности $m_{\pi\pi} = \sigma_6^{\pi} : R_{10}^{\pi}$.

Основные призмы, изготовленные из различных видов ячеистого бетона, испытывали при обжатии $0.2 \ll \sigma_{\rm obs}^{\rm A} \ll 0.85$. Опыты показали, что при обжатии $0.2 \ll \sigma_{\rm obs}^{\rm A} \ll 0.5$ не было случаев разрушения их в течение 5-6 лет.

Длительные пеныгання основных призм, обжатых нагрузкой $0.5 < \sigma_{\text{обж}}^{\tau} \le 0.85$, ноказали, что с течением времени их несущая способность может снижаться; в некогорых призмах появились микро- и макротрещины, а часть призм разрушилась.

Из результатов испытаний призм [42] следует, что для призм, загруженных $\sigma_{oбж}^{\pi}$ 0,5 в течение 5—6 лет, коэффициент длительной прочности $m_{\pi\pi}=1$. Для призм, загруженных при нагруэках $0.6 < \sigma_{oбж}^{\pi} \leqslant 0.85$, $m_{\pi\pi}$ ячеистых бетонов на цементном вяжущем близок к 0,7, а на

известковом -- к 0,6.

Учитывая большой разорос показателей прочности, пельзя считать, что значения тлительного обжатия $\sigma_{n\delta \mathbf{x}}^{t}$ достаточно точно установлены, поэтому значения m_{nn}

подлежат уточнению.

Деформации при длигельном действии сжимающей нагрутки. Автоклавный ячеистый бетои характеризуется тем, что межпоровые стенки выполнены из цементирующих повообразований, обладающих сравинтельно малой ползучестью. Однако, несмотря на это, ячеистый бетои является упруго-пластическим материалом Деформации его во времени развиваются частично вследствие деформаций ползучести гелевой соглавляющей, что, как правило, наблюдается даже при малых напряжениях, а также изма развития микротреший в межноровых стенках, отмечаемого при высоких длительных напряжениях

При неследованиях основные призмы загружают на начальной стадии нагрузкой $\sigma_{\text{обж}}^{+}$, при этом измеряют начальные деформации ε_{0} В дальнейшем на этих же призмах, загруженных постоянной нагрузкой $\sigma_{\text{обж}}^{\pi}$, измеряют длительные деформации $\varepsilon_{\text{дл}}$ во времени. На контрольных призмах измеряют усадочные деформации $\varepsilon_{\text{ус}}$. Деформации ползучести $\varepsilon_{\text{пл}}$ получают на основании экспериментальных данных: $\varepsilon_{\text{пл}} = \varepsilon_{\text{гл}} + \varepsilon_{\text{гс}}$.

Для количественной оценки ползучести автоклавных яченстых бетонов можно воспользоваться основными характеристиками, принятыми для оценки ползучести обычного бетона, — характеристикой ползучести $\phi_t = \varepsilon_{\text{nn}} : \varepsilon_0$

и мерой ползучести $C_t = \varepsilon_{\mathrm{n}\pi} : \sigma_{\mathrm{o}}^{\tau}$.

Псиытания на длительное действие нагрузки были проведены в ЦПИИСК и ПИИЖБ. Графики изменения температуры и относительной влажности воздуха в пери-

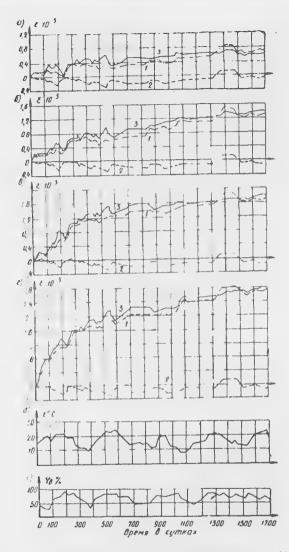


Рис 42. Изменение деформаций ползучести яченстых бетонов

 $a - \sigma_{\rm OGW}^{\rm M} = 0.3; \ b - \sigma_{\rm OGW}^{\rm M} = 0.5; \ b - \sigma_{\rm OGW}^{\rm M} = 0.7; \ a - \sigma_{\rm OGW}^{\rm M} = 0.7;$ $a - \sigma_{\rm OGW}$

од проведения испытаний показаны на рис. 42. Здесь же даны характерные кривые изменения деформаций ячеистых бетонов во времени.

При длительном нагружении яченстобетонных призм нагрузками $\sigma_{\text{обж}}^{\pi} < 0,3$ деформации ползучести имеют затухающий во времени характер; через 2—3 года рост этих деформаций практически прекращается. При этом напряжении зависимость между деформациями ползучести $\epsilon_{\text{пл}}$ при длительном действии нагрузки σ_{δ}^{π} близка к линейной; практически ползучесть автоклавных ячеистых бетонов при таком напряжении можно считать линейной.

При длительном загружении призм нагрузками 0,3 $\sigma_{\text{обж}}^{\tau} \leq 0.6$ деформации ползучести слабо затухают во времени.

При длительном загружении призм нагрузками $\sigma_{\text{об-ж}}^{\text{A}} > 0,6$ деформации польучести из затухают во времени. При обжатии $C_{\text{об-к}}^{\text{T}} = 0,3$ ползучесть автоклавных яченстых бетонов пелинейна.

Как уже отмечалось, ползучесть автоклавных ячеистых бегонов может зыть объяснена частично вязким гечением геля, а также развитием в межноровых степктх микротрещии вследствие концентрации в них напряжений. При высоких напряжениях развитие микротрещии протекает более интенсивно: они превращаются в макротрещины. В этом и заключается причина развития незатухающих деформаций ползучести в яченстых бетонах, которые со временем приводят к разрушению сжатых яченстобетонных элементов.

При линейной ползучести, когда деформации $\varepsilon_{\rm пл}$ затухают во времени, зависимость деформаций ползучести за время действия длительной нагрузки $(t-t_m)$, по данным ЦНИИСК, может быть выражена известной формулой

$$\varepsilon_{\text{mn}} = \sigma_6^{\text{q}} C_t \cdot \left[1 - e^{-m(t - t_m)^{1/k}} \right],$$
(49)

где σ_6^{\prime} — постоянное длительное напряжение в бетоне в $\kappa cc/c\kappa^2$; C_t — предельная мера ползучести бетона в $c\kappa^2/\kappa cc$, зависящая от вида яченстого бетона; m— опытный коэффициент, равнын 0,026; k— опытный коэффициент, зависящий от вида бетона и равный 1,25—2; t, t_m — позраст материала в данный моменг и при загружевии и сутках

В табл. 31 приведены средине значения характеристики ползучести Φ_t^c , меры ползучести C_t^c и влажностной усадки в, вычисленные на основании исследований.

Таблица 31

Показатели ползучести яченстых бетонов

Ячеистый бетон	ү _с , кејм ³	R _c , кес/см²	Характерис- тика ползу- ести ос	Мера полау- чести С ^C ∘ 10° в см²/кгс	Влажностная усадка вс в мм/м
На цементном, сме- шанном, шлаковом вяжущем и моло том кварцевом пес	700—900 1000—1200	50—75 100—200	-A 3 #	70 30	0,6 0,5
На известковом вя- жущем и молотом кварцевом песке	700—900 1000—1200	50—75 100—200	1,6	90 40	0,7 0,6

Примечтии с Средние значени с ϕ_{ℓ}^{c} , C_{ℓ}^{c} и ε_{v}^{c} получены в резунь

1) Топ езбиму этопото стоиных празм в гление — о лет ... Преде вные спачения ϕ_{C}^{C} , C_{L}^{C} и ϵ_{C}^{C} можно ориентировочно вычислит вугем умножения показателен, приведенных в таблице, на коэффициент 1,2 для бетонов γ_{C} =1000—1200 кг/м³.

Исследования ползучести автоклавных ячеистых бето нов, выполненные в последние годы в Лонецком Пром - гройнипроские под руководством С. В. Александровского [1] и в Киевском НИИСК под руководством В. И. Скатынского [73], ноказали, что для яченстых бетонов удовлетворительное совнадение с экспериментальными данными дает зависимость, предложенная С. В. Александровским для «старого» бетона [2]:

$$C(t-\tau) = A_3 \left[1 - e^{-\gamma(t-\tau)}\right] + A_4 \left[1 - e^{-\alpha(t-\tau)}\right],$$
 (50)

где Λ_3 и Λ_4 — постоянные, определенные опытным путем. Численные значения коэффициентов, использованных в формуле (50), для некоторых видов яченстых бетонов приведены в рабогах [1, 73].

Следует указать, что исследовання по ползучести яченстых бетонов выполнены еще в незначительном объеме. В последние годы этот пробел начал восполняться. Предтавляют интерес данные по ползучести, приведенные в работах Л. Рачнамяти [65], Р. Селла [71], Л. Бере-. 1 [80], Г. Банс [5], Ф. Крумля [87], Б. Данилова, Э. Багрия и В. Багрия [1], Ю. Крумелиса [73] и др

Глава III

КОНСТРУКЦИИ ИЗ ЯЧЕИСТЫХ БЕТОНОВ

1. ҚОНСТРУКЦИИ ИЗ ЯЧЕИСТЫХ БЕТОНОВ, ПРИМЕНЯЕМЫЕ В СССР

В Советском Союзе гченстые бетоны применяются в жилых, общественных, промышленных и сельскохозяй ственных зданиях в виде несущих, самонесущих и нене сущих (навесных) элементов ограждающих конструкции.

В жилищном стронгельстве применяют сле дующие изделия и элементы конструкций из ячеисных бетонов

цельные или составные нанели однорядной разрезки на одну компату длиной до 360 см с одинм оконным или дверным проемом или на две комнагы длиноп до 600 см с двумя оконными или с одины оконным и одинм дверным просмами. Оба вида папелей имеют высоту, равную высоте этажа (до 300 см), и толщину, определяе мую теплогехинческим расчетом (от 24 до 40 см).

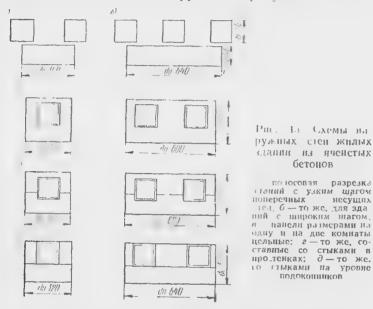
стеновые полупанели полосовой двухблочной разрезки, состоящие из простеночных элементов длиной до 180 см, высогой до 150 см и поясных длиной до 640 см, высотой до 140 см. Толшина этих панелей также составляет от 24 до 40 см;

стеновые крупные простеночные блоки двухрядной разрезки шириной до 140 см, высотой до 270 см и толщипой от 24 до 40 см;

стеновые круппые блоки четырехрядной разрезки шириной до 140 см, высотой до 90 см и толщиной от 24 до 40 см:

стеновые мелкие блоки (камии) высотой до 30 см, длиной до 60 cM и толщинов до 40 cM;

однослонные плиты междуэтажных нерекрытии дли пой до 600 см, инрипой до 150 см и голивной 24 см; однослойные плиты чердачных покрытий с обычной арматурой и двухслойные шириной от 80 до 200 см, длиной до 600 см и тольший от 24 до 30 см с предварительно напряженной стержневой и проволочной арматурой; однослойные илиты покрытий совмещенных бесчердачных крыш шириной до 200 см, длиной до 670 см и тольшиной от 30 до 38 см с вентилируемыми про сухами.



В 1953 г. в Березниках был построен с использованием круппоразмерных ячеистобегонных элементов первый трехэтажный дом серии 439 с полосовой разрезкой паружных степ и шлюм поперечных степ 3,6 м (рис. 43, а). Дома этой серии строились в г. Березники более 10 лет. В дальнейшем были разработаны и получили ингрокое распространение аналогичные дома (серии 467) с более длинными напелями — длиной до 6,4 м (рис. 44). Конструкция этих домов более андустриальна, чем предыдущих, так как имеет меньне монтажных элементов и инюв. Однако в домах этих серий приходится окна и двери устанавливать, закреплять и отделывать на месте монтажа, что спижает индустриальность строительства. Особенно сложно выполнять эти работы в зимнее время.

Более прогрессивны однорядные яченстобетонные стеновые панели высотой, равной высоте этажа, с полной заводской готовностью (см. рис. 43, в. г. д); во всех этих панелях окна и двери вставляют и нанели окрашивают или офактуривают на заводе, а не при монгаже на месте строительства. Производство этих работ в заводских условиях вместо выполнения их на строительной площад-



Рис. 44. Стеновые изпели полосовои разрезки (дома серии 467)

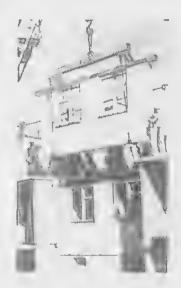
ке представляет большое препмущество однорядных на нелей перед напелями полосовой разрезки. Однорядные папели делают цельными, составными со стыками в простенках и составными со стыками на уровне шта оконных проемов.

Цельные (песоставные) яченстобстонные панели с одним или двумя оконными проемами применяют в основном в типовых домах серии 464 и 468. Таких круппых цельных панелей для стен жилых зданий пезнает и одна зарубежная страна. Для их производства в СССР созданы и применяются автоклавы днаметром 3,6 м, каких нет за рубежом. Однако потребность в таких автоклавах ограничивает возможность повсеместного изготовления панелей, так как многие заводы ячеистого бетона их не имеют. Кроме того, коэффициент использования объема автоклавов при изготовлении цельных панелей, имеющих оконные и дверные проемы уменьшается. В процессе из-

гоговления в таких напелях часто появляются трещины. Технология их изгоговления сложиа. В цельных напелях ириходится устанавливать повышение количество арматурной стали. С их применением уменьизнотся возмож ности разпообразия фасадов зданий. Все эго является существенными педостатками цельных напелей,



Рис. 45 Леннигр госим жом с живиями, имеющими стыки в простей жем (и серению висоты этаж.)



Рт В Монгаж составных (укруппенных) яченс тобетонных напелей на строительстве жсперимен тального дома в Одессе (1964 г.)

Составные яченстобетонные панели со стыками, расноложенными в простепках, имеют почти те же недостатки, что и цельные нанели. Кроме того, расположение горизонтальных швов в простепках и соединение полупанелей путем сварки закладных деталей пельзя считать удачным решением. Поэтому производство данных наислей на заводах в Ленинграде и Новосибирске прекрашлется (рис. 45).

Составные папели, и ображенные на рис В, завот скои силь и которых расположен на уровне низа оконных просмов, не имеют указанных педостатков. Отдельные влементы панелен соединяются между собой с номощью

клея (полимерного или силикатного). Для изготовления элементов панелей не требуются автоклавы диаметром 3,6 м. Простеночные и поясные элементы можно изготовлять по резательной технологии или в кассетных формах и подвергать запариванию в автоклавах диаметром 2 м. При этом достигается более высокий коэффициент заполнения автоклавов. Вероятность появления технологических трещин снижается; сокращается расход стали на арматуру. Затраты труда на укрупнительную сборку (склеивание) панелей невелики и компенсируются указанными преимуществами.

Таким образом, более технологичными, трещиностойкими, дешевыми и удобными для решения архитектурных задач крупнопанельного домостроения являются составные панели (рис. 46). При их применении легче обеспечить разнообразие фасадов зданий, т. е. улучшить архитектуру крупнопанельного стронтельства без значительного увеличения парка форм. Поэтому новые типовые жилые дома проектируются в настоящее время с вариантами наружных стен из составных ячеистобетонных панелей, имсющих заводской стык на уровне низа окон.

Целесообразность перехода на составные панели подтверждает также зарубежный опыт. В ФРГ, Польше, Чехословакии и особенно широко в Швеции уже практически в течение нескольких лет применяются составные панели с размерами на одно и два окна.

Первые составные папели из ячеистого бетопа в степах жилых зданий были применены в СССР в 1964—1965 гг. на строительстве экспериментального дома в Одессе [75]. Поясные и простеночные элементы панелей изготовлялись в кассетных формах высотой 1,5 м, длиной 6 м. Элементы панелей соединялись на силикатном клее без тяжей. Для того чтобы клеевые швы не работали на растяжение, при подъеме панели и монтаже применена автоматическая прижимная траверса. За рубежом панели стягиваются вертикальными стальными тяжами, для пропуска которых в поясных и простеночных элементах просверливаются отверстия.

Внутренние несущие стены из ячеистобетонных элементов применяют у нас очень редко. Только в отдельных зданиях во внутренних стенах были использованы ячеистобетонные панели шириной около 150 см, высотой около 300 см, то тидиной 16 или 24 см или мелкие ячеисто-

бетонные камии. Однако внутренние степы из силикатного кирпича оказываются дешевле степ из ячеистобетонных камней. Поэтому ячеистые бетоны вряд ли будут шпроко использоваться для изготовления элементов впутренних песущих стен. Возможно, что в дальнейшем их будут применять в виде внутриквартирных (ненесущих) перегородок, как это принято в зарубежных странах

Междуэтажные перекрытия, как и внутренние стены, изготовляли у нас из яченстых бетонов до сих пор также

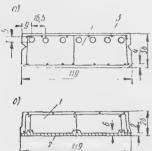


Рис. 47. Поперечные разрезы плит покрытий жалых зданий

а бесчердачных, δ чердачных; I— ячен стый бегон; 2 - обычный тяжелый бегон; 3 — вентилируемые продухи

в незначительном количестве. Эффективность применения конструкций из ячеистых бетонов в нерексытиях гораздо меньше, чем в стенах. Поэтому ячеистобетонные перекрытия смогут найти широкое применение после полного удовлетворения строительства в стеновых материалах либо в отдельных специальных случаях.

Гораздо более целесообразно применять ячеистые

бетоны в покрытиях жилых зданий.

В СССР разработаны конструкции ячеистобетонных панелей для бесчердачных и чердачных покрытий (рис. 47). В бесчердачных плитах рекомендуется устройство вентилирующих каналов диаметром около 5 см, через которые предусмотрено удаление паров и влаги, накапливающихся в верхней части плиты. Это улучшает теплоизоляционные свойства покрытий и повышает долговечность конструкций. В чердачных плитах осушающие каналы не требуются, так как влага удаляется через поверхность илит благодаря провстриванию чердачного пространства.

В чердачных плитах, изготовляемых на комбинате ЖБК № 2 в Москве, в нижней части укладывался слой обычного тяжелого бетона; расположенияя в нем рабо-

чая арматура — предварительно напряженная. Этот слой выполняет функцию пароизоляции и улучшает условия работы арматуры. Предварительное напряжение увеличивает жесткость плит, что позволяет сократить расход стали. Эта в целом рациональная конструкция имеет тот педостаток, что устройство плотного бетона усложняет процесс производства. Кроме того, плиты невозможно изготовлять с помощью резательных машин, как это делается почти на всех заводах в других странах. Более удобно осуществлять предварительное патяжение арматуры без устройства нижнего плотного бетонного слоя. Такие однородные преднапряженные плиты находятся в стадии разработки.

Ячеистобетонные крыши жилых зданий дешевле железобетонных, имеющих тот или иной утеплитель, и индустриальнее (требуется гораздо меньше ручного труда на месте строительства). Поэтому они должны найти

в дальнейшем широкое применение.

Производство и применение стеновых панелей из ячеистых бетонов для жилищного строительства регламентируется ГОСТ 11118—65 [26]. Согласно этому стандарту стеновые панели из ячеистого бетона можно применять также и в зданиях общественного назначения: в школах, больницах, детских садах, яслях и т.п. Применение ячеистобетонных панелей в этих зданиях так же

эффективно, как и в жилых.

Крупные стеновые блоки двухрядной и четырехрядной разрезки применялись в домах с продольными несущими стенами. В последнее время дома этой системы строятся реже, поэтому производство крупных блоков сокращается. Намечается рост производства мелких стеновых блоков (камней), стены из которых на 20—40% дешевле кирпичных и в 3—4 раза легче их [50]. Для расширения применения ячеистобетонных стеновых камней в 1969 г. выпущены Межреспубликанские технические условия на эти камни [55] и разрабатываются проекты малоэтажных зданий со стенами из них.

Для промышленных зданий в разное время были разработаны следующие конструкции из ячеистых

бетонов:

одпослойные и двухслойные степовые папели длиной, как правило, 600 см, а в отдельных случаях 900 и 1200 см; высота панелей 120 и 180 см, толщина от 20 до 30 см; ребристые плиты покрытий с продольными ребрами

из тяжелого бетона высотой 20 см с обычным армированием (КАП), с предварительно напряженной арматурой (КАПН), с продольными и поперечными ребрами из яченстого бетона (ОКАП); размер плит в плане 150× ×600 см, толщина надреберной илоской яченстобетонной плиты от 10 до 16 см (рис. 48, а):

плоские плиты покрытия размером в плане 150× ×600 см, толщиной от 20 до 24 см следующих типов: ГКП — плоские однослойные крупноразмерные плиты с обычным армированием и ПНП — предварительно напряженные двухслойные плоские плиты с проволочной арматурой (рис. 48, б);

плоские однослойные мелкие плиты чириной 50 см. длиной 300 сл. и голициной от 10 до 16 сл. (рис. 48, в).

В промышленных зданиях наиболее эффективно применение яченстых бетонов в наружных ст иах. Ячеистобегонные степы промышленных зданий на 20-40 % дешевле и легче стен из других круппых панелей (напри-

мер, из керамзитобетона) [52].

Наиболее распространенным массовым типовым изтелием для степ промышленных зданий является яченсгобегонная напель длиной 600 см, высотой 120 или 180 см, толщиной 20, 24 и 30 см. Яченстый бетон панелей имеет объемный вес 700 кг/м³; в перспективе переход на объемный вес 600 и 550 $\kappa z/M^3$. Такие панели (рис. 48, \dot{z}) изготовляют на многих заводах довольно в большом количестве — более 2 млн. м² в год. Их применение дает большой экономический эффект.

Эти панели более индустриальны, чем стеновые панели инприной 60 см. выпускаемые на многих зарубежных заводах фирм «Сипорекс», «Итонг», «Дюрокс» и др. Стены из папелей шириной 120 см собирают быстрее, они імсют в два раза меньше швов и дешевле стоят. Поэтому теновые напели шириной 120 см найдут в будущем ши-

рокое применение

Еще более индустриальны 12-метровые ячеистобетонлые степовые нанели (рис. $48, \partial$). Они особенно нужны для строительства зданий, в которых колонны в продольных степах располагаются с плагом 12 л (например, стены манишных залов и котельных электростанций).

Степовые нанели промышленных зданий ранее изготовляли с паружным слоем толщиной 2,5--4 см из плотного бетона, иногда из поризованного (аэрированного) бетона объемного веса около 1200 кг/м3, чаще всего их делают однослойными. В последнем случае отделку производят после автоклавной обработки на заводе или на месте строительства после монтажа.

В зданиях с влажным режимом помещений слой плотного бетопа толщиной 2,5-7 см устраивают с внут-

ренней стороны стен.

Панели прикрепляют к колоннам с помощью гибких связей (болтов) или путем приварки закладных деталей,

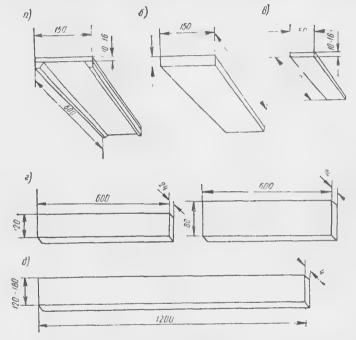


Рис. 48. Ячеистобетонные конструкции покрытий и стен промышленных зданий

а — ребристая плита покрытия; б — плоская плита покрытия длиной 600 см; в — плоская плита покрытия длиной 300 см; г — стеновая панелидлиной 600 см; д — стеновая панелидлиной 120° см

предусматриваемых в папелях и в колоннах. В первом случае стеновые панели имеют некоторую возможность свободно перемещаться в вертикальном направлении относительно колони; винзу они оппраются на рандбалки. Такие стены называют самонесущими. Они воспринимают нагрузку от собственного веса стен и ветра. Во втором случае напели называют навесными (ненесущими), гак как каждую напель прикрепляют на колониах независимо от тругих. Гакая напель воспринимает нагрузку голько от сооственного веса и от ветра

Производство и применение степовых нанелей промышленных зданий регламентируется ГОСТ 11690—

66 [27].

В покрытиях промышленных зданий, начиная с 1953 г. стали применяться ребристые яченстобстэнные крупноразмерные илиты (см. рис. 48, а) вместо мелких (рис. 48, в). Крупноразмерные плиты имеют размеры в плане 160×600 см. Ребра илит делают из обычного тяжелого бетона. Верхияя часть этих плит (полка) имеет толщину 10-16 см. Илиты другого типа плоские, однородные, выполняются целиком из яченстого бетона. Толщина их 24-30 см.

В последнее время в ребристых плитах применяется предварительное натяжение основной рабочей арматуры, расположенной в продольных ребрах. Это позволяет увеличить жесткость плит и снизить расход стали. Производство и применение ребристых ячеистобетонных плит регламентируется ГОСТ 7741—66 [28].

На ребристые плиты расходуется меньше бетона и стали, чем на плоские. Однако стоимость плоских плит меньше, так как они лучше заполняют автоклавы, чем ребристые. Кроме того, необходимо учитывать, что ребристые плиты невозможно изготовлять с помощью резательных машин. Таким образом плоские ячеистобетонные плиты покрытий производственных зданий являются более перспективными, чем ребристые.

В общественных зданиях изделия из ячеистых бетбнов применяются сравнительно недазно. Для строительства школ, больниц, детских садов, клубов, магазинов и т. д. используют стеновые блоки, блоки-полупанели и илиты покрытий, аналогичные применяемым в жилищном и промышленном строительстве. Строительство общественных зданий ведут в соответствии с комплексными тиновыми сериями I-467, I-468, I-335 и др.

Изделия из различных видов ячеистого бетона в последние годы начали применять и в сельскохозяйственном строительстве для стен и покрытий жилых, а также производственных зданий.

В сельском строительстве, так же как и в городском, могут применяться крупные панели с размерами на одно

пли два окна, нолупанели полосовой разрезки, крупные и мелкие блоки (камии). Однако крупные панели применяются реже, гак как для их перевозки и жны специальные панелевозы, а для монтажа — мощные краны.



Рис. 49. Сблокированные дома со стенами полосовои разрезки в по селке Эммаус (Калипинская обл.)

Из-за дальности перевозки и строительства на селе преимущественно малоэтажных зданий более удобно применять стены полосовой резрезки (рис. 49), а для индивидуального строительства - мелкие стеновые блоки (камии).

В производственных сельскохозяйственных зданиях (главным образом животноводческих), имеющих большую влажность и содержащих некоторые химически агрессивные газы, стены и покрытия из ячеистых бетонов (так же, как и из легких бетонов) должны иметь на внутренних поверхностях специальную пароизоляцию (слой тяжелого бетона, масляная, эмалевая или лаковая окраска). В отдельных случаях имеются примеры нормальной эксплуатации стен из ячеистого бетона и без нанесения пароизоляции. Так, вполне успешно применяются однослойные панели из сланцезольного газобетона (газокукермита) в Эстопии. В перспективе возможно применение в животноводческих зданиях однослойных

конструкций из гидрофобизированного яченстого бетона, который благодаря вводимым добавкам приобретает водоотталкивающие свойства.

2. КОНСТРУКЦИИ ИЗ ЯЧЕИСТЫХ БЕТОНОВ, ПРИМЕНЯЕМЫЕ ЗА РУБЕЖОМ

Яченстые бетоны — газобетон, газосиликат, газозолосиликат, газошлакобетон и др. - применяют в ряде стран Евроны, Азин, Америки и Африки. Однако в основном заводы ячеистого бетона расположены в Европе: в Швеции, Норвегии, Финляндии, Дании, Англии, Голландии, ФРГ, ГДР, Польше, Чехословакии, Румынии, Болгарии, Югославии, где этот вид бетона применяют очень широко. В зарубежной практике тот или иной вид бетона называют по наименованию фирмы, его выпускающей: сипорекс, итонг, дюрокс, селкон, термолайт.

Наибольшее распространение ячеистый бетон получил в Швеции, где его производят около 1,5 млн. м³ в год, что составляет примерно 200 м³ на 1000 человек. Яченстый бетон в Швеции является основным степовым материалом; он практически вытеснил кирпич и бетоны на легких пористых заполнителях. Выпускают ячеистый бетон в основном две фирмы: «Итонг» и «Сипорекс». Первая производии газозолосиликат, а вторая — газобетон. Однако при строительстве заводов за рубежом обе фирмы применяют в зависимости от местных условий цемент и известь, несок, золу и шлаки. В последиее время и в Швеции фирма «Итонг» использует не только известь, но и цемент, а также несок наряду с золой.

Изготовляемые в Швеции яченстые бетоны имеют высокие показатели. Прочность в кубах размером 15 \ 15 \ 15 \ 6 си и влажностью 8% составляет

при объемном весе 500 кг/м³ 3 кгс/см²

В последнее время фирма «Итонг» сообщает, что при объемном весе яченстого бетона $650~\kappa e/m^3$ гарантируется прочность его не менее $65~\kappa e/cm^2$.

В других странах, где опыт применения ячеистых бетопов не очень большой, прочность их (при указанных

объемных весах) несколько ниже. Даже построенные по лицензиям фирм «Итонг» и «Сипорекс» заводы в других странах (например, в Англии) выпускают ячеистые бетоны с гораздо меньшей прочностью.

В Швеции и в других странах наиболее распространенными изделиями из ячеистых бетопов являются мелкие штучные блоки (камии), имеющие длину 50—75 см,



Рис. 50. Фрезеровальный станок для обработки стеновых яченстобетонных камней



Рис. 51. Кладка яченстобетопных кампей «насухо»

высоту 25 см и толщину от 15 до 30 см с интервалом в 2,5 см. Блоки (камии) изготовляют из яченстых бетонов объемного веса от 400 до 700 кг/м³. Их применяют в несущих стенах жилых зданий высотой до четырех этажей, а гакже иногда и в ненесущих наружных и внугрениих стенах.

Объем производства этнх камией в некоторых странах составляет 70-80% общего объема производства яченстого бетона.

Как правило, степы из мелких блоков штукатурят. Для лучшего сцепления штукатурки с кампями на них наносят при изготовлении неглубокие борозды (пассчку), однако в ряде случаев степы из блоков осгавляют без наружной отделки и, несмотря на это, они удовлетворительно эксплуатируются в течение многих лет.

В последние годы стеновые камии стали подвергать обработке на фрезеровальных станках (рис. 50), после чего они имеют точные геометрические размеры с допусками $\pm 0,5$ мм. Это позволяет вести монтаж таких камней на клею или насухо на шпонках (рис. 51).

В наружных стенах жилых зданий за рубежом ши-



Рис. 52. Монтаж одноэтажного дома со сленами и покрытием из яченстобетонных плит

роко используют вертикальные крупные блоки шириной 50-60 см, высотой, равной высоте этажа, 280-300 см. Крупные блоки изготовляют из ячеистого бетона объемного веса 500—700 кг/м³. Толщина их равна 25 см и менее с градацией через 2,5 см. Из вертикальных стеновых крупных блоков строят малоэтажные (рис. 52) и многоэтажные жилые дома (рис. 53). В малоэтажных домах стены из вертикальных блоков - несущие, а в многоэтажных ненесущие. Наружные поверхности стен из вертикальных блоков обычно не штукатурятся, их обрабатывают краской или набрызгом либо оставляют без всякой обработки.

Над дверными и оконными проемами укладывают перемычки из яченстого бетона объемного веса 600-700 ке/из Неремычки армируют в зависимости от пролета и нагрупки. При длине до 200 *см* перемычки укладывают вручную двое рабочих.

В целях создания конструкций, не требующих при монгаже не только кранов, но и других каких-либо приспособлений фирмой «Итонг» были разработаны так называемые брусковые дома. Стены этих домов высотой 280-300 см собпрали вручную из вертикальных брусков, имеющих по фасаду размер, равный 10 см. Шири-

на брусков, равная 20, 25 и 30 см, соответствует толщине степы. Бруски армированы двумя стержиями диаметром 4-5 мм. При монтаже соприкасающиеся поверхности брусков смазывали клеем, кроме того, бруски соединяли гвоздями. В последиие годы такие конструкции не применяются.

Другим изделием при монтаже вручную, довольно широко применяемым за рубежом, являются персгорошириной плиты дочные 50—60 см, длиной 280— 300 *см*, толщиной 7—10 *см*. Из этих плит делают внутриквартирные перегородки. Плиты ставятся вертикально. Их подклинивают и полливают раствором снизу. Вертикальные швы (стыки)



Рис 53. Монтаж многоэтажного жилого дома со стенами из вертикальных блоков

между плитами иногда выполняются с применением клеевидного раствора, а чаще всего насухо впритык или в виде шпунтового соединения. Лицевые поверхности плит, так же как и вертикальные швы, ничем не затираются. Они готовы для покраски (побелки) или наклеивания обоев. Высокая точность размеров, прямолинейность кромок и чистота поверхностей данных перегородочных плит (так же, как и других изделий из ячеистых бетонов в зарубежной практике) достигается в результате применения резательных и калибровочных машии.

Для повышения теплоизоляционных характеристик и дополнительного снижения веса элементов наружных стен фирма «Сипорекс» начала несколько лег назад вынускать трехслойные круппые блоки типа «сэндвич». Паружные слои в этих блоках выполнены из газобетона т. лишной 7 см. внутренний — из всиененного пластика — стиропора толщиной 6 см. Такие степы имеют повышенное термическое сопротивление и очень небольнюй вес, порядка 100—120 кг/м².

На рис. 54 показана калибровка трехслойных блоков. Соединение слоев блоков между собой осуществляется



Рис. 54. Қалибровка стенового гремслонного блока тина «сэндвич»

с помощью клея. В качестве наружных газобетонных слоев блоков типа «сэндвич» используются перегородочные плиты голщиной 7 см.

Перегородочные плиты, описанные выше, применяются иногда (например, в Дании) для наружных стен другой трехконструкции слойной (рис. 55): слой, обращенный в помещение, делается из газобетонных плит толщиной около 10 см, высотой на этаж (2,8-3 м) или из мелких плиток той же толщины. Слецующий (средний) слой стенки выполняют из мипераловатных илиг голщиной 5-6 см. Наружный слой стены выполняется из кирпичной кладки голициной в полкирпича. наружной Применение

киринчной облицовки объясияется желанием отдельных заказчиков иметь фасады, похожие на традиционные старинные кирпичные здания. Этот вид трехслойных стен применяется только в малоэтажном строительстве.

Трехслойные конструкции с наружными слоями из ячеистого бетона применяются также за рубежом во впутренних междуквартирных стенах для обеспечения повышенной звукоизоляции. При этом если данные внутренние стены являются несущими, наружные слои стен изготовляют из газобетонных илит толщиной 15 см

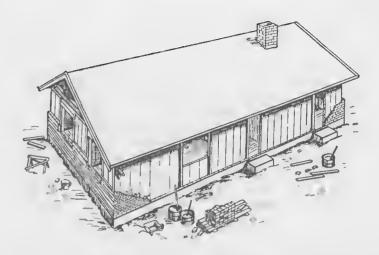


Рис. 55. Строительство дома с наружными трехслоиными стенами, состоящими из газобетонных плит, среднего минераловатного слоя и наружной облицовки в полкирпича



Рис. 56. Трехслойные впутренние несущие степы в двухэтажных домах (Стокгольм)

(рис. 56). Средний слой состоит из минераловатных плит, прикрепляемых к газобетонным илигам гвоздями.

В целом же в зарубежной практике строительства с применением конструкций из ячеистых бетонов вслед



Рис. 57. Дома с двухблочной разрезкой наружных стен (березниковского типа), строящиеся фирмой «Сипорекс»

за нашим отечественным опытом отмечается стремление к разработке и использованию укрупненных, т. е. наи-

более индустриальных конструкций.

В небольшом количестве за рубежом применяют крупные стеновые панели размером 1,5×6 м. Из этих панелей возводятся стены различных общественных зданий полосовой (поясной) разрезки. Были попытки применить подобную полосовую разрезку и в стенах жилых зданий. Так, фирма «Сппорекс» в 1957 г. построила несколько жилых зданий с полосовой разрезкой наружных стен, которые были несущими [49]. Отчазавшись затем от такой конструкции, фирма в дальнейшем строила трехэтажные дома с наружными непесущими стенами (с несущими поперечными стенами), которые в точности повторяют так называемые дома березликовского типа, строившиеся у нас в 1953 г. (рис. 57). Эти дома применяют за рубежом в небольшом объеме.

Наиболее крупные и индустриальные конструкции стен жилых зданий — круппые папели с размерами на одно или два окна (на один или два планировочных модуля, т. е. на одну или две комнаты) — производят: фирма «Хэбель» (ФРГ), несколько заводов в ЧССР и особенно много — фирма «Итонг» в Швеции (рис. 58).

Общим для зарубежных крупных составных стеновых панелей жилых зданий является то, что они собираются из сравнительно мелких исходных элементов, из-

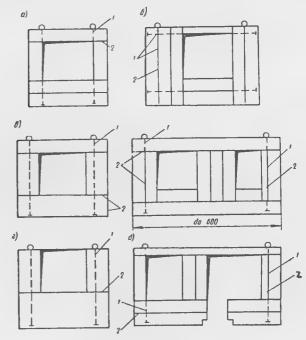


Рис. 58. Схемы составных стеновых панелей, применяемых за рубежом

a — фирмой «Сипорекс»; b — фирмой «Хэбель»; b — фирмой «Птонг»; b — в Чехословакии; b — в Польше; b — стальные тяжи; b — швы межлу яченстобетонными элементами

готовляемых по резательной технологии. При этом способе изготовления в массовом порядке выпускаются изделия шириной 60 см и длиной до 6 м.

Основным соединительным элементом составных панелей за рубежом являются стальные тяжи, которые стягивают склеенные между собой ячеистобетонные элементы и придают им жесткость и прочность, необходимые при складировании, транспортировании и монтаже. В большинстве зарубежных панелей тяжи располагаются вертикально (Швеция, Польша, ЧССР). Они используются и для креиления подъемных петель. Фирма «Хэбель» (ФРГ) применяет горизонтальные тяжи (рис. 59). На предприятиях фирмы «Итонг» при сберке панелей тяжи натягивают с помощью тарированных гайковертов на заданное усилие, и таким образом осуществляется



Рис 59 Составная нацель фирмы «Хэбель»

предварительное натяжение арматуры с упором на бетон (т. е. последующее натяжение)

Для сборки составных цанелей на заводах за рубежом применяются стенды (ЧССР) или конвейеры (ПНР и Швеция). Наиболее интересной является конвейерная линия укрупнительной сборки, осуществленная шведской фирмой «Итонг» в районе расположения своих основных заводов -в районе Хеллаброттет. В специальном цехе размером примерно 30×150 м вдоль него размещен рольганг шириной около 3 м (что соответствует высоте напелей). Панели собираются и перемещаются по

рольганту в горизонтальном положении. В начале конвейера в закрытой камере размером 4×15 м газобетонные элементы подвергаются перед сборкой окончательпой обработке: в некоторых из них просверливаются отверстия, в других с номощью дисковых пил выбираются четверти (например, в перемычечных элементах для ввода в них междуэтажных перекрытий). Следующий, основной, пост конвейера — сборочный. С помощью легких тельферов на рольганге раскладываются перемычечные, поясные и простеночные элементы. На соприкасающиеся плоскости этих элементов набрызгивается клей. В просверленные отверстия вставляются тяжи, которые натягиваются тарированными гайковертами. После этого панель перемещается по рольгангу на первый, а затем и на последующие посты отделки. Спачала панель калибруется сверху «волчком» диаметром 70 см.

Затем на панель наносится клеевой состав, приготовленный на базе акриловой смолы. На следующем посту на клеевой состав насыпается цветной песок, и в конце конвейера лицевая поверхность снова покрывается клеевым составом. Этот способ отделки фирма «Итонг» называет «серпокрыл».

По выходе с конвейера панели перекантовываются



Рис. 60. Составные стеновые панели с размерами на одно и два окна фирмы «Итонг»

в вертикальное положение и в них вставляются оконные или дверные блоки.

Изготовленные таким способом составные панели фирма «Итонг» перевозит на расстояние до 200 км. На рис. 60 показан дом со стенами из этих панелей, построенный в Стокгольме.

В несколько меньшем масштабе составные стеновые панели производятся и применяются в Чехословакии, где уже три завода выпускают такие панели. Они имеют полосовую разрезку, такую же, как осуществлена у нас на строительстве дома в Одессе, и стальные тяжи, применяемые в Швеции, ФРГ и ПНР.

Все изложенное свидетельствует о том, что за рубежом составные стеновые панели жилых зданий имеют повольно широкое применение.

Также широко применяются конструкции из яченстых бетонов за рубежом и в междуэтажных перекрыти-

ях жилых зданий (рис. 61). Наиболее распространенной конструкцией перекрытий являются плиты шириной 60 см, длиной до 6 м, толщиной от 16 до 25 см (в за-

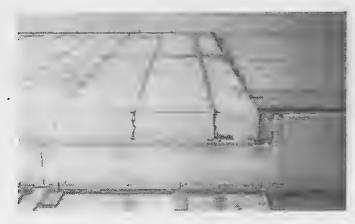


Рис. 61. Междуэтажное перекрытие с илитами из ячеистого бетона

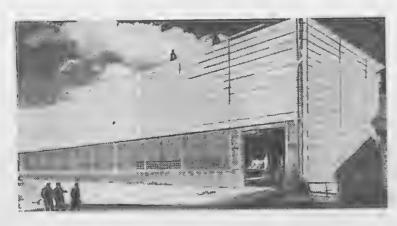


Рис. 62. Производственное здание со стеновыми панелями из ячеистого бетона (Швеция)

висимости от пролета и нагрузки). Плиты изготовляются из газобетона объемного веса $500~\kappa e/m^3$. По боковым граням плит чаще всего устраиваются шип (с одной

стороны) и паз (с другой) для обеспечения совместной работы плит между собой при неравномерном нагружении. Эти же плиты применяются за рубежом также в перекрытиях над подвалами и в чердачных перекрытиях.

Аналогичные плиты шириной 60 *см* и длиной до 600 *см* из газобетона объемного веса 500 *кг/м*³ широко используются за рубежом в стенах (рис. 62) и покрыти.

ях промышленных зданий. Толщина плит назначается от 15 до 25 см в зависимости от пролета (до 6 м), от ветровой или снеговой нагрузок, а также от необходимого термического со-

противления.

Плиты стен промышленных зданий располагаются обычно горизонтально и устанавливаются на место с помощью клещевых захватов (рис. 63). Плиты крепятся к колоннам чаще всего нащельниками из нержавеющей или оцинкованной стали. Это обеспечивает возможность некоторой раздвижки стеновых плит вследствие температурных деформаций. Швы между стеновыми плитами раньше выполнялись с помощью цементного раствора, а в последние годы в швах используются ленточные пено-

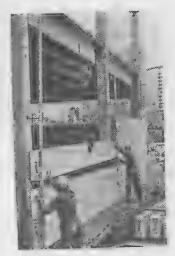


Рис. 63. Монтаж стеновых производственного здания

пластовые прокладки нужной ширины, прикрепляем е гвоздями к панелям во время их монтажа.

Плиты покрытий промышленных зданий соеднияют между собой чаще всего при помощи шипа и паза. Кроме того, на верхних продольных ребрах плит устраиваются фаски, заливаемые раствором. С нижней стороны плит также делаются фаски, которые обычно не затирают. Тем не менее нижняя поверхность покрытий имеет хороший вид. Плиты покрытий укладывают на место с помощью башенных или автомобильных кранов, легких кранов-укосин или тележек, перемещаемых по нокрытию, а иногда даже и вручную (при длине плит до 3 м).

Следует отметить довольно смелое применение за рубежом яченстых бетонов в строительстве зданий, расположенных в сейсмических районах. В этих районах строятся описанные выше малоэтажные здания со стенами из вертикальных блоков или камней (мелких блоков) с укладкой арматуры в швах между плитами междуэтажных и чердачных перекрытий, а также по периметру перекрытий. В последнем случае для укладки арматуры в плитах вынимаются пазы или четверти, заливаемые затем раствором или бетоном (на мелком щебне). Легкое и простое устройство пазов и четвертей обусловливается удобообрабатываемостью ячеистых бетонов, которые допускают распиловку и строжку наподобие древесины. Таким образом в зданиях из ячеистого бетона получаются, по существу, как бы облегченные железобетонные антисейсмические пояса: небольшого сечения. Такие же железобетонные пояса могут устраиваться и с натяжением арматуры на ячеистый бетон во время монтажа зданий. Вертикальной арматурой, создающей обжатие стен, могут служить тяжи описанных выше составных панелей.

Имеются также примеры применения ячеистых бетонов в сейсмических районах и в многоэтажных зданиях. На рис. 64 показано 43-этажное здание, построенное в Мексике, с наружными стенами, перегородками и перекрытиями из ячеистого бетона. Стены и перегородки в этом здании ненесущие. Здание имеет мощный стальной каркас. От применения ячеистого бетона в данном случае достигнут существенный эффект: пропорционально снижению веса здания (по сравнению с обычными традиционными материалами в иссколько раз) спизилась сейсмическая нагрузка, и в результате были облегчены и удешевлены каркас и фундамент.

3. ЭФФЕКТИВНОСТЬ И ПЕРСПЕКТИВЫ ПРИМЕНЕНИЯ ЯЧЕИСТЫХ БЕТОНОВ

С 1953 г. висрвые в мировой практике в нашей стране началось применение крупноразмерных плит размером в илане 150×600 см для покрытий промышленных зданий. Спачала были разработаны ребристые плиты



Рис. 64. 43-этажное здание в Мексике с наружными стенами, перекрытиями и перегородками из ячеистого бетона

КАП, а затем плоские плиты ГКП. В настоящее время производство и применение ребристых плит КАП почти прекратилось из-за некоторых технологических затруднений, вызываемых наличием ребер из плотного бетона и сложности изготовления арматурных каркасов. Полностью прекращено производство мелких плит.

Объем производства различных конструкций из ячеистых бетонов в СССР в 1970 г. приведен в табл. 32.

Таблица 32

Производство ячеистых бетонов ¹	
Виды изделий	Объем в тыс. м ¹ в год
Ребристые илиты КАП для покрытий промышленных зданий Плоские плиты ГКП для покрытий промышленных зданий Панели стен промышленных зданий Паиели стен жилых зданий Несущие и теплопзоляционные армированные плиты покрытий жилых зданий Ты покрытий жилых зданий Пармированные степовые камии и блоки Теплопзоляционные пеармированные плиты	40 130 650 320 130 480 2250
Итого	3980

¹ По неполным данным за 1970 г

Более широко, чем плиты КАП, употребляются в покрытиях промышленных зданий плоские 6-метровые плиты покрытий ГКП, изготовляемые по типовым чертежам серии ПК-01-92. По суммарной трудоемкости монтажа и изготовления плиты ГКП являются одной из наиболее индустриальных конструкций покрытий промышленных зданий. Покрытия с плитами ГКП по стоимости примерно равноценны покрытиям с другими железобетонными плитами. К недостатку плит ГКП относится большой расход арматурной стали (около 10 кг/м²).

Пренмуществом плоских плит ГКП является также то, что их можно формовать по резательной технологии. Это еще более существенно снизит трудоемкость, а также стоимость изготовления данных плит

Вместо плит длиной 3 м, толщиной 14—16 см должны найти применение такие же тонкие плоские плиты с рабочим пролетом 3 м, но с большей шириной и длиной, а именно, 1,5 и 6 м, которые будут работать как двухпролетные. Расход арматуры в них будет меньше, чем у плит ГКП. Изготовление этих плит будет производиться по резательной технологии. При этом должно быть налажено также и производство прогонов длиной 12 и 18 м (железобетонных или стальных).

Более широко применяются ячеистые бетоны в промышленном строительстве в виде стеновых панелей. Объем выпуска таких панелей в 1970 г. обеспечил возведение около 2,5 мли. M^2 стен. По сравнению с другими крупиопанельные стены из яченстобетонных панелей на 20 -40% (на 2--5 pub/M^2) дешевле и на 15—45% легче. Наибольшее распространение имеют панели размером 1,2×6 м, реже применяются панели размером 1,8×6 м и еще реже — панели длиной 12 м (шириной 1,2

или 1,8 м).

Болсе эффективными являются панели стен промышленных зданий, которые будут изготовляться по новым чертежам серии 432 (выпуск 6), разработанным взамен чертежей серии СТ-02-31 институтами ЦНИИПромзданий, Уралпромстройниипроект и НИИЖБ. В этих папелях предусматривается использование ячеистого бетона объемного веса 600 кг/м³ (при контрольной прочности около 40 кас/см²). Таким образом стены из этих панелей будут еще легче (на 15%) и дешевле (на 5—10%) при той же толщине. Если же при этом уменьшить толщину панелей (например, с 24 до 22-20 см), то эффект от применения облегченных панелей из ячеистого бетона будет еще выше. Панели стен промышленных зданий можно изготовлять по резательной технологии, что даст также дополнительный эффект снижения трудоемкости монтажа и изготовления панелей.

Следует отметить, что отечественные конструкции стен и покрытий промышленных зданий из ячеистых бетонов, имеющие ширину 1,2; 1,5; 1,8 M и длину 6 и 12 M, являются более индустриальными, чем зарубежные, имеющие ширину 0,6 и длину только до 6 M.

Еще более эффективны предварительно напряженные илиты стен и покрытий из ячеистого бетона, разрабатываемые совместно НИИЖБ, ЦНИИСК и Уралпромстройниппроектом. Применение предварительного

натяжения арматуры в этих конструкциях повышает трещиностойкость, увеличивает жесткость и в ряде слу-

чаев позволяет сократить расход стали.

Стеновые панели жилых зданий из эченстобетонных папелей по весу, стоимости и капиталов, ожениям эффективнее трехслойных, керамзитобетонных, аглопоритобетонных, шлакопемзобетонных (табл. 33). Поэтому планируется значительное расширение производства ячеистобетонных панелей. При этом в типовых домах новых серий (заменяющих серии 464, 467 и 468) предусматриваются наружные степовые панели с полной заводской готовностью, изготовляемые путем укрупнительной сборки из яченстобетонных элементов объемного веса 600 кг/м³. Следовательно, новые яченстобетонные стеновые напели будут иметь лучшие показатели, чем указанные в табл. 33. В перспективе на основе опыта передовых отечественных заводов, а также зарубежной практики будет осуществлен переход на применение яченстых бетонов объемного веса 500 кг/м3.

Таблица 33 Технико-экономические показатели стеновых конструкций жилых зланий*

Қонструкции	Толщина в сж	Вес в ке/м²	Себесто- имость в руб/м²	Капита- ловложе- ния в руб/м³
Ячеистобетонные объемного ве-				
са 700 к /м³ на основе цемен-	25	2001:4	8	9,6
та	25	200**	7,5	8,8
Две железобетонные скорлупы				
с минераловатными плитами	25	235	11,4	12,2
Керамантобегонные объемного веса 900 кг/м ³	26	234	0.0	11,6
То же, 1200 кг/м ³	32	384	8,9	13,3
Аглоноризобетонные объемного]]	10,1	10,0
• веса 1400 кг/м ³	40	560	11,9	13,5
Шлакопемзобетонные объемно	25	400		11.0
το веса 1400 κε/м ³	35	490	9, I	11,3
Перлитобетонные объемного не са 800 кг/м ³	25	240	8.6	12,1
Из кливаного кирина	66	E185	14.2	13,9
· CHTHPathoro	66	1250	10,6	10,4

and the state of t

* По то и и при ППП стать не се ССР попубликов и и и и прокладе жани

Другими весьма эффективными изделиями из ячеисгых бетонов для жилищного строительства являются плиты для чердачных и особенно бесчердачных покрытий. Подсчеты показывают, что стоимость 1 м² покрытия жилого дома в виде бесчердачных яченстобетонных совмещенных плит составляет 14,7 руб. и трудоемкость монтажа 0,16 чел.-час/м2, тогда как стоимость и трудоемкость монтажа типового покрытия дома серии 464 из железобетонного миогопустотного настила, утепленно о яченстобетонной теплеизоляцией с цементной стяжкой. составляют 22,5 руб. и 0,57 чел.-чис/м2. Таким образом, покрытия из бесчердачных яченстобетонных плит, совмещающих в себе функции несущих и теплоизоляционных элементов, на 7,8 руб/м2 (на 35%) дешевле и монтаж их в 3,5 раза менее трудоемок, чем указанного многослойного покрытия. Поэтому производство и применение ячеистобетонных совмещенных несущих плит (особенно для бесчердачных покрытий жилых зданий) должно зисчительно расширяться. Эти плиты могут применяться с таким же эффектом не только в покрытиях круппопанельных домов, но и в покрытиях обычных кирпичных или блочных ломов.

Некоторое распространение в нашей практике имеют паряду с песущими совмещенными илитами покрытий жилых зданий так называемые армированные теплонзо ляционные плиты - крупноразмерные изделия из теплоизоляционного ячеистого бетона (объемного веса 350-450 кг/ M^3), которые укладываются на несущие железобетонные чердачные плиты (сплошные или многопустотные). Яченстобетонные теплоизоляционные плиты имеют легкую арматуру, рассчитанную на усилия от собствен ного веса плит, возникающие при распалубке, транспортировании и монтаже. Даниая конструкция покрытия не является перспективной, ибо при соответствующем армировании плиты из ячеистого бетона могут сами (т. с без железобетонных илит) выполнять функции несущих конструкций.

В междуэтажных перекрытиях и впутренних степах жилых зданий ячеистые бетоны применяются до сего времени крайне незначительно. С этими конструкциями было построено по существу только несколько домов в Березниках (серия 439), по одному дому в Пензе и Павлодаре (по проектам ЛепЗНИИЭП) и ряд домоз в Ленипграде (с внугреннями несущими стенами). Объ

ясняется это тем, что эффективность применения ячеистых бетонов в данных конструкциях меньше, чем в стенах, а также тем, что промышленность сборного железобетона поставляет стронтельству в большом количестве железобетонные междуэтажные перекрытия (сплошные и многопустотные, с обычной и предварительно напряженной арматурой), а также впутренине несущие железобетонные стены, изготовляемые в кассетных установках. Кроме 1010, следует считать, что конструктивногенлоизоляционный яченстый бетон целесообразнее применять в наружных ограждающих конструкциях, так как в настоящее время еще ощущается дефицит в стеновых материалах.

В строительстве общественных и сельских жилых зданий также должно расширяться применение ячеистых бетонов в наружных степах (в виде составных крупных панелей) и в чердачных и бесчердачных покрытиях (с венгилирующими продухами или без них). В отдельных случаях для сельских жилых и оощественных зданий целесообразно применение панелей полосовой раз-

резки березниковского типа.

Как указывалось выше, применение крупных неармированных ячеистобетонных блоков двухрядной и четырехрядной разрезки почти прекратилось. Расширяется производство и применение мелких стеновых блоков (кампей). Объяспяется это тем, что стены из ячеистобетопных кампей гораздо эффективнее кирпичных (табл. 34). Весьма важно, что и по капиталовложениям применение стен из ячеистобетонных камней более вы-

Таблица 34 Технико-экономические показатели стен жилых зданий из силикатного кирпича и ячеистобетонных камней

Тол- Вес Стоимость вложе	ало-
Конструкция стеиы	5/ <i>M</i> ²
ратили утенлителем	

годно, чем из кирпича. Существенными предпосылками для более широкого применения ячеистобетонных стеновых камней являются начатая в последнее время интенсивная разработка проектов малоэтажных зданий со стенами из этих камней, а также создание резательных машин, с помощью которых механизируется процесс формования камней и повышается их качество.

Выпускаемый в настоящее время в большом количестве теплоизоляционный ячеистый бетон даже при объемпом весе 300-350 кг/м3 менее эффективен по сравнению с панелями и камнями. По данным НИПИСилигатобетона, ячеистобетонная теплоизоляция только на 20-40 коп. дешевле фибролита и минераловатных плит марок 250-350 на битумной связке и дороже минераловатных плит марок 75---200 на синтетической связке. Еще менее эффективно применение ячеистобетонной теплоизоляции по сравнению с различными пенопластами. Поэтому, очевидно, что яченстый бетон надо использовать там, где его применение дает наибольший эффект, а именно в стенах жилых и промышленных зданий и в покрытиях жилых зданий.

То положение, при котором в настоящее время более половины ячеистых бетонов выпускается в виде теплоизоляции, является временным. За рубежом ячеистый бетоп в качестве теплоизоляции не применяется.

ЛИТЕРАТУРА

І. Александровский С. В., Данилов Б. П., Багрий Э. Я., Багрий В. Я. Исследование ползучести ячеистого бетона. НТО Стройиндустрии. Киев, 1969.

2. Александровский С. В. Расчет бетонных и железобетонных конструкций на температуриые и влажностные воздействия

(с учетом ползучести). Стройиздат, 1966.

3. Алексеев С. Н., Розенталь Н. К., Лычаков В. В., Дружинии Н. Л., Старлядьев В. А. Антикоррозионная защита арматуры в электрическом поле высокого напряжения. «Бегоп и железобетон», 1969, № 10.

4. Апищенко В. В., Добрыпин Е. Н., Лычаков В. В. Совершенствование технологии изготовления пространственных арматурных каркасов для стеновых панелей промышленных зданий.

«Бетон и железобетон», 1970, № 9.

5. Бавс Г. Деформации ползучести армированных газобетонных балок. В ки.: «Яченстые бетоны за рубежом». Госстрой СССР,

6. Баранов А. Т., Бахтияров К. И. Влияние основных технологических факторов на свойства ячеистого бетона. В кн.: «Технология и заводское изготовление бетонов (тяжелых, легких

и ячеистых)». НИИЖБ, Госстройиздат, 1963.

7. Бахтияров К. И., Баранов А. Т. Влияние качества пористой структуры и межпустотного материала на характер связи прочности с модулем упругости. В сб.: «Производство и применение изделий из ячеистых бетонов». НИИЖБ. Стройиздат, 1968.

8. Баранов А. Т., Макаричев В. В. Новое в технологии производства и в применении конструкций из яченстых бетонов в. СССР и за рубежом (обзор). Техническая ЦНИИЭТСтрома МПСМ СССР, 1971.

9. Берг О. Я. Физические основы теории прочности бетона

и железобетона. Госстройнздат, 1961.

10. Берг О. Я., Писанко Г. Н., Хромец Ю. Н. Исследование физического процесса разрушения бетона под действием статической и многократно повторяющейся нагрузки. В кн.: «Исследование прочности и долговечности бетона транспортных сооружений». Труды ЦНИИС, вып. 60., «Транспорт», 1966.

11. Бергстром С. и др. Подготовка стандартов по армированному яченстому бетону в Швеции, В ки.: «Яченстые бетоны за

рубежом». Госстрой СССР, 1961.

12. Боженов П. И. Комплексиое использование минерального сырья для производства строительных материалов. Госстройиздат, 1963.

13. Боженов П. И., Сатин М. С. Автоклавный пенобетон

на основе отходов промышленности. Госстройиздат, 1960.

14. Бородкин В. С., Фрадкин Б. П., Белкина С. Я., Крабер Л. И. Новые проекты заводов изделий из бетонов автоклавного твердения. «Строительные матерналы», 1971, № 4.

15. Бутт Ю. М., Майер А. А., Мануйлова Н. С. Взаимодействие полевых шпатов с известью в условиях автоклавной обработки. РОСНИИМС. Сб. трудов № 24, Госстройиздат, 1958.

16. Бутт Ю. М., Рашкович Л. Н. Твердение вяжущих при

повышенных температурах. Стройиздат, 1965.

17. Власов О. Е., Вейденбаум Г. И. и др. Долговечность ограждающих и стронтельных конструкций (физические основы). Госстройиздат, 1963.

18. Волженский А. В. О зависимости структуры и свойств цементного камня от условий его образования и твердения. «Строи-

тельные материалы», 1964, № 4.

19. Волженский А. В., Буров Ю. С. Влияние автоклавной обработки на строительные свойства бетонов. В сб.: «Свойства автоклавных бетонов и изделий из них». Госстройиздат, 1958.

20. Волженский А. В., Буров Ю. С., Виноградов Б. Н., Гладких К. В. Бетоны и изделия иа шлаковых

и зольных цементах. Стройнздат, 1969. 21. Временная инструкция по определению призменной прочно-

сти и начального модуля упругости бетонов. Стройиздат, 1968.

22. Горяйнов К. Э. Некоторые вопросы физики гидротермального твердения ячеистых бетонов. Труды семинара «Исследование влияния режимов гидротермальной обработки на свойство силикатных материалов». Таллии, РДНТП, 1966.

23. Горяйнов К. Э. Перспективы совершенствования технологии производства яченстых бетонов. МДНТП им. Дзержинского,

24. Горяйнов К. Э., Заседателев И. Б. Исследование

теплофизических процессов при автоклавной обработке газобетона. В кн.: «Технология теплоизоляционных материалов». НИИ по строительству. Госстройиздат, 1962.

25. ГОСТ 12 852-67. Бетон яченстый. Методы испытаний.

26. ГОСТ 11118-65. Панели из автоклавного ячеистого бетона для наружных стен жилых и общественных зданий. Технические требования.

27. ГОСТ 11 690-66. Панелн из автоклавных ячеистых бетонов

для наружных стен производственных зданий.

-28. ГОСТ 7741-66. Плиты ребристые армированные из ячеи-

стого бетона для покрытий производственных зданий.

29. ГОСТ 8829-66. Изделия сборные железобетонные. Методы испытания и оценки прочности, жесткости и трещиностойкости.

30. Григорьев Е. Г., Сатин М. С., Дерябин А. М. Жн-

лые дома из газобетона. Стройиздат, 1962.

31. Дворядкин А. Т. Особенности производства и применения яченстых бетонов в Швеции. «Строительные материалы», 1968,

32 Иванов И. А. Комплексное использование зол ТЭЦ для получения аглопорита и газобетона. Труды АСиА СССР. Зап.-Сиб.

филиал, вып. 3, Новосибирск, 1960.

33. Клодченко В. П. и др. Исследование некоторых свойств высокопрочного газошлакосиликата н газобетона. Материалы 2-й научно-технической конференцин по яченстым бетонам. Пенза, 1965.

34. Кобринский Г. С. Анкерные узлы соединений конструкций нз ячеистых бетонов. «Бетон и железобетон», 1968, № 6.

35. Коренев Ю. В. Исследование влияния повышеннюй влажности на прочность и деформативность изделни из газосиликата. Тезисы докладов конференции КПИ. Калинин, 1966.

36. Кржеминский С. А., Крыжановский Б. Б. Ячеистый силикатный бетон. «Строительные материалы», 1961, № 1.

37. Кривицкий М. Я. Исследование физических процессов в яченстых бетонах при их автоклавной обработке. Труды координационного совещания «Методы исследовання деформаций и кинетики нарастания прочности различных бетонов в процессе тепловой обработки», Стройиздат, 1967.

38. Кривицкий М. Я. Заводское изготовление изделни из

газобетона. Госстройиздат, 1963.

39. Кудряшев И. Т., Куприянов В. П. Яченстые бетоны.

Госстройиздат, 1959.

40. Куннос Г. Я., Линдеиберг Б. Я. Улучшение качества газобетона. В кн.: «Исследования по бетону и железобетону» ИСИА АН Латв. ССР. Рига, 1961.

41. Левин Н. И. Механические свойства блоков из ячеистых

бетонов. Госстройиздат, 1960.

42. Левин Н. И. Прочность и деформации автоклавных ячеистых бетонов при длительном сжатии. В ки.: «Ползучесть и усадка бетона», НИИЖБ Госстроя СССР, 1969.

43. Левин Н. И. Камни из яченстых бетонов в малоэтажном

стронтельстве. «Строительные материалы», 1967, № 7.

44. Левин Н. И. Камни из ячеистых бетонов для малоэтаж-

ного строительства. «Строительные материалы», 1968, № 7. 45. Левин С. Н., Амханицкий Г. Я., Жодзишс-

кий И. Л. Производство ячеистых бетонов в СССР (обзор). Тех ническая информация ЦНИИЭТСтрома МПСМ СССР, 1969.

46. Ломунов К. Ф. Новое о физических процессах при автоклавизации ячеистых бетонов. «Строительство и архитектура Ленинграда», 1965. № 8.

47. Макаричев В. В. Производство и применение яченстых

бетонов в Швеции. «Стронтельные материалы», 1957, № 12.

48. Макаричев В. В. Международный конгресс по легким

бетонов в Швеции. «Строительные материалы», 1957, № 12.

49. Макаричев В. В., Левин Н. И. Расчет коиструкций из

ячеистых бетонов. Госстройиздат, 1961.

50. Макаричев В. В., Рекитар Я. А., Эвинг П. В. Производство и применение мелких автоклавных стеновых блоков. «Строительные материалы», 1967, № 7.

51. Макаричев В. В., Трамбовецкий В. П. К вопросу о прочности яченстого бетона. В кн.: «Ячеистый бетон», вып. 1,

1968.

- 52. Марголин А. Г., Раков М. В. Крупнопанельные стеновые ограждающие конструкции промышленных эданий. Стройиздат, 1969.
- 53. Миронов С. А. Некоторые обобщения по теории и техпологии ускорения твердения бетона. Рилем, Стройнадат, 1968,
- 54 Миронов С. А., Кривицкий М. Я., Малинина Л. А., Малипский Е. Н., Счастный А. Н. Бетоны автоклавного твердения. Стройнздат, 1968.

55. MPTV 7-20-69 «Камин стеновые из ячеистых бетонов».

Стройнздат, 1970.

- 56. Нерепст П. Газобетон как материал для наружных стен. Доклад на 11 Международном конгрессе во бетону. «Бюллетень строительной техники», 1959, № 3.
- 57. Новиков Б. А. Производство и применение крупноразмерных армированных дсталей из газозолосиликата. НИИОМТП. Госстройиздат, 1962.
- 58. Новиков Б. А., Левин Н. И., Маслениикова Г. П. Производство газозолосиликата на Ступинском заводе ячеистых бетонов. Труды НИИЖБ, вып. 32, Госстройиздат, 1963.

59. Оямаа Э. Г. Строительные детали из сланцезольных ав-

токлавных бетонов. Стройиздат, 1969.

- 60. Оямаа Э. Г., Кивисельг Ф. П. Опыт производства и применения сланцезольного газобетона. Материалы Второй научпо-технической конференции по вопросам химии и технологии ячеистых бетонов в г. Пензе. Саратов, 1965.
- 61. Пинскер В. А. Некоторые вопросы физики ячеистого бетона. В кн.: «Жилые дома из ячеистого бетона». Госстройиздат, 1963.
- 62. Пинскер В. А. Расчет модуля упругости яченстого бегона. В ки.: «Просктирование конструкций из яченстых бетонов». ЛДНТП, 1966.
- 63. Прусис А. Р., Аверченко В. Е. Внедрение виброрезательной технологии газобетонных изделий. «Строительные мате-
- рналы», 1970, № 7. 64. Пуринс Э. Модуль упругости ячеистого бетона. В кн.: «Яченстые бетоны за рубежом». Госстрой СССР, 1961.
 - 65. Раинамяги Л. А. О деформативности силикатного бе-

тона при длительном загружении. Сб. трудов НИПИСиликатобетона № 1. Таллин, 1967.

66. Ребиндер П. А., Ямпольский Б. Я. Исследование структурно-механических свойств дисперсных систем методом конического пластометра. «Коллоидный журнал», т. 10, вып. 6, 1948.

67. Рекитар Я. А., Вигранская Н. О. и др. Резервы повышения экономической эффективности производства и применения в строительстве конструкций из легких бетонов. VI конференция по бетону и железобетону. Стройиздат, 1966.

68. Розенфельд Л. М. Использование испрокаленной алюминиевой пудры в производстве газобетона. «Бетон и железобетон», 1960, № 12.

69. Розенфельд Л. М., Нейман А. Г. Автоклавный бесцементный газошлакобетон. Стройиздат, 1968.

70. Руднаи Д. «Легкий бетон». Стройнздат, 1964.

- 71. Селл Р. К вопросу о длительной прочности автоклавного газобетона. В кн.: «Ячеистые бетоны за рубежом». Госстрой СССР,
- 72. Силаенков Е. С., Тихомиров Г. В. Влияние состава цемента на деформации ячеистых бетонов в эксплуатационных условиях. В сб.: «Повышение долговечности нанелей из ячеистых бетонов». Стройнздат, 1965.

73. Скатынский В. И., Крумелис Ю. В. К выбору теории ползучести для описания длительного деформирования ячеис-

тых силикатных бетонов. НТО стройиндустрии. Киев, 1969.

74. Саталкин А. В., Комохов П Г. Высокопрочные автоклавные материалы на основе известково-кремнеземистых вяжущих. Стройиздат, 1966.

75. Теслер П. А. и Кобринский Г. С. Клееные ячеисто бетонные панели для жилых зданий и узлы их соединения. ЦБТИ ЦНИИОМТП Госстроя СССР. Стройиздат, 1966.

76. Тетерс Г. А. Прочиость и жесткость сжато-изогнутых ар-

мированных газобетонных эл ментов. ТПИ. Таллин, 1960.

77. Указания по проектированию конструкций из ячеистых остонов (СН 287-65). Стройиздат, 1965.

78. Шейкин А. Е. Строительные материалы. Стройиздат, 1968. 79. Энгволл А. Огнестойкость изделий из сипорекса. В сб.: «Ячеистые бетоны за рубежом». Госстрой СССР, 1961.

80. Beres L. Shrinkage and creep of cellular concrete, «Concre-

te Building and Concrete Products», Sept., 1968.

81. Bessey G. and Dilnot S. The relation between strength and free water content of aerated concretes, «Mag. of Concrete Research», No 3, 1949, London.

82. Valore R. Cellular concretes, «Journal of the American Con-

crete Institute», v. 25, № 9, 1954.

83. Gázszilikát termékek és épületszerkezetek «Dokumentacio» № 5185, Budapest, 1965.

84. Hamák L., Kratochvila A. Pórovitý betón, Bratislava. 1965.

85. Graf O. Gasbeton-Schaumbeton-Leichkalkbeton, Stutgart, 1949.

86. Graf O., Schäffler H. Versuche zur Prüfung der Grösse des Schwindens und des Quellens von Gas und Schaumbeton, «Deutcher Ausschuss für Stahlbeton», № 121, 1956.

87. Kruml F. Schwinden und Kriechen von Leichtbetonen, «Baustoffindustrie». Berlin, DDR, № 11, 1964.

88. Lättbetonghandboken, Siporex, Itong, Stockholm, 1968. 89. Lewicki B. Betony lekkie, Budownictwo betonowe, T. IV, Warszawa, 1967.

90. Purins E. Elastizitätsmodul, Zug-und Druckfestigkeit des Gasbetons in Abhängigkeit vom Feuchtegehalt des Materials. Chalmers tekniska Högskola.

91. Reinsdorf, Leichtbeton, Band 11, Berlin, 1963. 92. Short A., Kinniburg W. Lightweight Concrete, London,

1962.

93. Schäffler H. Elastizität und Prismen lruckfestigkeit von Leichbeton, im besonderen von Gas und Schaumbeton, «Betonsteinzeitung», Wiesb, 20, 1954.

ОГЛАВЛЕНИЕ

	Crp.
Предпеловие	3
Введение .	4
Глава І. Основы технологии производства издений из яче-истых бетонов	7
1. Образование пор в газобетопных смесях и их устопчивость	7
бегона на основе различных вяжущих . 3 Изготовление изделий из яченстых бетоноп	12 23
Материалы и требования к ним . Приготовление газобетонной смеси и формование	23
изделий Автоклавиая обработка изделий	28 34
4. Действующие предприятия и проекты тичовых заво- цов яченетого бетона	39
Глава 11. Физико-механические свойства яченстых бетонов	
1. Общие сведения	47
2. Физические своиства яченстых бетонов	48
3. Механические свойства яченстых бетонов	67
Прочность Сетона	67
нагрузки Прочность и деформации бетона при длительном	
действии сжимающей нагрузки	94
Глапа 111. Конструкции из яченстых бетонов	101
 Конструкции из яченстых бетонов, применяемые в СССР Конструкции из яченстых бетонов, применяемые за рубежом Эффективность и перспективы применения яченстых 	101
бетонов ,	124 131

Проект - ОТКРЫТЫЙ ДОСТУП

Над оцифровкой данной книги работали: Ружинский С.И. <u>ryginski@aport.ru</u> Ружинский Ю.И. Раенко А.С.

август 2005, г. Харьков, Украина

г.Харьков, ул. Чкалова 1 МП «Городок»

Популяризация применения химических добавок и оригинальных технологий в строительной индустрии.

ryginski@aport.ru
+38(057) 315-32-63

Здесь может быть Ваша реклама!

Закажи книгу по бетоноведению или строительству на оцифровку и размести в ней свою рекламу.

Дополнительная информация: ryginski@aport.ru